

การออกแบบชนของพินกรรมแท้ที่ที่สองล่างและความสัมพันธ์กับองค์ประกอบของชากรรไกรล่าง



นาย วุฒิพงษ์ เหล่าอมต

ศูนย์วิทยทรัพยากร
จุฬาลงกรณ์มหาวิทยาลัย

วิทยานิพนธ์นี้เป็นส่วนหนึ่งของการศึกษาตามหลักสูตรปริญญาวิทยาศาสตรมหาบัณฑิต

สาขาวิชาทันตกรรมจัดฟัน ภาควิชาทันตกรรมจัดฟัน

คณะทันตแพทยศาสตร์ จุฬาลงกรณ์มหาวิทยาลัย

ปีการศึกษา 2552

ลิขสิทธิ์ของจุฬาลงกรณ์มหาวิทยาลัย

IMPACTION OF LOWER PERMANENT SECOND MOLAR
AND ITS RELATIONSHIP TO THE MANDIBULAR COMPONENTS



MR. WUTHIPONG LAOAMATA

ศูนย์วิทยทรัพยากร
จุฬาลงกรณ์มหาวิทยาลัย
A Thesis Submitted in Partial Fulfillment of the Requirements
for the Degree of Master of Science Program in Orthodontics

Department of Orthodontics

Faculty of Dentistry

Chulalongkorn University

Academic Year 2009

Copyright of Chulalongkorn University

521785

หัวข้อวิทยานิพนธ์

การออกแบบชนของพินกรรมแท้ที่ที่สองล่างและ
ความสัมพันธ์กับองค์ประกอบของซากกรรไกรล่าง

โดย

นาย วุฒิพงษ์ เหล่าอมต


สาขาวิชา

ทันตกรรมจัดฟัน

อาจารย์ที่ปรึกษาวิทยานิพนธ์หลัก

รองศาสตราจารย์ ทันตแพทย์หญิง พรทิพย์ ชิวชรัตน์

คณะทันตแพทยศาสตร์ จุฬาลงกรณ์มหาวิทยาลัย อนุมัติให้บัณฑิตวิทยาลัย
เป็นส่วนหนึ่งของการศึกษาตามหลักสูตรปริญญาโทบัณฑิต


..... คณบดีคณะทันตแพทยศาสตร์
(รองศาสตราจารย์ ทันตแพทย์หญิง วชิราภรณ์ ทัศจันทร์)

คณะกรรมการสอบวิทยานิพนธ์


..... ประธานกรรมการ
(รองศาสตราจารย์ ทันตแพทย์ วชิระ เพชรคุปต์)


..... อาจารย์ที่ปรึกษาวิทยานิพนธ์หลัก
(รองศาสตราจารย์ ทันตแพทย์หญิง พรทิพย์ ชิวชรัตน์)


..... กรรมการภายนอกมหาวิทยาลัย
(รองศาสตราจารย์ ทันตแพทย์หญิง ปิยารัตน์ อภิวัฒน์กุล)

วุฒิพงษ์ เหล่าอมต : การศึกษาคู่แบบขนของฟันกรามแท้ซี่ที่สองล่างและความสัมพันธ์กับองค์ประกอบของขากรรไกรล่าง. (IMPACTION OF LOWER PERMANENT SECOND MOLAR AND ITS RELATIONSHIP TO THE MANDIBULAR COMPONENTS) อ. ที่ปริกษาวิทยานิพนธ์หลัก : รศ. ทพญ. พรทิพย์ ชิวชรัตน์, 107 หน้า.

การศึกษานี้มีวัตถุประสงค์เพื่อหาความสัมพันธ์ขององค์ประกอบของขากรรไกรล่างกับการมีฟันกรามแท้ซี่ที่สองล่างคู่แบบขน และเพื่อหาความชุกของฟันกรามแท้ซี่ที่สองล่างที่คู่แบบขนในกลุ่มผู้ป่วยทันตกรรมจัดฟัน สุ่มตัวอย่างแบบเฉพาะเจาะจงตามเกณฑ์จากกลุ่มผู้ป่วยภาควิชาทันตกรรมจัดฟัน คณะทันตแพทยศาสตร์ จุฬาลงกรณ์มหาวิทยาลัย จำนวน 2500 คน นับจำนวนผู้ป่วยที่มีฟันกรามแท้ซี่ที่สองล่างคู่แบบขนเพื่อคำนวณหาความชุกพบว่าความชุกของผู้ป่วยที่มีฟันกรามแท้ซี่ที่สองล่างคู่แบบขนเป็นร้อยละ 1.92 และวัดค่าองค์ประกอบของขากรรไกรล่าง 11 ค่า ได้แก่ ความยาวคอรีปัส ความยาวขากรรไกรล่าง ความสูงขากรรไกรล่างส่วนท้ายฟันกราม ความยาวขากรรไกรล่างส่วนลำตัว มุมแมนดิบิวลาร์อาร์ค มุมโกเนียล มุมโกเนียลส่วนบน มุมโกเนียลส่วนล่าง ความยาวส่วนโค้งแนวฟันล่าง เคลื่อนคลาด ความกว้างส่วนหลังของส่วนโค้งแนวฟันล่าง และขนาดโค้งสปี โดยวัดค่าจากภาพรังสีและแบบจำลองฟันก่อนการรักษาเพื่อวิเคราะห์ความสัมพันธ์ระหว่างองค์ประกอบของขากรรไกรล่างแต่ละองค์ประกอบกับการคู่แบบขนของฟันกรามแท้ซี่ที่สองล่างด้วยการวิเคราะห์ความถดถอยโลจิสติคอย่างง่ายแบบสองกลุ่ม

องค์ประกอบของขากรรไกรล่างที่มีความสัมพันธ์ต่อการมีฟันกรามแท้ซี่ที่สองล่างคู่แบบขนอย่างมีนัยสำคัญทางสถิติที่ระดับนัยสำคัญ 0.05 ได้แก่ ความยาวของขากรรไกรล่างส่วนลำตัว ความยาวส่วนโค้งแนวฟันล่างเคลื่อนคลาด ความกว้างส่วนหลังของส่วนโค้งแนวฟันล่าง และขนาดโค้งสปี

ภาควิชา.....ทันตกรรมจัดฟัน.....ลายมือชื่อ.....วุฒิพงษ์ เหล่าอมต.....
สาขาวิชา..... ทันตกรรมจัดฟัน..... ลายมือชื่อ อ.ที่ปริกษาวิทยานิพนธ์หลัก.....
ปีการศึกษา.....2552.....

5176132232 : MAJOR ORTHODONTICS

KEYWORDS : IMPACTION / LOWER PERMANENT SECOND MOLAR / MANDIBULAR COMPONENTS / PREVALENCE / RELATIONSHIP

WUTHIPONG LAOAMATA : IMPACTION OF LOWER PERMANENT SECOND MOLAR AND ITS RELATIONSHIP TO THE MANDIBULAR COMPONENTS.

THESIS ADVISOR : ASSOC. PROF. PORNTIP CHIEWCHARAT, 107 pp.

The purpose of this study was to investigate the relationship between the mandibular components and the impaction of lower permanent second molar and to investigate the prevalence of the impaction of lower permanent second molar in the orthodontic patients. Samples were selected by purposive sampling from 2500 patients in the Department of Orthodontics, Faculty of Dentistry, Chulalongkorn University. The patients with the impaction of lower permanent second molar were counted to calculate the prevalence. The prevalence of the impaction of lower permanent second molar in this study was 1.92%. The 11 mandibular components which are corpus length, effective length of mandible, ramus height, mandibular body length, mandibular arc, gonial angle, upper gonial angle, lower gonial angle, lower arch length discrepancy, posterior arch width and curve of Spee were measured from the pretreatment radiographs and dental casts. The binary simple logistic regression analysis was performed to determine the relationship between each of the mandibular components and the impaction of lower permanent second molar.

The mandibular components which had a significant relationship to the impaction of lower permanent second molar at 95% confidence intervals were mandibular body length, lower arch length discrepancy, posterior arch width and curve of Spee.

Department : Orthodontics
Field of Study : Orthodontics
Academic Year : 2009

Student's Signature *Wuthipong Laoamata*
Advisor's Signature *Porntip Chiewcharat*

กิตติกรรมประกาศ

ข้าพเจ้าขอขอบพระคุณรองศาสตราจารย์ ทันตแพทย์หญิง พรทิพย์ ชิวชรัตน์ และผู้ช่วยศาสตราจารย์ ทันตแพทย์หญิง นิรมล ชำนาญนิริอรรถ สำหรับความกรุณาสับสนุนเป็นอย่างดี และให้คำปรึกษาทางวิชาการอันเป็นประโยชน์ ตลอดจนกำลังใจตลอดการทำวิจัยครั้งนี้

ขอขอบพระคุณ อาจารย์ไพพรรณ พิทยานนท์ สำหรับคำปรึกษาทางด้านสถิติ ขอขอบพระคุณกรรมการทุกท่าน รองศาสตราจารย์ ทันตแพทย์ วัชระ เพชรคุปต์ รองศาสตราจารย์ ทันตแพทย์หญิง ปิยารัตน์ อภิวัดมนกุล และรองศาสตราจารย์ ทันตแพทย์ นิวัติ อนุวงศ์นุเคราะห์ ที่กรุณาให้คำแนะนำและความคิดเห็นในการปรับปรุงวิทยานิพนธ์ให้มีความสมบูรณ์มากยิ่งขึ้น

ขอขอบพระคุณคณาจารย์ภาควิชาทันตกรรมจัดฟันทุกท่านที่ให้ความกรุณาข้าพเจ้ามาโดยตลอดตั้งแต่แรกเริ่ม ขอขอบคุณนิสิตปริญญาโท วุฒิปัตร์ที่ให้ความช่วยเหลือเป็นอย่างดีในขั้นตอนการเก็บข้อมูล ขอขอบพระคุณ คุณนฤมล พิมลแสงสุริยา คุณปิยกมล ศิริ และคุณวัลย์วดี ปานนอก สำหรับความอนุเคราะห์ในการสืบค้นข้อมูลผู้ป่วยที่จำเป็นสำหรับงานวิจัยครั้งนี้

ท้ายที่สุดนี้ ขอขอบพระคุณบิดา มารดา และครอบครัวของข้าพเจ้า ผู้ให้การสนับสนุนการศึกษาของข้าพเจ้าทั้งชีวิต และให้ความอบอุ่น ให้กำลังใจ และความเข้าใจแก่ข้าพเจ้าไม่เคยเปลี่ยนแปลง และเหนือสิ่งอื่นใด ข้าพเจ้าขอขอบพระคุณพระเจ้า สำหรับโอกาสในการเริ่มต้นกับพระองค์ คอยนำทางข้าพเจ้าตั้งแต่แรกเริ่ม และตอบคำอธิษฐานของข้าพเจ้าด้วยความรัก สันติสุข และพระพรอันดีเสมอมา

ความดีใด ๆ ที่พึงมีจากวิทยานิพนธ์ฉบับนี้ ข้าพเจ้าขออุทิศให้แก่ผู้มีพระคุณทุก ๆ ท่านที่กล่าวมาด้วยความจริงใจ

สารบัญ

หน้า

| | |
|--|-----------|
| บทคัดย่อภาษาไทย | ง |
| บทคัดย่อภาษาอังกฤษ..... | จ |
| กิตติกรรมประกาศ..... | ฉ |
| สารบัญ..... | ช |
| สารบัญตาราง..... | ฅ |
| สารบัญภาพ..... | ฉ |
| บทที่ 1 บทนำ | 1 |
| ความเป็นมาและความสำคัญของปัญหา..... | 1 |
| วัตถุประสงค์ของการวิจัย | 3 |
| ขอบเขตของการวิจัย | 3 |
| ข้อตกลงเบื้องต้น | 3 |
| ข้อจำกัดของการวิจัย | 4 |
| คำจำกัดความที่ใช้ในการวิจัย | 4 |
| จุดอ้างอิงในส่วนโครงสร้างกระดูกที่ใช้ในงานวิจัย | 6 |
| ประโยชน์ที่คาดว่าจะได้รับ | 8 |
| วิธีดำเนินการวิจัย | 8 |
| ลำดับขั้นตอนในการเสนอผลการวิจัย..... | 9 |
| บทที่ 2 เอกสารและงานวิจัยที่เกี่ยวข้อง | 10 |
| การเจริญและการขึ้นสู่ช่องปากของฟันกรามแท้ซี่ที่สองล่าง | 10 |
| การคุดแบบขนของฟันกรามแท้ซี่ที่สองล่าง | 12 |
| การเจริญของขากรรไกรล่างโดยองค์รวม | 14 |
| การเจริญของขากรรไกรล่างแต่ละส่วน | 15 |
| ช่วงเวลาของการเจริญเติบโตของขากรรไกรล่างในด้านความกว้าง ความยาว และความสูง . | 18 |
| การหมุนของขากรรไกรล่างระหว่างการเจริญเติบโต | 19 |
| ความสัมพันธ์ระหว่างการหมุนของขากรรไกรและการขึ้นของฟัน..... | 21 |
| บทที่ 3 วิธีดำเนินการวิจัย..... | 22 |
| ประชากร | 22 |
| กลุ่มตัวอย่าง | 22 |
| ผู้ป่วยที่ใช้ในการศึกษา..... | 22 |

สารบัญ (ต่อ)

| | หน้า |
|---|-----------|
| ตัวแปรในการวิจัย..... | 24 |
| 1. ตัวแปรอิสระ..... | 24 |
| 1.1 องค์ประกอบของซากกระดูกกลางที่วัดค่าจากภาพรังสี | 24 |
| 1.2 องค์ประกอบของซากกระดูกกลางที่วัดค่าจากแบบจำลองฟัน..... | 28 |
| 2. ตัวแปรตาม..... | 29 |
| 3. ตัวแปรที่ต้องควบคุม | 30 |
| เครื่องมือที่ใช้ในการวิจัย..... | 31 |
| การเก็บรวบรวมข้อมูล..... | 31 |
| การวิเคราะห์ข้อมูล | 33 |
| บทที่ 4 ผลการวิเคราะห์ข้อมูล | 34 |
| การวิเคราะห์ข้อมูล | 34 |
| ผลการทดสอบความน่าเชื่อถือภายในตัวผู้วิจัย | 35 |
| ผลการวิเคราะห์..... | 35 |
| บทที่ 5 สรุปผลการวิจัย อภิปรายผล และข้อเสนอแนะ | 41 |
| สรุปผลการวิจัย | 41 |
| อภิปรายผลการวิจัย..... | 41 |
| ข้อเสนอแนะ..... | 44 |
| รายการอ้างอิง..... | 46 |
| ภาคผนวก | 50 |
| ประวัติผู้เขียนวิทยานิพนธ์..... | 107 |

สารบัญตาราง

หน้า

| | |
|---|----|
| ตารางที่ 1 แสดงจำนวนของแหล่งข้อมูลจากตัวอย่างที่ใช้ในการศึกษานี้ แยกตามประเภท ของแหล่งข้อมูล..... | 34 |
| ตารางที่ 2 แสดงจำนวนและร้อยละของตัวอย่างที่มีพินแกรมแท้ที่ที่สองล่างคุดแบบชน แยกตามเพศและด้านที่มีการคุดแบบชน | 36 |
| ตารางที่ 3 แสดงค่าเฉลี่ย ส่วนเบี่ยงเบนมาตรฐาน ของมุมการคุดแบบชนระหว่างพินแกรมแท้ ที่ที่สองล่างและพินแกรมแท้ที่หนึ่งล่างแยกตามด้าน..... | 37 |
| ตารางที่ 4 แสดงจำนวนเป็นร้อยละของตัวแปรอิสระทั้งหมดในการศึกษานี้ แยกตามลักษณะของ กลุ่มตัวอย่าง และอัตราของความสัมพันธ์ระหว่างตัวแปรอิสระแต่ละตัว กับการมีพินแกรมแท้ที่ที่สองล่างคุดแบบชน..... | 40 |
| ตารางที่ 5 แสดงผลการทดสอบความน่าเชื่อถือภายในตัวผู้วิจัย..... | 51 |
| ตารางที่ 6 แสดงการวิเคราะห์ความถดถอยโลจิสติกอย่างง่ายแบบสองกลุ่มของค่าความยาว คอร์ปัส ที่ระดับนัยสำคัญ 0.05..... | 54 |
| ตารางที่ 7 แสดงการวิเคราะห์ความถดถอยโลจิสติกอย่างง่ายแบบสองกลุ่มของค่าความยาว ขากรรไกรล่าง ที่ระดับนัยสำคัญ 0.05..... | 57 |
| ตารางที่ 8 แสดงการวิเคราะห์ความถดถอยโลจิสติกอย่างง่ายแบบสองกลุ่มของค่าความสูง ขากรรไกรล่างส่วนท้ายพินแกรม ที่ระดับนัยสำคัญ 0.05..... | 60 |
| ตารางที่ 9 แสดงการวิเคราะห์ความถดถอยโลจิสติกอย่างง่ายแบบสองกลุ่มของค่าความยาว ขากรรไกรล่างส่วนลำตัว ที่ระดับนัยสำคัญ 0.05..... | 64 |
| ตารางที่ 10 แสดงการวิเคราะห์ความถดถอยโลจิสติกอย่างง่ายแบบสองกลุ่มของค่ามุม แมนดิบิวลาร์อาร์ค ที่ระดับนัยสำคัญ 0.05 | 68 |
| ตารางที่ 11 แสดงการวิเคราะห์ความถดถอยโลจิสติกอย่างง่ายแบบสองกลุ่มของค่ามุมโกเนียด ที่ระดับนัยสำคัญ 0.05..... | 71 |
| ตารางที่ 12 แสดงการวิเคราะห์ความถดถอยโลจิสติกอย่างง่ายแบบสองกลุ่มของค่ามุมโกเนียด ส่วนบน ที่ระดับนัยสำคัญ 0.05 | 75 |
| ตารางที่ 13 แสดงการวิเคราะห์ความถดถอยโลจิสติกอย่างง่ายแบบสองกลุ่มของค่ามุมโกเนียด ส่วนล่าง ที่ระดับนัยสำคัญ 0.05 | 78 |
| ตารางที่ 14 แสดงการวิเคราะห์ความถดถอยโลจิสติกอย่างง่ายแบบสองกลุ่มของค่าความยาว ส่วนโค้งแนวฟันล่างเคลื่อนคลาด ที่ระดับนัยสำคัญ 0.05 | 82 |

ตารางที่ 15 แสดงการวิเคราะห์ความถดถอยโลจิสติคอย่างง่ายแบบสองกลุ่มของค่าความกว้าง
 ส่วนหลังของส่วนโค้งแนวพื้นล่าง ที่ระดับนัยสำคัญ 0.05..... 86

ตารางที่ 16 แสดงการวิเคราะห์ความถดถอยโลจิสติคอย่างง่ายแบบสองกลุ่มของค่าขนาดโค้งสปี
 ที่ระดับนัยสำคัญ 0.05..... 89

ตารางที่ 17 แสดงข้อมูลที่ได้จากภาพรังสีก่อนการรักษาของตัวอย่างจำนวน 95 คนที่ใช้ใน
 การวิเคราะห์ความถดถอยโลจิสติคอย่างง่ายแบบสองกลุ่ม..... 93

ตารางที่ 18 แสดงข้อมูลที่ได้จากแบบจำลองพินก่อนการรักษาของตัวอย่างจำนวน 95 คนที่ใช้ใน
 การวิเคราะห์ความถดถอยโลจิสติคอย่างง่ายแบบสองกลุ่ม..... 100



ศูนย์วิทยทรัพยากร
 จุฬาลงกรณ์มหาวิทยาลัย

สารบัญภาพ

| | หน้า |
|--|------|
| รูปที่ 1 จุดอ้างอิงในส่วนโครงสร้างกระดูกที่ใช้ในงานวิจัย | 7 |
| รูปที่ 2 ความยาวคอรีบัส..... | 24 |
| รูปที่ 3 ความยาวขากรรไกรล่าง..... | 25 |
| รูปที่ 4 ความสูงขากรรไกรล่างส่วนท้ายฟันกราม..... | 25 |
| รูปที่ 5 ความยาวขากรรไกรล่างส่วนลำตัว..... | 26 |
| รูปที่ 6 มุมแมนดิบิวลาร์อาร์ค | 26 |
| รูปที่ 7 มุมโกเนียล | 27 |
| รูปที่ 8 มุมโกเนียลส่วนบน..... | 27 |
| รูปที่ 9 มุมโกเนียลส่วนล่าง..... | 28 |
| รูปที่ 10 ความยาวส่วนโค้งแนวฟันล่างเคลื่อนคลาด | 29 |

ศูนย์วิทยทรัพยากร
จุฬาลงกรณ์มหาวิทยาลัย

บทที่ 1

บทนำ

ความเป็นมาและความสำคัญของปัญหา

ความผิดปกติเกี่ยวกับการขึ้นของฟัน (eruption disturbance) ที่อาจพบและสังเกตเห็นได้ด้วยตัวผู้ป่วยเองหรือบุคคลทั่วไป มักพบในฟันกรามแท้ซี่ที่สามบนหรือล่าง ฟันเขี้ยวแท้บนหรือฟันตัดซี่กลางแท้บน และฟันกรามน้อยซี่ที่สองล่าง(1) สำหรับความผิดปกติเกี่ยวกับการขึ้นของฟันกรามแท้ซี่ที่สองล่าง โดยทั่วไปจะตรวจพบและวินิจฉัยโดยทันตแพทย์ว่าเป็นฟันคุดแบบชน (tooth impaction)(2) ในระหว่างการรักษาทางทันตกรรมจัดฟัน หรือเป็นการตรวจพบโดยบังเอิญในผู้ป่วยที่ต้องการจัดฟันด้วยปัญหาหลักและอาการสำคัญทางทันตกรรมจัดฟัน (orthodontic chief complaint) อื่น ๆ นอกจากนี้ยังไม่ค่อยพบว่าสภาพคุดแบบชนของฟันกรามแท้ซี่ที่สองล่างเป็นสาเหตุหลักในการส่งต่อผู้ป่วยมารับการรักษา(3) อันแสดงถึงความไม่ตระหนักต่อความผิดปกติของตำแหน่งฟันที่อาจส่งผลกระทบต่อระบบการบดเคี้ยวและการรักษาความสะอาดฟันได้ ซึ่งทั้งนี้อาจเนื่องมาจากลักษณะการคุดแบบชนของฟันมักอยู่ในแนวการเรียงตัวเดิมของฟัน และเป็นฟันซี่เกือบท้ายสุดในขากรรไกรล่าง ทำให้สังเกตเห็นได้ยาก อีกทั้งยังไม่ทำให้เกิดความเจ็บปวดเฉียบพลัน จึงถูกละเลยจนแก้ไขได้ยาก และเป็นปัญหามากต่อการจัดเรียงฟันให้เข้าสู่แนวการปกติ

สาเหตุการเกิด (etiology) การคุดแบบชนของฟันกรามแท้ซี่ที่สองล่างอาจเกี่ยวข้องกับการรบกวนการเจริญของขากรรไกรล่างและพัฒนาการของฟัน โดยปกติเนื้อที่ว่างสำหรับการขึ้นของฟันกรามแท้ซี่ที่สองล่างได้จากการละลายตัวของกระดูกบริเวณขอบหน้าขากรรไกรล่างส่วนท้ายฟันกราม (ramus of the mandible) และการที่ฟันกรามแท้ซี่ที่หนึ่งล่างเคลื่อนไปทางด้านใกล้กลางเข้าสู่ช่องลีเวย์ (leeway space) ในช่วงเวลาที่เหมาะสม(2) ปัจจัยใด ๆ ที่รบกวนกระบวนการดังกล่าวไม่ให้ดำเนินไปอย่างปกติอาจชักนำให้เกิดการคุดแบบชนของฟันกรามแท้ซี่ที่สองล่างได้ การขาดเนื้อที่ว่างในส่วนโค้งแนวฟัน (arch length deficiency) เนื่องจากการเจริญของขากรรไกรล่างไม่เพียงพอ(4) โดยเฉพาะการซ้อนเกในบริเวณฟันหลัง (posterior crowding) ก็อาจมีอิทธิพลต่อการเกิดฟันกรามแท้ซี่ที่สองล่างคุดแบบชน(3-6) นอกจากนี้มีรายงานว่าพบฟันกรามแท้ซี่ที่สองล่างคุดแบบชนร่วมกับโครงสร้างขากรรไกรประเภท II (7) (skeletal Class II) มากกว่าโครงสร้างประเภท I และประเภท III เนื่องจากการเจริญเติบโตของ

ขากรรไกรล่างในแนวหน้า-หลังน้อยกว่าปกติทำให้ไม่มีเนื้อที่เพียงพอต่อการขึ้นอย่างปกติของฟันกรามแท้ซี่ที่สองล่าง

ข้อบ่งชี้ (indication) ในการให้การรักษาฟันกรามแท้ซี่ที่สองล่างคุดแบบชน ได้แก่ ความเจ็บปวด ความเสี่ยงต่อการละลายของรากฟันข้างเคียง การเกิดฟันผุ การเกิดโรคปริทันต์อักเสบ การเกิดฝีเหงือกอักเสบ (pericoronitis) การเกิดถุงน้ำของถุงหุ้มหน่อฟัน (follicular cyst) การสบฟันผิดปกติ รวมถึงความยุ่งยากซับซ้อนในการรักษาฟันคู่สบยื่นยาวอันเกิดจากการคุดแบบชน(8, 9)

อย่างไรก็ตามการคุดแบบชนนี้อาจเป็นภาวะที่เกิดขึ้นชั่วคราว โดยฟันกรามแท้ซี่ที่สองล่างอยู่ในภาวะคุดแบบชนชั่วคราวระยะเวลาหนึ่งจากนั้นฟันสามารถตั้งตรงขึ้นมาเอง หรือเป็นผลจากฟันกรามแท้ซี่ที่หนึ่งล่างมีการเคลื่อนตัวไปทางด้านใกล้กลางได้มากขึ้น(8) Magnusson และคณะ(10) ติดตามภาวะการคุดแบบชนของฟันกรามแท้ซี่ที่สองล่างจำนวน 106 ซี่ พบว่าร้อยละ 20 ไม่ได้รับการรักษาใด ๆ และในจำนวนฟันที่ไม่ได้รับการรักษาใด ๆ นี้ ร้อยละ 44 สามารถขึ้นสู่ระนาบการสบฟันที่ดีในช่องปากได้เอง สอดคล้องกับ Kavadia และคณะ(11) ที่เน้นถึงความสำคัญในการเฝ้าระวังสังเกตฟันกรามแท้ซี่ที่สองล่างที่คุดแบบชนอย่างใกล้ชิด และแนะนำให้รออย่างน้อย 12 เดือนก่อนตัดสินใจให้การรักษาใด ๆ เพื่อให้โอกาสฟันกรามแท้ซี่ที่สองล่างที่คุดแบบชนขึ้นสู่ช่องปากได้ด้วยตัวเอง Cho และคณะ(12) รายงานว่าในจำนวนนักเรียนเชื้อสายจีนที่มีฟันกรามแท้ซี่ที่สองล่างคุดทั้งหมด 42 ซี่ มีฟันกรามแท้ซี่ที่สองล่างจำนวน 2 ซี่ที่มีการขึ้นสู่ช่องปากได้ด้วยตัวเองภายในเวลา 2 ปี ภายหลังจากวินิจฉัยในตอนแรกว่าเป็นฟันคุดแบบชน ในขณะที่ฟันกรามแท้ซี่ที่สองล่างในเด็กบางรายมีมุมการคุดแบบชนกับฟันกรามแท้ซี่ที่หนึ่งล่างไม่มาก (น้อยกว่า 20 องศา) รวมทั้งไม่มีภาวะฟันซ้อนเก กลับไม่สามารถขึ้นสู่ช่องปากได้ด้วยตัวเอง ทำให้นักวิจัยฐานได้ว่าน่าจะมีปัจจัยอื่น ๆ นอกเหนือจากปริมาณการซ้อนเก และปริมาณองศาการชนเกี่ยวข้องสัมพันธ์กับภาวะฟันกรามแท้ซี่ที่สองล่างคุดแบบชนด้วย

แม้ว่าภาวะฟันกรามแท้ซี่ที่สองล่างขึ้นไม่ได้นี้ อาจมีสาเหตุส่วนหนึ่งจากตำแหน่งของหน่อฟัน หรือลักษณะของหน่อฟันที่ผิดปกติเอง แต่ปัจจัยเฉพาะที่บางประการเช่น ลักษณะฟันข้างเคียง รวมทั้งสัณฐานวิทยา (morphology) ของขากรรไกรล่าง ก็อาจมีความสัมพันธ์กับการเกิดภาวะดังกล่าวได้ การศึกษาถึงความสัมพันธ์ดังกล่าวนี้จึงน่าจะมีประโยชน์ทั้งในการเลือกเวลาที่เหมาะสมในการรักษา และการวางแผนรักษาทางทันตกรรมจัดฟัน อย่างไรก็ตามการศึกษาถึงปัจจัยที่เกี่ยวข้องกับฟันกรามแท้ซี่ที่สองล่างคุดแบบชนยังมีไม่มากนัก รวมทั้งยังไม่เคยมีการสำรวจหาความชุกของภาวะฟันกรามแท้ซี่ที่สองล่างคุดแบบชนในประชากรไทยมาก่อน

คณะผู้วิจัยจึงสนใจศึกษาถึงความสัมพันธ์ของแต่ละองค์ประกอบของขากรรไกรล่างที่มีต่อภาวะ ฟันกรามแท้ซี่ที่สองล่างคุดแบบชน และศึกษาหาความชุกของการมีฟันกรามแท้ซี่ที่สองล่างที่คุด แบบชนในกลุ่มผู้ป่วยที่มารับการรักษาทันตกรรมจัดฟันใน คณะทันตแพทยศาสตร์ จุฬาลงกรณ์มหาวิทยาลัย

วัตถุประสงค์ของการวิจัย

1. เพื่อศึกษาความสัมพันธ์ของแต่ละองค์ประกอบของขากรรไกรล่างที่มีต่อการมี ฟันกรามแท้ซี่ที่สองล่างคุดแบบชน
2. เพื่อศึกษาความชุกของการมีฟันกรามแท้ซี่ที่สองล่างที่คุดแบบชนในกลุ่ม ผู้ป่วยที่มารับการรักษาทันตกรรมจัดฟันใน คณะทันตแพทยศาสตร์ จุฬาลงกรณ์มหาวิทยาลัย

ขอบเขตของการวิจัย

1. ศึกษาในผู้ป่วยที่มารับการรักษาทันตกรรมจัดฟันในคณะทันต แพทยศาสตร์ จุฬาลงกรณ์มหาวิทยาลัย ตั้งแต่ปี พ.ศ. 2524 ถึง 2552 โดยศึกษาจากภาพรังสี แพโนรามมา (panoramic radiograph) และ ภาพรังสีวัดศีรษะด้านข้าง (lateral cephalometric radiograph) และแบบจำลองฟัน (dental cast) ก่อนเริ่มการรักษาทันตกรรมจัดฟัน
2. การศึกษานี้ไม่ได้ศึกษาหาสาเหตุของการเกิดฟันกรามแท้ซี่ที่สองล่างคุด แบบชน

ข้อตกลงเบื้องต้น

1. กลุ่มตัวอย่างในการศึกษาเป็นคนไทย กล่าวคือ เป็นคนที่มีเชื้อชาติไทยและ สัญชาติไทยตามบันทึกในแฟ้มประวัติผู้ป่วย
2. อายุของผู้ป่วยจัดฟันที่ใช้ในการวิจัยนับจาก วันเดือนปีเกิด ตามบันทึกในแฟ้ม ประวัติผู้ป่วย
3. ผู้ป่วยจัดฟัน หมายถึง ผู้ป่วยที่มีความผิดปกติของการสบฟัน การเรียงตัวของ ฟัน และมารับการรักษาทันตกรรมจัดฟันในคณะทันตแพทยศาสตร์ จุฬาลงกรณ์มหาวิทยาลัย

4. การวัดค่ามุม และระยะทางที่วัดจากส่วนต่าง ๆ ของขากรรไกรล่าง วัดเป็น องศา และมีลิเมตร ตามลำดับ และอ่านได้ค่าละเอียดถึง 0.5 องศา และ 0.5 มิลลิเมตร ตามลำดับ

ข้อจำกัดของการวิจัย

1. ตัวอย่างที่มีฟันกรามแท้ที่ที่สองล่างชุดแบบชนมีจำนวนน้อย
2. ทำการสุ่มตัวอย่างเฉพาะในผู้ป่วยที่มารับการรักษาทันตกรรมจัดฟันใน คณะทันตแพทยศาสตร์ จุฬาลงกรณ์มหาวิทยาลัยเท่านั้น จึงอาจไม่สามารถนำไปอ้างอิงถึง ประชากรทั้งประเทศได้
3. การกำหนดจุดต่าง ๆ บางจุดจากภาพรังสีวัดศีรษะด้านข้างไม่ชัดเจน ลักษณะ ทางกายวิภาคของด้านซ้ายและขวาอาจซ้อนทับกันไม่สนิท เช่น ขอบล่างของขากรรไกรล่าง ด้านซ้ายและขวา จึงต้องอาศัยการเฉลี่ยในการบันทึกรอยภาพรังสี ซึ่งอาจทำให้คลาดเคลื่อนไป จากความเป็นจริง

คำจำกัดความที่ใช้ในการวิจัย

1. การคุดแบบชน (impaction) ของฟันกรามแท้ที่ที่สองล่าง หมายถึง การหยุด ขึ้นของฟันโดยมีสาเหตุจากสิ่งกีดขวางทางกายภาพ หรือจากฟันอยู่ในตำแหน่งที่ผิดปกติ อาจเป็น ฟันที่ไม่สามารถโผล่ฟันเหงือก หรือโผล่ฟันเหงือกขึ้นมาบางส่วน โดยจากภาพรังสีมีการเอียงตัว ของฟันกรามแท้ที่ที่สองล่างในทิศทางใกล้กลางและชนกับตัวฟันกรามแท้ที่หนึ่งล่าง ทำให้ไม่ สามารถขึ้นต่อจนถึงระนาบสบฟันตามปกติเพื่อทำหน้าที่บดเคี้ยวอย่างมีประสิทธิภาพได้ (8) และ ฟันกรามแท้ที่ที่สองล่างต้องมีการสร้างรากฟันไม่น้อยกว่าสองในสามของความยาวรากฟัน และไม่ เหลือช่องลิเวียในจุดภาคเดียวกันให้ฟันกรามล่างที่หนึ่งเคลื่อนไปในทิศทางใกล้กลางได้อีก และ ในจุดภาคที่มีฟันกรามแท้ที่ที่สองล่างคุดแบบชนจะต้องมีฟันแท้ขึ้นครบทุกซี่ ยกเว้นฟันกรามแท้ที่ สามล่าง ส่วนในขากรรไกรบนมีฟันกรามแท้ที่ที่สองบนขึ้นสู่ช่องปากแล้ว โดยพิจารณาจาก ภาพถ่ายรังสีแพโนรามาที่ถ่ายก่อนได้รับการรักษาทางทันตกรรมจัดฟัน

2. องค์ประกอบของขากรรไกรล่าง (mandibular components) ในการศึกษานี้ หมายถึงปัจจัยต่าง ๆ ในขากรรไกรล่าง ได้แก่รูปร่าง และขนาดของขากรรไกรล่าง รวมทั้งสภาพการเรียงตัวของฟันล่าง ความกว้างของส่วนโค้งแนวฟัน ปัจจัยต่าง ๆ เหล่านี้วัดเป็นค่ามุมหรือระยะจากภาพรังสี และจากแบบจำลองฟัน (dental cast) ซึ่งจะกล่าวอย่างละเอียดในหัวข้อตัวแปรอิสระ

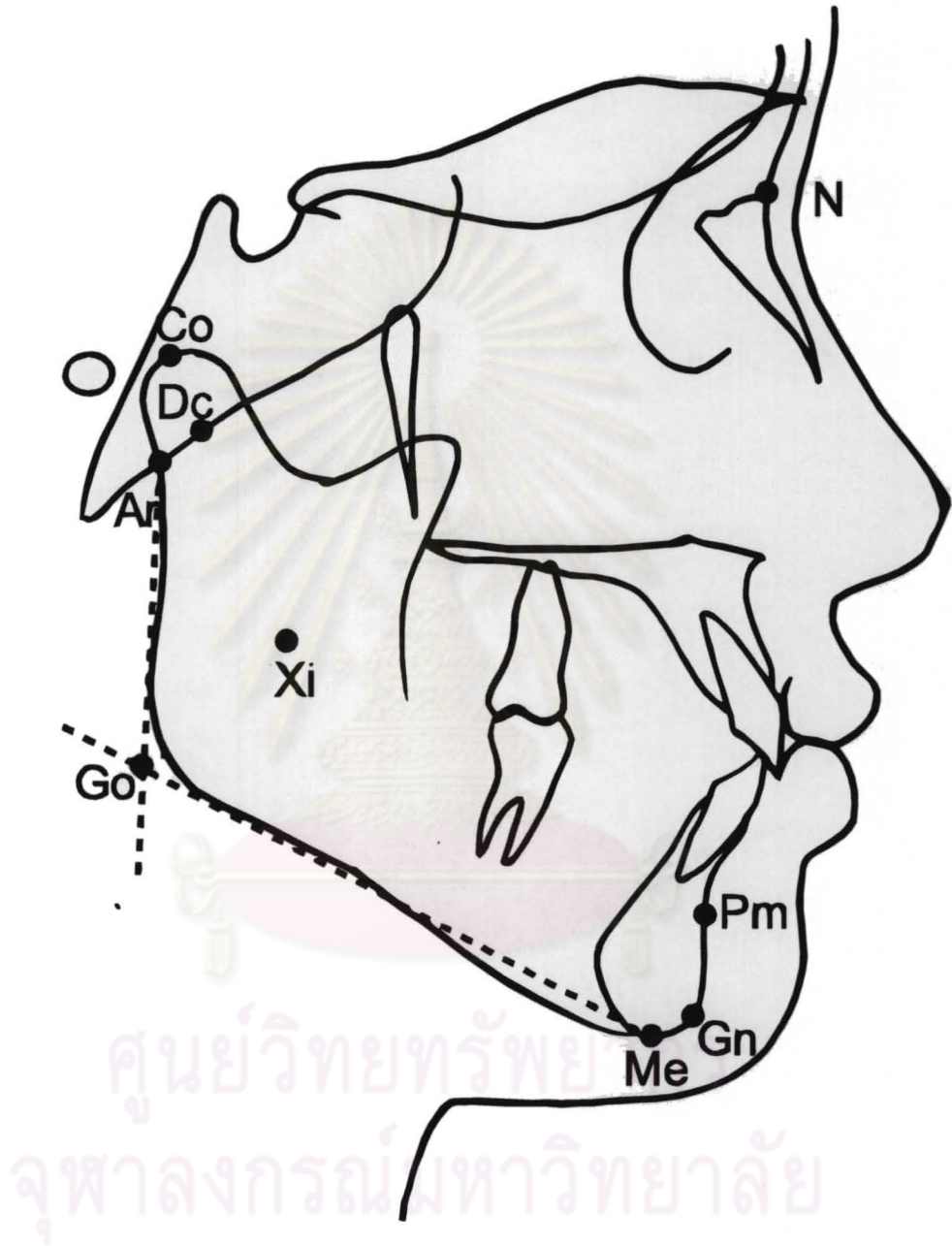
3. ภาพรังสีแพโนรามา (panoramic radiograph) หมายถึง ภาพรังสีนอกปากชนิดหนึ่งที่มีลักษณะเฉพาะตัว ไม่เหมือนการถ่ายภาพรังสีแบบอื่น ๆ คือ จุดกำเนิดรังสี และฟิล์มมีการเคลื่อนที่หมุนไปรอบศีรษะของผู้ป่วย ภาพรังสีที่ได้จะเป็นภาพของขากรรไกรบนและล่างติดต่อกันไปตลอดบนฟิล์มเดียวกัน โดยไม่มีอวัยวะอื่นมาบังทับ เสมือนการมองดูภาพขากรรไกรที่ขยายให้มาอยู่ในแนวตรง ขนาดของฟิล์มที่ใช้ยาว 1 ฟุต กว้างประมาณ 12.5-15 เซนติเมตร

4. ภาพรังสีวัดศีรษะด้านข้าง (lateral cephalometric radiograph) หมายถึง ภาพรังสีของกะโหลกศีรษะ ซึ่งถ่ายโดยหันด้านข้างของศีรษะเข้าหาแหล่งกำเนิดรังสีที่อยู่ห่างเป็นระยะ 5 ฟุต กำหนดตำแหน่งศีรษะโดยใช้ที่ยึดศีรษะให้ระนาบแนวนอนแฟรงก์ฟอร์ด (Frankfort horizontal plane) ขนานกับพื้น รังสีส่วนกลาง (central ray) ผ่านเข้ากะโหลกศีรษะด้านข้างตรงบริเวณรูหูทั้งสองข้าง ตั้งฉากกับระนาบแนวนอนแฟรงก์ฟอร์ดและระนาบฟิล์ม โดยกำหนดให้ระยะระหว่างวัตถุกับฟิล์ม (object- film distance) น้อยที่สุด เพื่อลดความคลาดเคลื่อนจากการขยายขนาดของภาพรังสี ในขณะที่ขากรรไกรทั้งสองอยู่ในตำแหน่งที่ฟันสบกันสนิท

ศูนย์วิทยุทรัพยากร
จุฬาลงกรณ์มหาวิทยาลัย

จุดอ้างอิงในส่วนโครงสร้างกระดูกที่ใช้ในงานวิจัย

| | |
|------------------------|---|
| N, Na, Nasion | จุดหน้าสุดในแนวระนาบแบ่งครึ่งซ้ายขวาของรอยต่อระหว่างกระดูกหน้าผากและกระดูกจมูก (frontonasal suture) |
| Ar, Articulare | จุดตัดระหว่างเค้ารูปด้านบนของส่วนโปรเซสส์อาร์ติคิวลาริส แมนดิบิวเล่ (processus articularis mandibulae) และส่วนออกส เทมโปราเล่ (os temporale) |
| Co, Condylion | จุดสูงสุดและหลังสุดของหัวคอนดายล์ |
| Go, Gonion | จุดบริเวณส่วนโค้งที่ต่ำสุดระหว่างขอบหลังและขอบล่างของขากรรไกรล่างหรือบริเวณมุมของขากรรไกรล่าง หาได้จากจุดตัดของเส้นแบ่งครึ่งมุม ระหว่างเส้นสัมผัสขอบหลังและขอบล่างของขากรรไกรล่าง |
| Me, Menton | จุดต่ำสุดของแนวประสาณคาง |
| Gn, Gnathion | จุดบริเวณส่วนโค้งที่ต่ำสุดระหว่างขอบหน้าและขอบล่างของขากรรไกรล่าง อยู่ระหว่างจุดหน้าสุดของแนวประสาณคาง (จุดโพโกนีออน, Pog) และจุดเมนตอน (Me) ของปลายคาง หาได้จากจุดตัดของเส้นแบ่งครึ่งมุม ระหว่างระนาบใบหน้าและระนาบขากรรไกรล่างกับขอบนอกของกระดูกคาง |
| Pm, Protuberance menti | จุดกึ่งกลางความโค้งบริเวณขอบหน้าของขากรรไกรล่าง เป็นจุดเปลี่ยนจากความเว้าของจุดลึกสุดของส่วนเว้าทางด้านหน้าของขากรรไกรล่าง (จุดบี, B) ไปสู่ความนูนของจุดหน้าสุดของแนวประสาณคาง (จุดโพโกนีออน, Pog) |
| Xi point | จุดกึ่งกลางพื้นที่ของขากรรไกรล่างส่วนท้ายพันแกรม |
| Dc | จุดกึ่งกลางหัวคอนดายล์ |



รูปที่ 1 จุดอ้างอิงในส่วนโครงสร้างกระดูกที่ใช้ในงานวิจัย

ประโยชน์ที่คาดว่าจะได้รับ

1. ทราบความสัมพันธ์ระหว่างแต่ละองค์ประกอบของขากรรไกรล่างกับการมีฟันกรามแท้ซี่ที่สองล่างคุดแบบชน
2. ทราบความชุกของการมีฟันกรามแท้ซี่ที่สองล่างคุดแบบชนในกลุ่มผู้ป่วยสบฟันผิดปกติที่มารับการรักษาทางทันตกรรมจัดฟันในคณะทันตแพทยศาสตร์ จุฬาลงกรณ์มหาวิทยาลัย
3. เป็นพื้นฐานและแนวทางในการศึกษาค้นคว้าวิจัยต่อไป

วิธีดำเนินการวิจัย

สืบค้นแฟ้มประวัติของผู้ป่วยที่มารับการรักษาทางทันตกรรมจัดฟัน คณะทันตแพทยศาสตร์ จุฬาลงกรณ์มหาวิทยาลัย ตั้งแต่ปี พ.ศ. 2524 ถึง 2552 แล้ว ใช้เทคนิคการสุ่มตัวอย่างแบบเฉพาะเจาะจง (purposive sampling) ตามเกณฑ์การคัดเลือก (inclusion criteria) ซึ่งได้แก่ ไม่เคยได้รับการรักษาทางทันตกรรมจัดฟันหรือศัลยกรรมจัดกระดูกขากรรไกร (orthognathic surgery) ไม่มีโรคทางระบบ โรคทางพันธุกรรม เช่น ปากแหว่งเพดานโหว่ และไม่เคยได้รับอุบัติเหตุอันก่อให้เกิดความผิดปกติในการเจริญของขากรรไกร เป็นผู้ป่วยที่มีข้อมูลภาพรังสีแพโนราม่า (panoramic radiograph) ภาพถ่ายรังสีวัดศีรษะด้านข้าง (lateral cephalometric radiograph) และแบบจำลองฟันก่อนรับการรักษาครบถ้วนในแฟ้มประวัติ โดยสุ่มมาเป็นจำนวนทั้งหมด 2500 คน

จากนั้นค้นหาผู้ป่วยที่มีฟันกรามแท้ซี่ที่สองล่างคุดแบบชน โดยพิจารณาจากภาพรังสีแพโนราม่าก่อนการรักษาเป็นหลัก แล้วนับจำนวนผู้ป่วยที่มีฟันกรามแท้ซี่ที่สองล่างคุดแบบชนทั้งหมด เพื่อดำเนินการหาความชุก หลังจากนั้นสุ่มตัวอย่างแบบง่าย (simple random sampling) จากกลุ่มที่ไม่มีฟันกรามแท้ล่างคุดแบบชน จำนวนเท่ากับกลุ่มตัวอย่างที่มีฟันกรามแท้ซี่ที่สองล่างคุดแบบชน เพื่อใช้เป็นกลุ่มควบคุม (control group) วัดค่าตัวแปรต่าง ๆ จากกลุ่มตัวอย่างเพื่อใช้ในการคำนวณด้วยวิธีการทางสถิติที่จะกล่าวถึงในส่วนตัวต่อไป

สุ่มผู้ป่วย 10 รายจากกลุ่มผู้ป่วยที่ใช้ในการศึกษานี้เพื่อกำหนดจุด บันทึกรอยภาพรังสี และวัดค่าต่าง ๆ ในกระดาศาขาชิดและในแบบจำลองฟันซ้ำเป็นครั้งที่สองเพื่อหาความน่าเชื่อถือในการวัดของผู้วิจัยคนเดียวกัน โดยการทดสอบความน่าเชื่อถือและความถูกต้องโดยใช้การทดสอบสมมติฐานเกี่ยวกับผลต่างระหว่างค่าเฉลี่ยของสองประชากรแบบจับคู่ (paired t-test)

ลำดับขั้นตอนในการเสนอผลการวิจัย

เสนอผลการวิจัยโดยเริ่มจากแสดงสถิติเชิงพรรณนา และแสดงผลการทดสอบความน่าเชื่อถือในการวัดของผู้วิจัยคนเดียวกัน จากนั้นจึงแสดงความสัมพันธ์ระหว่างตัวแปรตาม (การมีฟันกรามแท้ซี่ที่สองล่างคู่แบบชน) และตัวแปรอิสระ (องค์ประกอบแต่ละองค์ประกอบของขากรรไกรล่าง) ในรูปแบบอัตราส่วน (odds ratio) ซึ่งหมายถึงอัตราส่วนระหว่างโอกาสที่จะมีฟันกรามแท้ซี่ที่สองล่างคู่แบบชนกับโอกาสที่จะไม่มี ที่ระดับนัยสำคัญ 0.05 ด้วยการวิเคราะห์ความถดถอยโลจิสติกอย่างง่ายแบบสองกลุ่ม (binary simple logistic regression analysis)



ศูนย์วิทยทรัพยากร
จุฬาลงกรณ์มหาวิทยาลัย

บทที่ 2

เอกสารและงานวิจัยที่เกี่ยวข้อง

การเจริญและการขึ้นสู่ช่องปากของฟันกรามแท้ซี่ที่สองล่าง

ฟันในช่องปากมนุษย์เจริญได้โดยอาศัยการปฏิสัมพันธ์อันซับซ้อนหลายขั้นตอนระหว่างเอ็กโทเดิร์ม (ectoderm) และเมโซเดิร์ม (mesoderm) แม้ว่าฟันแต่ละซี่จะมีการเจริญและพัฒนาแยกจากกันอย่างอิสระ แต่กระบวนการเจริญและพัฒนาจะเกิดขึ้นเหมือน ๆ กันทุกซี่ คือเริ่มพัฒนามาจากแถบเยื่อผิวต้นกำเนิดฟัน (dental lamina) และต้องผ่านช่วงพัฒนาการต่าง ๆ ได้แก่ ระยะเวลาบุด (bud stage) ระยะเวลาแคป (cap stage) และระยะเบลล์ (bell stage) โดยในช่วงแรกหน่อฟันจะขยายขนาดขึ้น และเซลล์ในหน่อฟันนั้นจะแปรสภาพเพื่อเริ่มต้นสร้างเคลือบฟันและเนื้อฟัน และเริ่มต้นกระบวนการพอกพูนแร่ธาตุ (mineralization) เพื่อเตรียมตัวงอกขึ้นสู่ช่องปากในที่สุด ภายหลังจากที่ฟันขึ้นสู่ช่องปากแล้ว เอ็นยึดปริทันต์จะล้อมรอบรากฟันและกระดูกเบ้าฟันจะเจริญรอบ ๆ รากฟัน การสร้างรากฟันจะดำเนินต่อไปจนกระทั่งฟันซี่นั้น ๆ ได้ทำหน้าที่บดเคี้ยวและอวัยวะที่รองรับฟันได้พัฒนาจนสมบูรณ์(13)

ฟันแท้กลุ่มฟันตัด (incisors) ฟันเขี้ยว (canines) และฟันกรามน้อย (premolars) จะขึ้นแทนที่ฟันน้ำนมที่อยู่เหนือนั้น (deciduous predecessors) กระบวนการเจริญของหน่อฟันแท้เหล่านี้เริ่มต้นจากการเจริญอย่างมากมายของส่วนปลายลึกสุดภายในแถบเยื่อผิวต้นกำเนิดฟันของหน่อฟันน้ำนม การเจริญอย่างมากมายนี้เองเป็นเหตุให้แถบเยื่อผิวต้นกำเนิดฟันแท้เหล่านี้ได้รับอิทธิพลและเกิดการเจริญเป็นหน่อฟันแท้ขึ้น โดยมีตำแหน่งอยู่ทางด้านใกล้ลิ้นต่อฟันน้ำนม และจะสงบอยู่ชั่วระยะเวลาหนึ่งก่อนที่จะขึ้นสู่ช่องปากแทนที่ฟันน้ำนมที่หลุดออกตามธรรมชาติในเวลาที่เหมาะสม ส่วนฟันกรามแท้ทั้งหมด เป็นฟันที่ไม่ได้ขึ้นสู่ช่องปากแทนที่ฟันน้ำนมซี่ใด ๆ ดังนั้นหน่อฟันแท้ของฟันเหล่านี้จึงมีจุดกำเนิดแตกต่างจากกลุ่มของฟันแท้ที่ขึ้นแทนที่ฟันน้ำนม กล่าวคือ เมื่อขากรรไกรมีการเจริญจนมีขนาดความยาวเพียงพอ แถบเยื่อผิวต้นกำเนิดฟันของฟันกรามแท้จะค่อยเคลื่อนไปสู่ด้านไกลกลางหรือด้านหลังของขากรรไกร ภายใต้อิทธิพลของเยื่อเมือกช่องปาก และแทรกเข้าสู่ชั้นเมเซนไคม์ (mesenchyme) การเคลื่อนไปสู่ด้านหลังของแถบเยื่อผิวต้นกำเนิดฟันร่วมกับปฏิกิริยาการตอบสนองซึ่งกันและกันของเอ็กโทเดิร์มและเมโซเดิร์มจะทำให้เยื่อผิวชั้นนอกมีการเจริญขึ้นเป็นหน่อฟันแท้ของฟันกรามซี่ที่หนึ่ง ซี่ที่สอง และซี่ที่สามตามลำดับ นอกจากนี้การเคลื่อนไปสู่ด้านหลังของแถบเยื่อผิวต้นกำเนิด

ฟันในขากรรไกรล่างที่กำลังเจริญ อาจจะทำให้ฟันกรามแท้เกิดพัฒนาขึ้นในขากรรไกรล่างส่วนท้าย ฟันกรามในผู้ใหญ่ที่เจริญเต็มที่แล้ว(14)

การขึ้นของฟัน (tooth eruption) คือการที่ฟันซึ่งกำลังเจริญมีการเคลื่อนตัว ภายในกระดูกเบ้าฟัน ผ่านทะลุกระดูกเบ้าฟันและเยื่อเมือกของปากที่ปกคลุมกระดูกเบ้าฟันจน ปรากฏขึ้นในช่องปากและอยู่ในระดับระนาบสบฟันในที่สุด การเคลื่อนตัวของฟันที่กำลังมีการ เจริญดังกล่าวเริ่มต้นตั้งแต่เมื่อเริ่มมีการสร้างรากฟัน นั่นคือฟันจะเคลื่อนขึ้นสู่ช่องปากตาม แนวแกนของฟัน และชั้นเคลือบฟันของตัวฟันจะยังคงถูกปกคลุมด้วยชั้นบาง ๆ ของเซลล์สร้าง เคลือบฟัน (ameloblast) ลักษณะทางคลินิกประการแรกของการขึ้นของฟันคือ การงอกทะลุผ่าน เหงือกขึ้นมา หลังจากนั้นฟันจะเคลื่อนตัวขึ้นสู่ช่องปากอย่างรวดเร็วเพื่อให้ถึงระดับของระนาบการ สบฟัน (occlusal plane) เมื่อถึงระดับของระนาบการสบฟันแล้ว ฟันจะยังคงมีการขึ้นต่อไปด้วย อัตราที่ช้าลงเพื่อชดเชยกับการเจริญตามปกติของขากรรไกรและการสึกด้านบดเคี้ยวของฟัน(14)

ฟันกรามแท้ซี่ที่สองล่างเริ่มต้นสะสมแร่ธาตุ (calcification) เมื่อเด็กอายุ 2-3 ปี จนอายุ 7-8 ปี จะสร้างตัวฟันจนเสร็จสมบูรณ์ และขึ้นสู่ช่องปากในช่วงอายุ 11-13 ปี หลังจากนั้น จะสร้างรากฟันต่อเนื่องจนปลายรากฟันปิดเมื่ออายุได้ 14-15 ปี(13)

มีปัจจัยหลายประการที่เกี่ยวข้องกับการขึ้นของฟัน ในอดีตเคยมีความเชื่อว่าการ เจริญของรากฟันและแรงดันในโพรงประสาทฟันเป็นปัจจัยสำคัญ จนกระทั่งมีรายงานถึงกรณีการ งอกขึ้นสู่ช่องปากของฟันที่ไม่มีการสร้างรากฟัน การมีหลอดเลือดมาหล่อเลี้ยงก็เป็นปัจจัยหนึ่งที่มี อิทธิพลต่อกระบวนการขึ้นของฟัน ยกตัวอย่างเช่น การผ่าตัดเอาเส้นประสาทซิมพาเทติกออกไป เป็นเหตุให้เกิดการขยายตัวของหลอดเลือดทำให้เกิดการขึ้นของฟันเร็วขึ้นกว่าปกติ นอกจากนี้ ภาวะเลือดมากเฉพาะที่ (localized hyperemia) ซึ่งเป็นผลตามของโรคปริทันต์อักเสบ ก็สามารถ ก่อให้เกิดการเพิ่มจำนวนหลอดเลือดที่มาหล่อเลี้ยงเนื้อเยื่อปริทันต์ในบริเวณนั้น และพบว่ามียผลทำ ให้เกิดการขึ้นของฟันข้างเคียงเพิ่มขึ้น ในทางตรงกันข้าม โรคทางระบบบางโรค เช่น ภาวะพร่อง หรือขาดฮอร์โมนที่สร้างจากต่อมใต้สมองส่วนหน้าและ/หรือส่วนหลัง (hypopituitarism) จะลด จำนวนหลอดเลือดลงและมีผลทำให้เกิดการยับยั้งการขึ้นของฟัน อีกปัจจัยหนึ่งที่มีการถกเถียงกัน คือกลุ่มของเซลล์ที่อยู่ในถุงหุ้มหน่อฟันอันมีบทบาทสำคัญในการให้กำเนิดเคลือบรากฟัน เอ็นยึด ปริทันต์ และกระดูกเบ้าฟัน เป็นเพราะเซลล์เหล่านี้ทำหน้าที่โดยตรงในการละลายกระดูกในระยะที่ มีการเจริญและเมื่อฟันมีการเคลื่อนแบบทั้งซี่ (bodily movement) และอาจใช้เอนไซม์ย่อยทำลาย เนื้อเยื่อที่ปกคลุมฟัน และการเอาถุงหุ้มหน่อฟันออกไปสามารถหยุดการขึ้นของฟันได้ ดังนั้นจึง สันนิษฐานว่าเซลล์เหล่านี้ก็มีอิทธิพลต่อการขึ้นของฟัน อีกทั้งเซลล์ที่อยู่ในถุงหุ้มหน่อฟันที่กำลัง

จะขึ้นสู่ช่องปากยังมีหน้าที่เตรียมแนวกระดูกขึ้นสู่ช่องปากสำหรับฟันขึ้นนั้น ๆ และจัดเตรียมเซลล์สร้างกระดูก (osteoblast) สำหรับเส้นใยกระดูก (trabecula bone) บริเวณปลายรากฟันในช่วงเวลาที่กำลังมีการขึ้นสู่ช่องปากของฟัน อย่างไรก็ตามการขึ้นของฟันได้รับอิทธิพลจากพันธุกรรมเป็นปัจจัยหลักมากกว่าสิ่งแวดล้อม ยกเว้นในรายที่โภชนาการอย่างรุนแรงอาจทำให้ฟันขึ้นช้าผิดปกติได้(13)

กลไกพื้นฐานของการขึ้นของฟันคือการลดแรงดันที่กระทำอยู่เหนือฟัน และเพิ่มแรงดันรอบ ๆ และได้ฟัน เมื่อแรกเริ่มการสร้างรากฟัน จะค่อย ๆ ปรากฏแนวการขึ้นของฟันเหนือต่อหน้าฟันขึ้นนั้น ๆ และแม้ว่าจะทำการขัดขวางการขึ้นของฟันด้วยวิธีการเชิงกลใด ๆ ก็ตาม แนวการขึ้นของฟันนี้ก็ยังปรากฏอยู่ไม่หายไป กลไกดังกล่าวข้างต้นเกิดขึ้นโดยมีการเพิ่มจำนวนและเปลี่ยนแปลงตำแหน่งเส้นใยของเอ็นยึดปริทันต์และการปรับรูป (remodeling) ของกระดูกเข้าฟัน โดยรอบที่ฟันจะทำให้ฟันที่ของเนื้อเยื่ออ่อนรอบ ๆ ตัวฟันถูกจำกัดบริเวณและแคบลงเรื่อย ๆ ในเวลาเดียวกันนี้เซลล์สร้างเส้นใย (fibroblast) ของเอ็นยึดปริทันต์และหลอดเลือดที่เข้ามาหล่อเลี้ยงจะเพิ่มจำนวนมากขึ้นเรื่อย ๆ การเปลี่ยนแปลงดังกล่าวทั้งหมดนี้เป็นเหตุให้เกิดแรงดันที่เพิ่มขึ้นโดยรอบและภายใต้ฟันที่กำลังขึ้นสู่ช่องปาก

การคุดแบบขนของฟันกรามแท้ซี่ที่สองล่าง

การคุดแบบขนของฟันกรามแท้ซี่ที่สองล่าง เกิดได้จากหลายสาเหตุ และอาจสัมพันธ์กับการรบกวนการเจริญทางสรีรวิทยาของขากรรไกรล่างและพัฒนาการของฟัน โดยปกติแล้วเนื้อที่สำหรับให้ฟันกรามแท้ซี่ที่สองล่างขึ้นได้จะเกิดจากการละลายตัวของกระดูกที่บริเวณขอบหน้าของขากรรไกรล่างส่วนท้ายฟันกราม ร่วมกับการเคลื่อนตัวในทิศใกล้กลางเข้าสู่ช่องสี่แฉกของฟันกรามแท้ซี่ที่หนึ่งล่าง(2) Andreasen(8) สรุปว่าสภาพคุดแบบขนของฟันกรามล่างซี่ที่สองล่างเกิดจากสามสาเหตุหลัก ได้แก่ ตำแหน่งของหน่อฟันอยู่ผิดปกติ, อุปสรรคขัดขวางในแนวการขึ้นของฟัน และความล้มเหลวในกลไกการขึ้นของฟันเอง นอกจากนี้ยังมีผู้วิจัยท่านอื่น ๆ รายงานถึงสาเหตุการเกิดฟันกรามแท้ซี่ที่สองล่างคุดแบบขนว่าอาจเกิดจากสาเหตุทางระบบ เช่น กลุ่มอาการ (syndromes) ต่าง ๆ ซึ่งจะส่งผลกระทบต่อฟันหลายซี่พร้อม ๆ กัน(15) หรือสาเหตุเฉพาะที่ (local) ซึ่งจะกระทบต่อฟันหนึ่งซี่หรือไม่เกินสามซี่ ยกตัวอย่างเช่น การซ้อนเกของฟัน(3-6), ลักษณะโครงสร้างของกะโหลกศีรษะและใบหน้า, ลักษณะที่เบี่ยงเบนไปจากปกติของชุดฟัน(7), การรบกวนเนื้อเยื่อปริทันต์(16) และการทำลายระบบประสาทที่มาหล่อเลี้ยงบริเวณนั้น(17) เมื่อ

ปุ่มฟันใกล้กลางของฟันกรามแท้ซี่ที่สองล่างติดอยู่ใต้คอฟันของฟันกรามแท้ซี่ที่หนึ่งล่าง ในระหว่างขึ้นสู่ช่องปากในทิศทางใกล้กลางของฟันกรามแท้ซี่ที่สองล่าง อาจจะเป็นภาวะที่เกิดขึ้นชั่วคราว หากฟันกรามแท้ซี่ที่สองล่างมีการตั้งของซี่ฟันขึ้นมาเองหรือจากการที่ฟันกรามแท้ซี่ที่หนึ่งล่างยังคงมีการเคลื่อนตัวไปในทางด้านใกล้กลางได้อีก ซึ่งในบางกรณีกลับทำให้เกิดสภาพการคุดแบบขนในแนวนอน (horizontal impaction) ของฟันกรามแท้ซี่ที่สองล่างได้เช่นกัน (8) สาเหตุของการเกิดการเอียงท่ามุมไปในทิศทางใกล้กลางเข้าสู่ฟันข้างเคียง หรือการขึ้นผิดตำแหน่งของฟันกรามแท้ซี่ที่สองล่างอาจจะมีความสัมพันธ์กับการซ้อนเกของฟันหน้าในขากรรไกรล่าง(3) และกรณีที่เนื้อที่ว่างในขากรรไกรล่างไม่เพียงพออาจส่งผลกระทบต่อถุงหุ้มหน่อฟัน (dental follicle) ของฟันกรามแท้ซี่ที่สองล่างเกิดการชนกับถุงหุ้มหน่อฟันของฟันกรามแท้ซี่ที่สามล่าง โดยเฉพาะอย่างยิ่งเมื่อถุงหุ้มหน่อฟันทั้งสองอยู่ในช่วงที่กำลังเจริญอยู่ในขากรรไกรล่างที่มีการละลายตัวของขอบหน้าขากรรไกรล่างส่วนท้ายฟันกรามในปริมาณน้อย ๆ ทำให้เนื้อที่ด้านหลังของขากรรไกรล่างมีปริมาณไม่เพียงพอต่อการเรียงตัวตามปกติของฟันกรามแท้ซี่ที่สองล่างและซี่ที่สามล่างได้ (8)

ในทางตรงกันข้าม การมีเนื้อที่ว่างมากเกินไประหว่างฟันกรามแท้ซี่ที่สองล่างที่กำลังพัฒนากับฟันกรามแท้ซี่ที่หนึ่งล่าง อาจเป็นเหตุให้เกิดการคุดแบบขนของฟันกรามแท้ซี่ที่สองล่างได้เช่นกัน คาดว่าอาจเป็นเพราะส่วนตัวฟัน (crown) ของฟันกรามแท้ซี่ที่สองล่างต้องการอาศัยรากฟันด้านใกล้กลางของฟันกรามแท้ซี่ที่หนึ่งล่างในการนำทางสำหรับเป็นแนวการขึ้นของมัน(18) นอกจากนี้ สภาพการฝังคุดแบบขนของฟันกรามแท้ซี่ที่สองล่างอาจเกิดได้จากสิ่งกีดขวางทางกายภาพ คือ ฟันเกิน, โอดอนโทมา, เนื้องอกเหตุจากฟัน เป็นต้น(8)

มีรายงานเกี่ยวกับการคุดแบบขนของฟันกรามแท้ซี่ที่สองล่างว่ามีความชุกค่อนข้างต่ำ พบตั้งแต่ร้อยละ 0 ถึง 2.3 และอายุของประชากรที่พบมีตั้งแต่ 6 ปีจนถึง 26 ปี (4, 19, 20) Varpio และ Wellfelt รายงานว่ามักพบฟันกรามแท้ซี่ที่สองล่างเพียงข้างเดียวของขากรรไกรล่าง (unilateral) มากกว่าพบสองข้าง (bilateral) พบในเพศชายมากกว่าเพศหญิงและพบว่าฟันจะเข้าชนกับฟันกรามแท้ซี่ที่หนึ่งล่างในลักษณะเอียงตัวทางด้านใกล้กลาง (mesially inclined) และยังพบอีกว่าผู้ป่วยที่มีฟันกรามแท้ซี่ที่สองล่างคุดแบบขนแทบทุกรายมีหน่อฟันกรามแท้ซี่ที่สามล่างและมักมีการซ้อนเกบริเวณฟันกรามแท้ล่างร่วมด้วย(4) Shapira และคณะพบในด้านขวาของขากรรไกรล่างมากกว่าด้านซ้าย(18) Evans พบว่ามีความสัมพันธ์ระหว่างการคุดแบบขนของฟันกรามแท้ซี่ที่สองล่างกับการซ้อนเกของฟันในขากรรไกรล่างและองศาการเอียงตัวในทิศทางใกล้กลางของฟันซี่ที่คุดแบบขนนั้น(3)

การเจริญของขากรรไกรล่างโดยองค์รวม

การเจริญเติบโตของขากรรไกรล่างแบ่งเป็นสองแบบ คือ

1. การแทนที่กระดูกอ่อนด้วยกระดูกแข็ง (cartilage replacing by bone) เป็นการเจริญของกระดูกอ่อนคอนดายล์ ซึ่งมีลักษณะเป็นกระดูกอ่อนโปร่งแสง (hyaline cartilage) ปกคลุมด้วยเส้นใยเนื้อเยื่อยึดต่อชนิดทึบ (dense fibrous connective tissue) ทำให้กระดูกอ่อนคอนดายล์มีการเจริญได้ 2 แบบ คือ

1.1 Interstitial growth เป็นการเจริญของกระดูกอ่อนแบบเดียวกับที่พบในส่วนเอพิฟายเซียล (epiphyseal) และแผ่นรองข้อต่อ (articular disc)

1.2 Appositional growth เป็นการเจริญของกระดูกอ่อนที่พบได้ชั้นเส้นใยเนื้อเยื่อยึดต่อชนิดทึบที่คลุมคอนดายล์เท่านั้น

2. การเพิ่มพูนและละลายกระดูก (surface deposition and resorption) พบได้ทุกส่วนของขากรรไกรล่าง เพื่อคงรูปร่างและลักษณะของขากรรไกรล่างเอาไว้ ขณะมีการเจริญเติบโตขยายขนาดขึ้น

ความยาวของขากรรไกรล่างเกี่ยวข้องกับขนาดของร่างกาย และอิทธิพลทางพันธุกรรม Enlow (21) ศึกษาการเจริญทางมิถุนวิทยา (histology) ในส่วนต่าง ๆ ของขากรรไกรล่างจากกะโหลกแห่งอายุ 4-12 ปี จำนวน 25 คน และได้อธิบายการเพิ่มขนาดของขากรรไกรล่างโดยยังคงรูปร่างเดิมได้ ประกอบด้วย 3 หลักใหญ่ ได้แก่

2.1 Area relocation กล่าวคือแต่ละบริเวณของขากรรไกรล่างมีทิศทางการเจริญของตัวเอง และสัมพันธ์กับบริเวณที่อยู่ข้างเคียง ถ้าส่วนใดของขากรรไกรล่างเปลี่ยนแปลงตำแหน่งไป ส่วนที่อยู่ข้างเคียงจะเจริญมาแทนที่ เช่น การที่ส่วนหน้าของขากรรไกรล่างส่วนท้ายพัฒนากลายเป็นส่วนหนึ่งของขากรรไกรล่างส่วนลำตัว (mandibular body) ในขณะที่ขากรรไกรล่างมีการเจริญไปทางด้านหลัง

2.2 Surface facing direction of growth ด้านของขากรรไกรล่างที่อยู่ในแนวเดียวกับทิศทางการเจริญของกระดูกจะมีการสร้างกระดูกเพิ่มขึ้น ขณะเดียวกันนั้น ด้านที่อยู่ตรงกันข้ามกับทิศทางการเจริญจะมีการละลายของกระดูก ทำให้ขากรรไกรล่างเจริญไปในแนวที่ต้องการโดยสามารถคงความหนาและรูปร่างให้เป็นดังเดิมได้

2.3 The V principle เป็นการอธิบายการเจริญของกระดูกใบหน้าที่มีรูปร่างคล้ายตัว V โดยมีการเพิ่มขนาดแต่รูปร่างไม่เปลี่ยนแปลง ขากรรไกรล่างมีรูปร่างคล้ายตัว V เช่นกัน ใน

บริเวณที่มีแผ่นกระดูกทึบ (cortical plate) ทั้งด้านนอกและด้านใน จะมีการสร้างกระดูกทางด้านในของขาตัว V ร่วมกับการละลายกระดูกทางด้านนอก ผลทำให้บริเวณดังกล่าวมีการเจริญเข้าไป (lingually) และไปทางด้านหลัง (posteriorly) เมื่อดูจากทางด้านหน้า (frontal)

การเจริญของขากรรไกรล่างแต่ละส่วน

Enlow(21) และ Graber(22) อธิบายการเจริญของขากรรไกรล่างแต่ละส่วนไว้ดังนี้

1. คอนดอยล์ และ คอคอนดอยล์ (condylar neck) มีการเจริญสองแบบ คือแบบกระดูกแข็งแทนที่กระดูกอ่อน ทำให้คอนดอยล์มีขนาดใหญ่ขึ้น และแบบการเพิ่มพูนและการละลายของกระดูกเมื่อมีการเจริญเติบโตเต็มที่ ทิศทางการเจริญคือขึ้นสู่ด้านบนและไปทางด้านหลัง (upward and backward) ทำให้ขณะที่มีการเจริญขากรรไกรล่างเคลื่อนที่มาด้านหน้าและลงล่าง คอนดอยล์เป็นส่วนของกระดูกอ่อนทุติยภูมิ (secondary cartilage) ที่เปลี่ยนแปลงมาในภายหลัง เพราะกระดูกอ่อนปฐมภูมิ (primary cartilage) ที่เป็นร่องรอยเดิมตั้งแต่เป็นตัวอ่อนเรียกว่ากระดูกอ่อนเม็คเคิล (Meckel's cartilage) ได้สลายตัวไปหมดตั้งแต่อยู่ในครรภ์โดยมีส่วนที่หลงเหลืออยู่เพียงกระดูกรูปค้อนและรูปทั่งในหูชั้นกลาง รวมถึงเอ็นยึดคัสพีโนแมนดิบิวลาร์ (sphenomandibular ligament)

จาก V Principle ของ Enlow(23) คอนดอยล์มีลักษณะเป็นรูปตัว V เมื่อดูจากทางด้านหน้า ผิวด้านในมีการสร้างกระดูกเพิ่มขึ้น ขณะที่ผิวด้านนอกมีการละลายของกระดูก ส่วนคอคอนดอยล์มีขนาดเล็กกว่าคอนดอยล์มาก เนื่องจากมีการลดขนาดของคอนดอยล์ที่จะเจริญลงมาเป็นส่วนของคอคอนดอยล์มีการละลายกระดูกบนด้านเยื่อหุ้มกระดูกชั้นนอก (periosteal) และมีการสร้างกระดูกทางด้านเยื่อโพรงไขกระดูก (endosteal) ขณะเดียวกันฐานของคอนดอยล์ที่จะเจริญลงล่างจะเชื่อมกลมกลืนไปกับขอบหลังของขากรรไกรล่างส่วนท้ายพินแกรม ทำให้ขากรรไกรล่างส่วนท้ายพินแกรมเจริญไปทางด้านหลังทันกับการเจริญของคอนดอยล์

Sicher (24) กล่าวว่าจากการที่คอนดอยล์เชื่อมกับขากรรไกรล่างส่วนลำตัว (mandibular body) ด้วยขากรรไกรล่างส่วนท้ายพินแกรม จึงทำให้มีการเพิ่มความสูงของขากรรไกรล่างส่วนท้ายพินแกรมเอง และเพิ่มความยาวทั้งหมดของขากรรไกรล่าง อีกทั้งเพิ่มระยะห่างระหว่างคอนดอยล์ทั้งสองข้าง

2. ส่วนยื่นคอโรนอยด์ (coronoid process) เป็นการเจริญแบบสร้างและละลายกระดูก มีทิศทางการเจริญในทางขึ้นสู่ด้านบนและไปทางด้านหลังและเข้าไปในด้านใกล้ลิ้น (upward, backward, inward) ตาม functional matrix theory(25) เชื่อว่าการเจริญของคอโรนอยด์เป็นผลจากการเจริญเติบโตและการทำหน้าที่ของกล้ามเนื้อ

3. ขากรรไกรล่างส่วนท้ายฟันกราม การเจริญเป็นแบบการสร้างและการละลายของกระดูก มีทิศทางการเจริญออกทางด้านใกล้แก้ม ยกเว้นส่วนบนที่ติดกับส่วนยื่นคอนดอยล์และส่วนยื่นคอโรนอยด์ มีการเจริญไปทางด้านใกล้ลิ้นโดย

3.1 ด้านใกล้แก้มของขากรรไกรล่างส่วนท้ายฟันกราม ยกเว้นส่วนยื่นคอโรนอยด์และคอคอนดอยล์บริเวณส่วนล่างเจริญไปทางด้านนอกโดยมีการสร้างกระดูกที่ผิวด้านนอกและบริเวณส่วนบนที่ติดกับส่วนยื่นคอโรนอยด์และคอคอนดอยล์เจริญเข้าไปในมีการสร้างกระดูกที่ผิวด้านใน

3.2 ด้านใกล้ลิ้นมีการเจริญของบริเวณส่วนบนและล่างตรงข้ามกับด้านใกล้แก้ม

3.3 บริเวณขอบหน้าของขากรรไกรล่างส่วนท้ายฟันกราม มีการละลายของกระดูกตลอดขอบหน้าของส่วนนี้ เพื่อเพิ่มความยาวของส่วนโค้งแนวฟัน (dental arch) สำหรับการขึ้นของฟันกราม

3.4 บริเวณขอบหลังของขากรรไกรล่างส่วนท้ายฟันกราม มีการสร้างกระดูกตลอดขอบหลังอ้อมไปจนถึงด้านใกล้ลิ้นบางส่วน

3.5 บริเวณรูขากรรไกรล่าง (mandibular foramen) จะเคลื่อน (drift) ไปทางด้านหลังผ่านบริเวณที่มีการละลายของกระดูกเข้าสู่แอ่งหลังแก้มขากรรไกรล่าง (postlingular fossa) เพื่อรักษาตำแหน่งให้สัมพันธ์กับขากรรไกรล่างส่วนท้ายฟันกราม

4. ขากรรไกรล่างส่วนลำตัว (mandibular body) เป็นการเจริญแบบมีทั้งการสร้างและการละลายของกระดูก มีทิศทางการเจริญขึ้นสู่ด้านบน ไปทางด้านหลัง และออกสู่ด้านบน เป็นการเพิ่มขนาดของขากรรไกรล่างทั้งในด้านความกว้าง ความยาว และความสูงโดย

4.1 การเพิ่มความยาวของขากรรไกรล่าง เกิดจากการแทนที่ (relocation) ของส่วนที่จะเจริญไปเป็นขากรรไกรล่างส่วนลำตัวในตำแหน่งของขากรรไกรล่างส่วนท้ายฟันกรามเดิม ซึ่งเจริญไปทางด้านหลัง เพื่อให้ทันกับการเจริญของคอนดอยล์ทางด้านใกล้แก้มของขากรรไกรล่างส่วนลำตัวมีการสร้างกระดูกไปถึงขอบหลังของขากรรไกรล่างส่วนท้ายฟัน ส่วนด้านใกล้ลิ้นมีการละลายของกระดูกได้บริเวณที่จะเจริญไปเป็นปุ่มกระดูกใกล้ลิ้น (lingual tuberosity) ทว่าการ

เจริญเพื่อเพิ่มความยาวของขากรรไกรล่างเป็นกระบวนการที่สลับซับซ้อน และเกี่ยวข้องกับการเจริญของหลายบริเวณ ไม่ได้มีศูนย์กลางการเจริญของขากรรไกรล่างส่วนลำตัวแต่เพียงแห่งเดียว

4.2 การเพิ่มความกว้างของขากรรไกรล่าง เกิดจากการเจริญไปทางด้านนอก (outward) โดยมีการสร้างกระดูกตลอดผิวนอกของขากรรไกรล่างทั้งหมด ยกเว้นส่วนยื่นเบ้าฟัน (alveolar process) ที่ชิดฟันหน้าล่าง 6 ซี่ จะมีการละลายของกระดูกแทน ส่วนทางด้านใกล้ลิ้นของขากรรไกรล่าง มีการสร้างกระดูกตลอดแนวยกเว้นบริเวณที่อยู่ใต้ lingual tuberosity มาจนถึงฟันกรามน้อย มีการละลายของกระดูกเพื่อให้ความหนาของขากรรไกรล่างคงที่

4.3 การเพิ่มความสูงของขากรรไกรล่าง จากขอบล่างของขากรรไกรล่างจนถึงขอบบนของกระดูกเบ้าฟัน การเจริญของคอนดอยล์ทำให้ขากรรไกรล่างเลื่อน (shift) ลงล่างมาทางด้านหน้าร่วมกับการเจริญทางด้านความสูงของขากรรไกรล่างส่วนท้ายฟันกรามเพื่อมีช่องว่างสำหรับฟันบนและฟันล่างมาสบกันได้

การเจริญของขากรรไกรล่างยังคงมีอย่างต่อเนื่องในอัตราเร็วคงที่ก่อนการเข้าสู่วัยหนุ่มสาว โดยมีการเพิ่มความสูงของขากรรไกรล่างส่วนท้ายฟันกรามประมาณปีละ 1-2 มม. ในขณะที่ความยาวส่วนลำตัวของขากรรไกรล่างจะเพิ่มขึ้นประมาณปีละ 2-3 มม. (26)

5. คาง (chin) เดิมเชื่อกันว่าความโค้งมนบริเวณคางเกิดจากการเพิ่มของกระดูก แต่ปัจจุบันเป็นที่แน่ชัดแล้วว่าการเปลี่ยนความโค้งมนของรูปร่างคางนั้นส่วนใหญ่เกิดจากการเปลี่ยนแปลงเนื้อคาง ซึ่งอยู่ระหว่างกระดูกเบ้าฟันและตัวคางเอง โดยมีการละลายของกระดูกบริเวณนี้ การเพิ่มความนูนของคางจึงเกิดจากวิธีการนี้ร่วมกับการเคลื่อนที่มาข้างหน้าของกระดูกขากรรไกรทั้งหมด การพอกพูนของกระดูกทางด้านนอกรอบบริเวณที่จะกลายเป็นลูกคาง แตกต่างกันไปแต่ละคน บริเวณกระดูกเบ้าฟันหน้าล่าง 6 ซี่ จะมีการละลายทำให้มีลักษณะแบน กระดูกลูกคางที่อยู่ถัดลงไปจะนูนเด่น ส่วนด้านใกล้ลิ้นมีการพอกพูนของกระดูกบริเวณปุ่มกระดูกแนวประสานคาง (genial tubercle)

ตำแหน่งต่าง ๆ ของขากรรไกรล่างที่มีการสร้างและละลายของกระดูกเพื่อเปลี่ยนแปลงรูปร่าง มักเป็นตำแหน่งที่มีการยึดเกาะของกล้ามเนื้อมัดต่าง ๆ และเกี่ยวข้องกับการทำงานของกล้ามเนื้อเหล่านั้นด้วย (functional components) ตำแหน่งเหล่านี้ได้แก่

- 5.1 ส่วนยื่นเบ้าฟัน (alveolar process)
- 5.2 ส่วนยื่นคอโรนอยด์ ซึ่งมีกล้ามเนื้อขมับ (temporalis muscle) ยึดเกาะ
- 5.3 มุมของขากรรไกรล่าง (angle of mandible) ซึ่งมีกล้ามเนื้อแมสซีเตอร์ (masseter muscle) และ กล้ามเนื้อเทอริกอยด์มัดใน (medial pterygoid muscle) ยึดเกาะ

5.4 ส่วนยื่นคอนดอยล์ ซึ่งเป็นส่วนหนึ่งในการทำงานของข้อต่อขากรรไกร (temporomandibular articulation)

5.5 Basal portion ของขากรรไกรล่างส่วนลำตัว

ช่วงเวลาของการเจริญเติบโตของขากรรไกรล่างในด้านความกว้าง ความยาว และความสูง

เมื่อพิจารณาการเจริญเติบโตของขากรรไกรล่างในระนาบทั้งสามมิติ พบว่ามีลำดับขั้นตอนที่ค่อนข้างแน่นอนในแง่การสิ้นสุดของการเจริญเติบโต เช่นมีการลดการเจริญเติบโตลงเป็นลำดับจนเข้าสู่วัยผู้ใหญ่ การเจริญเติบโตในมิติความกว้างจะสิ้นสุดก่อน หลังจากนั้นจะเป็นในด้านความยาว และสุดท้ายจะเป็นความสูง โดยการเจริญเติบโตในด้านความกว้างมีแนวโน้มจะสิ้นสุดก่อนตั้งแต่ก่อนเข้าสู่วัยหนุ่มสาว ดังนั้นการเจริญอย่างรวดเร็วเข้าสู่วัยหนุ่มสาว (pubertal spurt) จึงส่งผลน้อยมากต่อความกว้างของขากรรไกรบนและล่าง นอกจากนี้พบว่าระยะระหว่างฟันเขี้ยวทั้งซ้ายและขวาจะไม่เพิ่มมากนักหลังจากอายุ 12 ปี(27) ในขากรรไกรล่างความกว้างในแนวฟันกรามและแนวข้อต่อขากรรไกรมีการเพิ่มขึ้นเพียงเล็กน้อยเท่านั้น จนกระทั่งสิ้นสุดการเจริญในด้านความยาว ในขณะที่ความกว้างทางด้านหน้าของขากรรไกรล่างค่อนข้างคงที่ก่อนหน้านี้แล้ว

การเจริญเติบโตด้านความยาวของกระดูกขากรรไกรบนและล่างยังคงมีต่อไปจนกระทั่งเข้าสู่วัยหนุ่มสาว โดยเฉลี่ยในเด็กหญิงจะพบว่าการเจริญเติบโตนี้จะสิ้นสุดเมื่ออายุประมาณ 14-15 ปี(28) หรือจะกล่าวให้ชัดเจนนั้นคือประมาณ 2-3 ปีหลังจากการมีประจำเดือนครั้งแรก แต่ในเด็กชายนั้นการเพิ่มความยาวของกระดูกขากรรไกรยังคงมีต่อไปจนอายุประมาณ 18 ปี หรือ 4ปี หลังจากสิ้นสุดการเปลี่ยนแปลงการแสดงลักษณะปรากฏทางเพศแล้ว

การเจริญในด้านความสูงของขากรรไกรและใบหน้าจะคงอยู่นานกว่าในทั้งสองเพศ การเพิ่มความสูงของใบหน้าและระดับการขึ้นของฟันมีการเปลี่ยนแปลงไปตลอดชีวิต แต่โดยทั่วไปพบว่าในเพศหญิงที่มีอายุ 17 ถึง 18 ปี หรือในเพศชายในช่วงต้นของวัย 20 ปี พบว่าขนาดความสูงของขากรรไกรค่อนข้างใกล้เคียงกับขนาดในวัยผู้ใหญ่แล้ว

การหมุนของขากรรไกรล่างระหว่างการเจริญเติบโต

ในช่วงทศวรรษที่ 1960 หรือก่อนที่จะมีการศึกษาการหมุนของขากรรไกรล่างโดยการฝังโลหะโดย Bjork และคณะ(29) ความเข้าใจในเรื่องการหมุนของขากรรไกรล่างและบนในระหว่างการเจริญเติบโตยังไม่เป็นที่กระจ่างนัก เนื่องจากการหมุนที่เกิดในแกนของแต่ละขากรรไกร ซึ่งเรียกว่าการหมุนภายใน (internal rotation) มักจะถูกปิดบังด้วยการเปลี่ยนแปลงที่พื้นผิวที่เรียกว่า การหมุนภายนอก (external rotation) จะสังเกตการเปลี่ยนแปลงของแต่ละขากรรไกรในเรื่องแนวแกนได้โดยการดูระนาบขากรรไกรบน (palatal plane) และระนาบขากรรไกรล่าง (mandible plane) ซึ่งเกิดร่วมกันจากการหมุนภายในและภายนอก(29, 30)

แกน (core) ของขากรรไกรล่างเป็นเนื้อกระดูกที่ล้อมรอบเส้นประสาทอินฟีเรียร์แอลเวียโอลาร์ (inferior alveolar nerve) ส่วนอื่นที่เหลือของขากรรไกรล่างจะประกอบไปด้วยส่วนยื่นทำงาน (functional process) ต่าง ๆ ได้แก่ กระดูกเบ้าฟัน และก่อให้เกิดการบิดเคี้ยว กระดูกที่เป็นแหล่งยึดเกาะของกล้ามเนื้อ และส่วนยื่นคอนดอยล์ซึ่งเป็นข้อต่อระหว่างขากรรไกรกับกะโหลกศีรษะ เมื่อฝังโลหะในบริเวณที่ไม่เปลี่ยนแปลงและห่างจากส่วนยื่นทำงาน พบว่าในคนทั่วไป แกนของขากรรไกรล่างจะหมุนในระหว่างการเจริญเติบโตในทิศทางที่จะลดมุมระนาบของขากรรไกรล่าง โดยการยกกระนาบด้านหน้าขึ้น และทำให้ระนาบด้านหลังลดต่ำลง

Bjork(31) แบ่งการหมุนภายในของขากรรไกรล่างออกเป็น 2 ชนิดคือ การหมุนของเมทริกซ์ (matrix rotation) เป็นการหมุนรอบหัวคอนดอยล์ และอีกชนิดหนึ่งคือการหมุนภายในเมทริกซ์ (intramatrix rotation) เป็นการหมุนที่มีศูนย์กลางอยู่ที่ขากรรไกรล่างส่วนลำตัว การหมุนของขากรรไกรล่างจะทำให้เกิดการเคลื่อนที่มาข้างหน้า (forward) เมื่อมีการเจริญทางด้านหลังมากกว่าด้านหน้า และจะให้เครื่องหมายทิศทางเป็นลบ เป็นการหมุนในทิศทางตามเข็มนาฬิกา แต่ในทางตรงกันข้าม การหมุนของขากรรไกรล่างจะทำให้เกิดการเคลื่อนที่ถอยไปข้างหลัง (backward) เมื่อมีการเจริญทางด้านหน้ามากกว่าทางด้านหลัง ให้เครื่องหมายทิศทางเป็นบวก และเป็นการหมุนในทิศทางทวนเข็มนาฬิกา

ลักษณะอย่างหนึ่งของการหมุนภายในขากรรไกรล่างคือความแปรผันในแต่ละบุคคล อาจต่างกันได้ตั้งแต่ 10 ถึง 15 องศา รูปแบบของการพัฒนาการของโครงสร้างในแนวตั้ง จะมีความสัมพันธ์อย่างมากต่อการหมุนของขากรรไกร โดยเฉพาะในบุคคลที่มีสัดส่วนพัฒนาการของโครงสร้างใบหน้าในแนวตั้งเป็นปกติ จะพบว่ามี การเปลี่ยนแปลงการหมุนภายในประมาณ -15

องศา จากอายุ 4 ขวบจนถึงอายุที่เติบโตเป็นผู้ใหญ่ ในการเปลี่ยนแปลงนี้พบว่า 25% เป็นลักษณะของการหมุนของเมทริกซ์ส่วนอีก 75% เป็นการหมุนภายในเมทริกซ์

ในขณะที่พบว่าแกนของขากรรไกรล่างมีการหมุนไปข้างหน้าโดยเฉลี่ยที่ 15 องศา นั้น จะสังเกตเห็นการลดของมุมระนาบขากรรไกรล่างมีเพียง 2 ถึง 4 องศาเท่านั้นเมื่อดูจากภายนอก เนื่องจากมีการทดแทนจากการเปลี่ยนแปลงพื้นผิวภายนอกของขากรรไกรล่างหรือที่เรียกว่าการหมุนภายนอกพร้อมด้วย ซึ่งหมายความว่าส่วนท้ายของขอบล่างของขากรรไกรล่างจะมีการละลายตัวของกระดูก ในขณะที่เดียวกันบริเวณส่วนหน้าไม่พบความเปลี่ยนแปลงหรือมีการสะสมเพิ่มของกระดูก ปรากฏการณ์นี้เป็นรูปแบบปกติของการละลายของกระดูกเมื่อทำการศึกษาการเปลี่ยนแปลงที่พื้นผิว โดยรวมแล้วการหมุนภายในขากรรไกรล่างมีประมาณ 15 องศา ก่อให้เกิดการเคลื่อนที่มาด้านหน้า การหมุนภายนอกมีประมาณ 11 ถึง 12 องศา ก่อให้เกิดการเคลื่อนที่ถอยไปข้างหลัง เมื่อทำการสังเกตในบุคคลปกติตั้งแต่วัยเด็กสู่วัยผู้ใหญ่พบว่าผลรวมทั้งหมดของการหมุนทั้งสองชนิดนี้ทำให้เกิดการลดมุมระนาบขากรรไกรล่างลงไป 3 ถึง 4 องศา

ในบุคคลที่มีใบหน้าสั้น (brachyfacial) เมื่อพิจารณาความสูงทางด้านหน้า (anterior face height) ที่สั้นกว่าปกติ จะพบว่ามีการเคลื่อนที่มาข้างหน้าของขากรรไกรล่างมากเกินไปในขณะที่เจริญเติบโต ทำให้มีการหมุนภายในเพิ่มขึ้น แต่การหมุนภายนอกลดลง เป็นผลให้ระนาบขากรรไกรบนและล่างค่อนข้างขนานกัน มีลักษณะใบหน้าเป็นสี่เหลี่ยม มีมุมระนาบขากรรไกรล่างแคบ และมีมุมโกเนียล (gonial angle) ที่ค่อนข้างฉาก มักพบการสบฟันลึกร่วมกับฟันหน้าซ้อนเกด้วย

ในบุคคลที่มีใบหน้านยาว (dolichofacial) ระนาบขากรรไกรบนมักจะหมุนในทิศทางที่กดด้านหลังลงต่ำทำให้เกิดค่าทิศทางเป็นลบกับแนวระนาบ และขากรรไกรล่างกลับมีการเคลื่อนที่ถอยไปด้านหลังโดยเพิ่มมุมระนาบขากรรไกรล่าง การเปลี่ยนแปลงของขากรรไกรบนนี้เริ่มจากการขาดการเคลื่อนที่มาข้างหน้าอย่างปกติ อาจมีการหมุนไปข้างหลังร่วมด้วย นอกจากนั้นการหมุนภายในส่วนใหญ่ของขากรรไกรล่างจะเกิดจากการหมุนของเมทริกซ์ของคอนดอยล์แทนที่จะเป็นการหมุนภายในเมทริกซ์ ทำให้เกิดการสบฟันเปิด (open bite) และขากรรไกรล่างมีขนาดเล็กกว่าปกติ เนื่องจากคางถอยลงล่างและไปด้านหลัง การถอยหลังของขากรรไกรล่างจะพบได้ในผู้ป่วยที่มีความผิดปกติหรือมีการเปลี่ยนแปลงทางพยาธิวิทยาของข้อต่อขากรรไกร ซึ่งจำกัดการเจริญของคอนดอยล์

ความสัมพันธ์ระหว่างการหมุนของชากรรไกรและการขึ้นของฟัน

การเจริญของชากรรไกรทั้งบนและล่างจะเป็นการเตรียมช่องว่างสำหรับให้ฟันขึ้น
คู่ชากรรไกรได้ รูปแบบการหมุนของชากรรไกรจะส่งผลถึงทิศทางการขึ้นของฟันและตำแหน่งใน
แนวหน้าและหลังของฟันด้วย

ทิศทางการขึ้นของฟันล่างจะอยู่ในแนวตั้งขึ้นและมาข้างหน้าเล็กน้อย การหมุน
อย่างปกติของชากรรไกรล่างจะทำให้ชากรรไกรล่างเคลื่อนมาข้างหน้าในทิศทางตามเข็มนาฬิกา
และเปลี่ยนทิศทางการขึ้นของฟันหน้าล่างให้ค่อนไปทางด้านหลัง เนื่องจากการหมุนภายในของ
ชากรรไกรล่างมีแนวโน้มที่จะตั้งฟันหน้าล่าง แต่ฟันกรามมักจะเคลื่อนมาทางใกล้กลางมากกว่าฟัน
หน้า จึงทำให้เกิดการลดความยาวของส่วนโค้งแนวฟัน เนื่องจากการหมุนภายในของการเคลื่อน
มาข้างหน้าของชากรรไกรล่างมีมากกว่าชากรรไกรบน การลดความยาวของส่วนโค้งแนวฟันใน
ชากรรไกรล่างจึงมากกว่าในชากรรไกรบน การศึกษาโดยการฝังโลหะทำให้ทราบว่า การลดความ
ยาวส่วนโค้งแนวฟันเกิดจากการเคลื่อนที่มาจากด้านใกล้ลิ้นของฟันตัดมากกว่าที่จะเกิดจากการ
เคลื่อนมาทางด้านใกล้กลางของฟันกราม

ศูนย์วิทยทรัพยากร
จุฬาลงกรณ์มหาวิทยาลัย

บทที่ 3

วิธีดำเนินการวิจัย

ประชากร

ประชากร (population) คือ ผู้ป่วยที่มารับการรักษาทางทันตกรรมจัดฟันในคณะทันตแพทยศาสตร์ จุฬาลงกรณ์มหาวิทยาลัย ตั้งแต่ปีพ.ศ. 2524 ถึง 2552

กลุ่มตัวอย่าง

กลุ่มตัวอย่าง (sample) ใช้เทคนิคการสุ่มตัวอย่างจากประชากรตัวอย่างแบบเฉพาะเจาะจง (purposive sampling) ตามเกณฑ์กำหนด เป็นจำนวน 2,500 คน โดยมีเกณฑ์การคัดเลือก (inclusion criteria) ดังต่อไปนี้

- ไม่เคยได้รับการรักษาทางทันตกรรมจัดฟันหรือศัลยกรรมจัดกระดูกขากรรไกร (orthognathic surgery)
- ไม่มีโรคทางระบบ โรคทางพันธุกรรม เช่น ปากแหว่งเพดานโหว่ และไม่เคยได้รับอุบัติเหตุอันก่อให้เกิดความผิดปกติในการเจริญของขากรรไกร
- เป็นผู้ป่วยที่มีข้อมูลภาพรังสีเพโนรามา ภาพถ่ายรังสีวัดศีรษะด้านข้าง และแบบจำลองฟันก่อนรับการรักษาครบถ้วนในแฟ้มประวัติ

ผู้ป่วยที่ใช้ในการศึกษา

แบ่งเป็นผู้ป่วยที่มีฟันกรามแท้ซี่ที่สองล่างคุดแบบชน และผู้ป่วยกลุ่มที่ไม่มีฟันกรามแท้ซี่ที่สองล่างคุดแบบชนเพื่อเป็นกลุ่มควบคุม

1. ผู้ป่วยที่มีฟันกรามแท้ซี่ที่สองล่างคุดแบบชน คัดจากกลุ่มตัวอย่างจำนวน 2,500 คน เพื่อนับจำนวนคำนวณหาความชุก โดยใช้เทคนิคการสุ่มตัวอย่างแบบเฉพาะเจาะจงตามเกณฑ์กำหนด โดยมีเกณฑ์การคัดเลือกดังต่อไปนี้

- ในภาพรังสีแพโนรามา พบฟันกรามแท้ซี่ที่สองล่างเอียงตัวในทิศใกล้กลาง และชนกับตัวฟันกรามแท้ซี่ที่หนึ่งล่าง ทำให้ไม่สามารถขึ้นต่อจนถึงระนาบสบฟันตามปกติ
 - ฟันกรามแท้ซี่ที่สองล่างซี่นั้น ๆ มีการสร้างรากฟันไม่น้อยกว่าสองในสามของความยาวรากฟัน
 - ในจุดภาคที่มีฟันกรามแท้ซี่ที่สองล่างคุดแบบชน ต้องมีฟันแท้ขึ้นครบทุกซี่ (ยกเว้นฟันกรามแท้ซี่ที่สามล่าง) และไม่เหลือช่องลิเวียให้ฟันกรามแท้ซี่ที่หนึ่งล่างเคลื่อนไปในทิศใกล้กลางได้อีก
 - ในขากรรไกรบนมีฟันกรามแท้ซี่ที่สองบนขึ้นสู่ช่องปากแล้ว
2. ผู้ป่วยกลุ่มควบคุม โดยสุ่มผู้ป่วยที่ไม่มีฟันกรามแท้ซี่ที่สองล่างคุดแบบชน จากกลุ่มตัวอย่างมาเป็นจำนวนพอ ๆ กับจำนวนผู้ป่วยที่มีฟันกรามแท้ซี่ที่สองล่างคุดแบบชนเพื่อใช้เป็นกลุ่มควบคุมในการวิเคราะห์ทางสถิติ

ศูนย์วิทยทรัพยากร
จุฬาลงกรณ์มหาวิทยาลัย

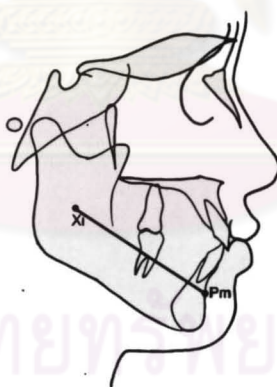
ตัวแปรในการวิจัย

1. ตัวแปรอิสระ

คือองค์ประกอบต่าง ๆ ของขากรรไกรล่าง วัดค่าเป็นมุมและระยะทางจากส่วนต่าง ๆ ของขากรรไกรล่าง ตามเกณฑ์การวิเคราะห์หลายแบบ เป็นมาตรวัดระดับอัตราส่วน (ratio scale) ได้แก่

1.1 องค์ประกอบของขากรรไกรล่างที่วัดค่าจากภาพรังสี

1.1.1 ความยาวคอร์ปัส (corpus length) (Xi-Pm) (มิลลิเมตร)
ตามเกณฑ์การวัดของ Ricketts เป็นระยะทางระหว่างจุด Xi กับจุด Pm ค่านี้ใช้ประเมินความยาวของขากรรไกรล่าง โดยพิจารณาจากความยาวของขากรรไกรในแต่ละเพศและช่วงอายุ (รูปที่ 2)



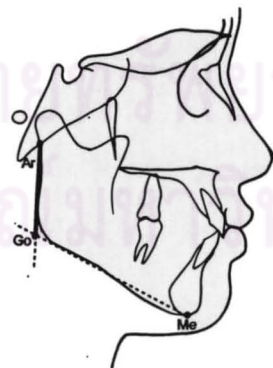
รูปที่ 2 ความยาวคอร์ปัส (corpus length) (Xi-Pm) (มิลลิเมตร)

1.1.2 ความยาวขากรรไกรล่าง (effective length of mandible) (Co-Gn) (มิลลิเมตร) ตามเกณฑ์การวัดของ McNamara เป็นระยะระหว่างจุด condyilion กับจุด gnathion แสดงถึงความยาวของขากรรไกรล่าง (รูปที่ 3)



รูปที่ 3 ความยาวขากรรไกรล่าง (effective length of mandible) (Co-Gn) (มิลลิเมตร)

1.1.3 ความสูงขากรรไกรล่างส่วนท้ายพินแกรม (ramus height) (Ar-Go) (มิลลิเมตร) ตามเกณฑ์การวัดของ Bjork-Jarabak เป็นระยะทางระหว่างจุด articulare และ gonion แสดงความสูงส่วนขากรรไกรล่างส่วนท้ายพินแกรม ของขากรรไกรล่าง (รูปที่ 4)



รูปที่ 4 ความสูงขากรรไกรล่างส่วนท้ายพินแกรม (ramus height) (Ar-Go) (มิลลิเมตร)

1.1.4 ความยาวขากรรไกรล่างส่วนลำตัว (mandibular body length) (Go-Me) (มิลลิเมตร) ตามเกณฑ์การวัดของ Bjork-Jarabak เป็นระยะทางระหว่างจุด gonion และ menton แสดงความยาวของขากรรไกรล่าง (รูปที่ 5)



รูปที่ 5 ความยาวขากรรไกรล่างส่วนลำตัว (mandibular body length) (Go-Me) (มิลลิเมตร)

1.1.5 มุมแมนดิบิวลาร์อาร์ค (mandibular arc) (องศา) ตามเกณฑ์การวัดของ Ricketts คือมุมระหว่าง corpus axis (เส้นที่ลากจากจุด Xi และจุด Pm; protuberance menti) กับ condyle axis (เส้นที่ลากจากจุด Xi และจุด Dc ซึ่งเป็นจุดซึ่งอยู่ตรงกลางของระนาบ basion-nasion plane center of condylar head) ของขากรรไกรล่าง ถ้ามีค่ามากกว่าปกติโครงสร้างขากรรไกรมีลักษณะสบลึก (skeletal deep bite) ถ้ามีค่าน้อยกว่าปกติโครงสร้างขากรรไกรมีลักษณะสบเปิด (skeletal open bite) (รูปที่ 6)



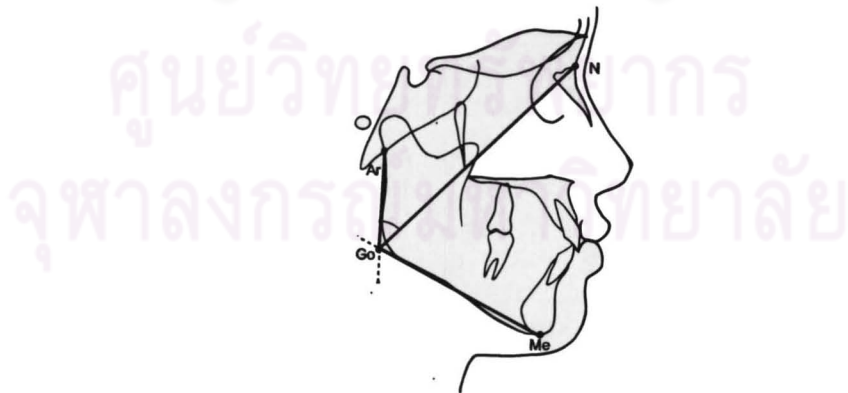
รูปที่ 6 มุมแมนดิบิวลาร์อาร์ค (mandibular arc)

1.1.6 มุมโกเนียด (gonial angle) (Ar-Go-Me) (องศา) ตามเกณฑ์การวัดของ Bjork-Jarabak เป็นมุมระหว่างจุด articulare, gonion และ menton แสดงถึงโครงสร้างใบหน้าในแนวตั้งที่ได้รับอิทธิพลจากรูปร่างของขากรรไกรล่าง (รูปที่ 7)



รูปที่ 7 มุมโกเนียด (gonial angle) (Ar-Go-Me) (องศา)

1.1.7 มุมโกเนียดส่วนบน (upper gonial angle) (Ar-Go-N) (องศา) ตามเกณฑ์การวัดของ Bjork-Jarabak เป็นมุมส่วนบนของ gonial angle ทั้งหมด วัดมุมระหว่างจุด articulare, gonion และ nasion (รูปที่ 8)



รูปที่ 8 มุมโกเนียดส่วนบน (upper gonial angle) (Ar-Go-N) (องศา)

1.1.8 มุมโกเนียลส่วนล่าง (lower gonial angle) (N-Go-Me) (องศา) ตามเกณฑ์การวัดของ Bjork-Jarabak เป็นมุมส่วนล่างของ gonial angle ทั้งหมด วัดมุมระหว่างจุด nasion, gonion และ menton (รูปที่ 9)



รูปที่ 9 มุมโกเนียลส่วนล่าง (lower gonial angle) (N-Go-Me) (องศา)

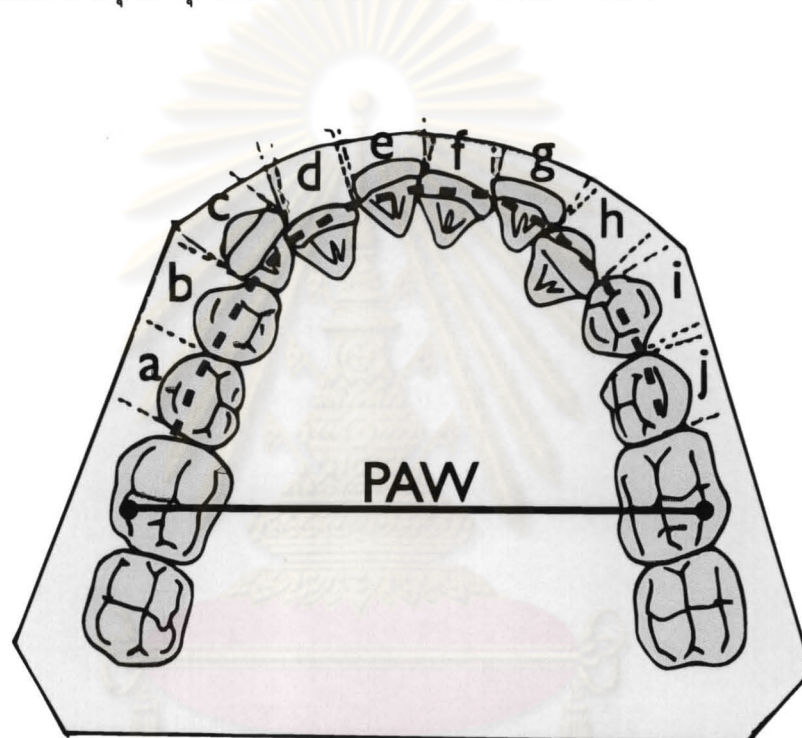
1.2 องค์ประกอบของขากรรไกรล่างที่วัดค่าจากแบบจำลองฟัน

1.2.1 ความยาวส่วนโค้งแนวฟันล่างเคลื่อนคลาด (lower arch length discrepancy) (มิลลิเมตร) หมายถึงความแตกต่างระหว่างผลรวมความกว้างของฟันแต่ละซี่ที่อยู่หน้าฟันกรามแท้ซี่ที่หนึ่ง (correct arch length) กับความยาวของส่วนโค้งแนวฟันที่ปรากฏ (clinical arch length) ในความเคลื่อนคลาดของส่วนโค้งแนวฟัน หากมีเครื่องหมายเป็นบวกแสดงว่ามีช่องว่างเหลืออยู่ในส่วนโค้งแนวฟัน หากมีเครื่องหมายเป็นลบแสดงว่ามีสภาพฟันซ้อนเกหรือขาดช่องว่างเพื่อให้ฟันเรียงตัวในส่วนโค้งแนวฟัน โดยวัดค่านี้ในแบบจำลองฟันก่อนการรักษา (รูปที่ 10)

1.2.2 ความกว้างส่วนหลังของส่วนโค้งแนวฟัน (posterior arch width หรือ PAW) (มิลลิเมตร) ตามเกณฑ์การวัดของ Korkhaus เป็นการวัดความกว้างส่วนโค้งแนวฟันระหว่างฟันกรามแท้ซี่ที่หนึ่งขวาไปยังฟันกรามแท้ซี่ที่หนึ่งซ้าย โดยในขากรรไกรล่างวัดระยะระหว่างยอดปุ่มฟันใกล้แก้มใกล้กลาง (distobuccal cusp) ของฟันกรามแท้ซี่ที่หนึ่งล่าง

ด้านซ้าย (#36) และฟันกรามแท้ซี่ที่หนึ่งล่างด้านขวา (#46) วัดค่านี้ในแบบจำลองฟันก่อนการรักษา (รูปที่ 10)

1.2.3 ขนาดโค้งสปี (curve of Spee) (มิลลิเมตร) วัดในแบบจำลองฟันล่างก่อนการรักษา โดยกำหนดเส้นสมมติซึ่งลากผ่านปลายฟันตัดซี่กลางล่างไปยังยอดปุ่มฟันด้านใกล้แก้มของฟันกรามแท้ซี่สุดท้ายในขากรรไกรล่าง ขนาดโค้งสปีคือความยาวของเส้นตั้งฉากซึ่งลากจากจุดลึกสุดของแนวฟันล่างไปยังเส้นสมมติดังกล่าว



รูปที่ 10 ความยาวส่วนโค้งแนวฟันล่างเคลื่อนคลาด คำนวณโดยความยาวส่วนโค้งแนวฟันล่างที่ปรากฏ (เส้นประ) ลบด้วย ผลรวมความกว้างของฟันแท้ล่างแต่ละซี่ที่อยู่หน้าฟันกรามแท้ซี่ที่หนึ่งล่าง ($a+b+c+d+e+f+g+h+i+j$), PAW คือ ความกว้างส่วนหลังของส่วนโค้งฟัน ตามเกณฑ์การวัดของ Korkhaus

2. ตัวแปรตาม

คือการจัดแบบชนของฟันกรามแท้ซี่ที่สองล่าง มีระดับการวัดแบบนามบัญญัติ (nominal scale) คือเป็นฟันชุดแบบชน หรือ ไม่เป็นฟันชุดแบบชน พิจารณาว่าเป็นฟันชุดแบบชน โดยในภาพรังสีแพโนรามาพบเป็นฟันที่ไม่สามารถใส่ฟันเห้งออก หรือใส่ฟันเห้งออกขึ้นมาบางส่วน

แต่มีการเอียงตัวในทิศทางใกล้กลางและชนกับตัวฟันกรามแท้ซี่ที่หนึ่งล่างทำให้ไม่สามารถขึ้นต่อจนถึงระนาบสบฟันตามปกติเพื่อทำหน้าที่บดเคี้ยวอย่างมีประสิทธิภาพได้ (8) มีการสร้างรากฟันไม่น้อยกว่าสองในสามของความยาวรากฟัน และไม่เหลือช่องลิเวียในจุดภาคเดียวกันให้ฟันกรามแท้ซี่ที่หนึ่งล่างเคลื่อนไปในทิศทางใกล้กลางได้อีก และฟันกรามแท้ซี่ที่สองบนขึ้นสู่ช่องปากแล้ว

3. ตัวแปรที่ต้องควบคุม

3.1 การวินิจฉัยสภาพการคุดแบบชนของฟันกรามแท้ซี่ที่สองล่างที่คลุมเครือ เช่นก่อนที่ฟันกรามแท้ซี่ที่สองล่างจะขึ้นสู่ช่องปาก จะมีการเอียงตัวในแนวใกล้กลางชนกับฟันกรามแท้ซี่ที่หนึ่งล่าง หากยังมีการสร้างรากไม่ถึงครึ่งหนึ่งของความยาวรากฟัน อาจยังเหลือ eruption force ขับดันให้ฟันงอกขึ้นสู่ช่องปากได้ในเวลาต่อมา โดยเฉพาะอย่างยิ่งเมื่อมีช่องลิเวียเหลืออยู่จากการที่ฟันกรามน้ำนมซี่ที่หนึ่งล่างและซี่ที่สองล่างยังไม่หลุดออกไป เพื่อเป็นการกำจัดตัวแปรดังกล่าว ผู้วิจัยได้กำหนดเกณฑ์การวินิจฉัยสภาพการคุดแบบชนของฟันกรามแท้ซี่ที่สองล่างจากภาพถ่ายรังสีไว้โดยเฉพาะเจาะจง ดังที่ได้แสดงไว้แล้วในส่วนของนิยามเชิงปฏิบัติ

3.2 การกำหนดจุดอ้างอิงทางกายวิภาค ในบางตำแหน่งอาจเกิดความผิดพลาดคลาดเคลื่อนในการกำหนดจุดได้สูง ควบคุมความผิดพลาดคลาดเคลื่อนโดยในขณะกำหนดจุดและบันทึกรอย (tracing) ภาพรังสีวัดศีรษะด้านข้าง ต้องจัดสภาพแวดล้อมให้เหมาะสม เช่นแสงสว่างที่เพียงพอจากกล่องดูฟิล์ม (view box) และมีนิยามชัดเจนและรัดกุมในการกำหนดจุด

3.3 คุณภาพของภาพรังสี โดยทั่วไปแล้วทางคลินิกรังสีวิทยามีการควบคุมมาตรฐานของการถ่ายภาพรังสี และการใช้ชนิดของฟิล์มที่มีความสอดคล้องกับอินเทนซิฟายอิง สกรีน (intensifying screen)

3.4 ความน่าเชื่อถือในการวัดของผู้วิจัย (intraoperator reliability) ควบคุมโดยทำการทดสอบความน่าเชื่อถือของผู้วิจัย ใน 10 ตัวอย่างที่สุ่มมาจากกลุ่มตัวอย่าง โดยกำหนดจุดอ้างอิงทางกายวิภาคและบันทึกรอยภาพรังสีวัดศีรษะด้านข้าง วัดค่ามุมและระยะต่าง ๆ รวมถึงค่าที่ต้องวัดในแบบจำลองฟันก่อนการรักษา ดังที่กล่าวไว้ในหัวข้อตัวแปรอิสระและตัวแปรตาม จัดกระทำซ้ำ 2 ครั้ง โดยผู้วัดคนเดียวกัน ห่างกัน 2 สัปดาห์ แล้วนำค่าที่วัดได้มาเปรียบเทียบกันโดยวิธีการทางสถิติ คือใช้การทดสอบสมมติฐานเกี่ยวกับผลต่างระหว่างค่าเฉลี่ยของสองประชากรแบบจับคู่ (paired t-test)

เครื่องมือที่ใช้ในการวิจัย

การวัดค่ามุมและระยะต่าง ๆ ตามหัวข้อตัวแปรอิสระและตัวแปรตามที่กล่าวในข้างต้น วัดจากแผ่นกระดาษอะซิเตทซึ่งบันทึกรอยภาพรังสีวัดศีรษะด้านข้าง และภาพรังสีแพโนรามมา ส่วนค่าที่เกี่ยวข้องกับขนาดของซี่ฟันและส่วนโค้งแนวฟันวัดจากแบบจำลองฟัน โดยใช้อุปกรณ์ต่าง ๆ ดังต่อไปนี้

- กระดาษอะซิเตท (acetate paper) ความหนา 0.003 นิ้ว
- ดินสอดำความเข้มระดับ 2 บี (2B) ขนาดเส้นผ่านศูนย์กลาง 0.5 มิลลิเมตร
- ไม้โปรแทรกเตอร์ วัดมุมได้ละเอียด 0.5 องศา และระยะทางได้ละเอียด 0.5

มิลลิเมตร

- กล่องดูฟิล์ม (view box) เลนส์ขยายและกระดาษบังแสง (masking paper)

สำหรับช่วยดูบริเวณอ้างอิงทางกายวิภาคที่ไม่ชัดเจน

- เทปขาว
- วงเวียนสองขาสำหรับวัดระยะ (divider)

การเก็บรวบรวมข้อมูล

สืบค้นแฟ้มประวัติของผู้ป่วยที่มารับการรักษาทางทันตกรรมจัดฟัน คณะทันตแพทยศาสตร์ จุฬาลงกรณ์มหาวิทยาลัย ตั้งแต่ปี พ.ศ. 2524 ถึง 2552 แล้ว ใช้เทคนิคการสุ่มตัวอย่างแบบเฉพาะเจาะจงตามเกณฑ์การคัดเลือก ซึ่งได้แก่

- ไม่เคยได้รับการรักษาทางทันตกรรมจัดฟันหรือศัลยกรรมจัดกระดูกขากรรไกร

- ไม่มีโรคทางระบบ โรคทางพันธุกรรม เช่น ปากแห้งเพดานโหว่ และไม่เคยได้รับอุบัติเหตุอันก่อให้เกิดความผิดปกติในการเจริญของขากรรไกร

- เป็นผู้ป่วยที่มีข้อมูลภาพรังสีแพโนรามมา (panoramic radiograph) ภาพถ่ายรังสีวัดศีรษะด้านข้าง (lateral cephalometric radiograph) และแบบจำลองฟันก่อนรับการรักษาครบถ้วนในแฟ้มประวัติ

โดยสุ่มมาเป็นจำนวนทั้งหมด 2500 คน จากนั้นค้นหาผู้ป่วยที่มีฟันกรามแท้ซี่ที่สองล่างคุดแบบชน โดยพิจารณาจากภาพรังสีแพโนรามาก่อนการรักษาเป็นหลัก แล้วนับจำนวนผู้ป่วยที่มีฟันกรามแท้ซี่ที่สองล่างคุดแบบชนทั้งหมด เพื่อคำนวณหาความชุก พิจารณาว่าเป็นฟันกรามแท้ซี่ที่สองล่างคุดแบบชนเมื่อพบว่า

- ฟันกรามแท้ซี่ที่สองล่างไม่สามารถโผล่พ้นเหงือก หรือโผล่พ้นเหงือกขึ้นมาบางส่วนแต่มีการเอียงตัวในทิศทางใกล้กลางและชนกับตัวฟันกรามแท้ซี่ที่หนึ่งล่างทำให้ไม่สามารถขึ้นต่อจนถึงระนาบสบฟันตามปกติเพื่อทำหน้าที่บดเคี้ยวอย่างมีประสิทธิภาพได้ (8)

- มีการสร้างรากฟันไม่น้อยกว่าสองในสามของความยาวรากฟัน
- ไม่เหลือช่องลิเวียในจุดภาคเดียวกันให้ฟันกรามแท้ซี่ที่หนึ่งล่างเคลื่อนไปในทิศทางใกล้กลางได้อีก

- มีฟันกรามแท้ซี่ที่สองบนขึ้นสู่ช่องปากแล้ว

หลังจากคัดแยกแถมประวัติผู้ป่วยที่มีฟันกรามแท้ซี่ที่สองล่างคุดแบบชนตามเกณฑ์กำหนดข้างต้นแล้ว วัดค่าความยาวส่วนโค้งแนวฟันเคลื่อนคลาด ความกว้างส่วนหลังของส่วนโค้งแนวฟันในขากรรไกรล่าง และขนาดโค้งสปีจากแบบจำลองฟัน บันทึกรอยภาพรังสีวัดศีรษะเพื่อวัดค่าต่าง ๆ และบันทึกผลการวัด

สุ่มตัวอย่างแบบง่าย (simple random sampling) จากกลุ่มที่ไม่มีฟันกรามแท้ที่สองล่างคุดแบบชนเพื่อใช้เป็นกลุ่มควบคุมในการวิเคราะห์ทางสถิติ โดยผู้วิจัยได้ศึกษานำร่อง (pilot study) พบว่ากลุ่มตัวอย่างที่มีฟันกรามแท้ซี่ที่สองล่างคุดแบบชนในคณะทันตแพทยศาสตร์ จุฬาลงกรณ์มหาวิทยาลัยอยู่ในช่วงอายุตั้งแต่ 10 ปีถึง 28 ปี ดังนั้นจึงสุ่มตัวอย่างแบบง่ายจากกลุ่มที่ไม่มีฟันกรามแท้ที่สองล่างคุดแบบชนในช่วงอายุตั้งแต่ 10 ปีถึง 28 ปี จำนวนพอ ๆ กับกลุ่มตัวอย่างที่มีฟันกรามแท้ซี่ที่สองล่างคุดแบบชน

จุฬาลงกรณ์มหาวิทยาลัย

การวิเคราะห์ข้อมูล

ข้อมูลที่ใช้ในการวิจัยแบ่งได้เป็นสองกลุ่มตามแหล่งที่มาของข้อมูล ได้แก่

1. ข้อมูลที่วัดมาจากแบบจำลองฟัน เป็นตัวแปรอิสระ ประกอบด้วย ความยาวส่วนโค้งแนวฟันล่างเคลื่อนคลาด ความกว้างส่วนหลังของส่วนโค้งแนวฟันในขากรรไกรล่าง และขนาดโค้งสปี เป็นข้อมูลเชิงปริมาณ มีมาตรวัดระดับอัตราส่วน

2. ข้อมูลที่วัดจากภาพรังสีวัดศีรษะด้านข้าง เป็นตัวแปรอิสระ ประกอบด้วย ค่ามุมและระยะ ซึ่งเป็นข้อมูลเชิงปริมาณ จากนั้นนำไปเปรียบเทียบกับค่าปกติ (norm) ของคนไทย โดยแยกประเภทตามอายุ เพศ และเกณฑ์การวัดแบบต่าง ๆ (32-34) เพื่อแปลงข้อมูลเป็นประเภทของความผิดปกติโครงสร้างขากรรไกรล่าง เช่น ความยาวของขากรรไกรล่างปกติ ยาวกว่าปกติ หรือสั้นกว่าปกติ ซึ่งจัดเป็นมาตรวัดในระดับนามบัญญัติ

ส่วนตัวแปรตามคือการคุดแบบขนของฟันกรามแท้ซี่ที่สองล่าง เป็นข้อมูลที่มีมาตรวัดระดับนามบัญญัติ ดังนั้นในการวิเคราะห์หาความสัมพันธ์ระหว่างตัวแปรอิสระแต่ละตัว และตัวแปรตาม จึงใช้การวิเคราะห์ความถดถอยโลจิสติกอย่างง่ายแบบสองกลุ่ม (binary simple logistic regression analysis) รวมทั้งแสดงข้อมูลสถิติเชิงพรรณนาด้วยโปรแกรมสำเร็จรูป SPSS 13.0 for windows

ศูนย์วิทยทรัพยากร
จุฬาลงกรณ์มหาวิทยาลัย

บทที่ 4

ผลการวิเคราะห์ข้อมูล

การวิเคราะห์ข้อมูล

ข้อมูลที่ใช้วิเคราะห์ในการศึกษานี้ ได้จากผู้ป่วยจัดฟันในภาควิชาทันตกรรมจัดฟัน คณะทันตแพทยศาสตร์ จุฬาลงกรณ์มหาวิทยาลัย เป็นจำนวน 96 คน ประกอบด้วยผู้ป่วยที่ไม่มีฟันกรามแท้ซี่ที่สองล่างชุดแบบชนจำนวน 47 คนเพื่อเป็นกลุ่มควบคุมในการวิเคราะห์ความถดถอยโลจิสติกอย่างง่ายแบบสองกลุ่ม และผู้ป่วยที่มีฟันกรามแท้ซี่ที่สองล่างชุดแบบชนจำนวน 48 คน ในจำนวนนี้มีผู้ป่วย 7 คนที่มีเพียงภาพถ่ายรังสีก่อนการรักษา แต่ไม่มีแบบจำลองฟันก่อนการรักษา แต่ผู้วิจัยยังคงเลือกผู้ป่วยทั้ง 7 คนนี้ไว้ใน การวิเคราะห์ข้อมูลจากภาพรังสีก่อนการรักษา เพื่อให้จำนวนตัวอย่างที่มีฟันกรามแท้ซี่ที่สองล่างชุดแบบชนมีจำนวนมากเพียงพอในการวิเคราะห์ความถดถอยโลจิสติก อย่างง่ายแบบสองกลุ่ม (ตารางที่ 1)

ตารางที่ 1 แสดงจำนวนของแหล่งข้อมูลจากตัวอย่างที่ใช้ในการศึกษานี้ แยกตามประเภทของแหล่งข้อมูล

| case | Lateral cephalometric radiograph | Panoramic radiograph | Dental cast |
|-----------|----------------------------------|----------------------|-------------|
| impaction | 48 | 48 | 41 |
| control | 47 | 47 | 47 |
| total | 95 | 95 | 88 |

ผลการทดสอบความน่าเชื่อถือภายในตัวผู้วิจัย

ทดสอบความน่าเชื่อถือในการวัดตัวแปร 11 ตัวแปรภายในตัวผู้วิจัยคนเดียวกัน ประกอบด้วย ตัวแปรที่วัดจากภาพรังสีวัดศีรษะด้านข้าง ได้แก่ ความยาวขากรรไกรล่าง ความยาวคอรีปัส ความสูงขากรรไกรล่างส่วนท้ายฟันกราม ความยาวขากรรไกรล่างส่วนลำตัว มุมแมนติบิวลาร์อาร์ค มุมโกเนียล มุมโกเนียลส่วนบน มุมโกเนียลส่วนล่าง และตัวแปรที่วัดจากแบบจำลองฟัน ได้แก่ ความยาวส่วนโค้งแนวฟันเคลือบคลาด ความกว้างส่วนหลังของส่วนโค้งแนวฟันล่าง และขนาดโค้งสปี

สถิติที่นำมาใช้ทดสอบ คือการทดสอบสมมติฐานเกี่ยวกับผลต่างระหว่างค่าเฉลี่ยของสองประชากรแบบจับคู่ (paired t-test)

ผลทดสอบความน่าเชื่อถือของผู้วิจัยในการวัดค่ามุมและระยะทางต่างๆบนภาพรังสีวัดศีรษะด้านข้าง โดยสุ่มตัวอย่างเลือกภาพรังสีมา 10 ภาพมาทดสอบโดยการเปรียบเทียบการวัดครั้งที่ 1 และ 2 ในผู้วิจัยคนเดียวกัน ซึ่งห่างกัน 2 สัปดาห์ ผลการทดสอบสถิติพบว่า การวัดครั้งที่ 1 และ 2 มีค่าสหสัมพันธ์มากกว่า 0.85 และมีความสัมพันธ์กันเชิงบวกทุกค่า (ตารางที่ 5 ในภาคผนวก) และผลการทดสอบสถิติการทดสอบสมมติฐานเกี่ยวกับผลต่างระหว่างค่าเฉลี่ยของสองประชากรแบบจับคู่ พบว่า การวัดครั้งที่ 1 และ 2 ไม่มีความแตกต่างกันอย่างมีนัยสำคัญที่ระดับนัยสำคัญ 0.05 ทั้ง 24 ค่า โดยที่ค่า p -value มากกว่า 0.2 ทุกค่า (ตารางที่ 5 ในภาคผนวก)

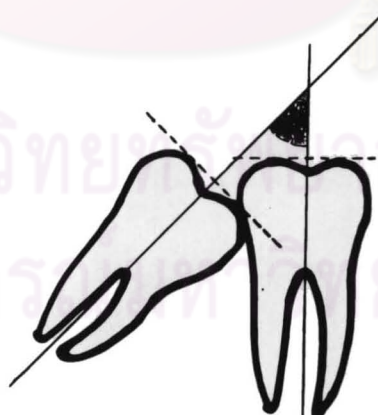
ผลการวิเคราะห์

พบผู้ป่วยมีฟันกรามแท้ซี่ที่สองล่างคุดแบบชนทั้งหมด 48 คนจาก 2,500 คน คิดเป็นความชุกร้อยละ 1.92 เป็นเพศหญิง 33 คน (ร้อยละ 68.75) และเพศชาย 15 คน (ร้อยละ 31.25) พบผู้ป่วยที่มีฟันกรามแท้ซี่ที่สองล่างคุดแบบชนด้านซ้ายด้านเดียว 15 คน (ร้อยละ 31.25) ด้านขวา ด้านเดียว 14 คน (ร้อยละ 29.17) และมีฟันกรามแท้ซี่ที่สองล่างคุดแบบชนทั้งด้านซ้ายและด้านขวา 19 คน (ร้อยละ 39.58) (ตารางที่ 2)

ตารางที่ 2 แสดงจำนวนและร้อยละของตัวอย่างที่มีฟันกรามแท้ซี่ที่สองล่างคุดแบบชน แยกตามเพศและด้านที่มีการคุดแบบชน

| The impaction of lower permanent second molar | Sex | | Side of the impaction of lower permanent second molar | | |
|---|-------|--------|---|-------|-------|
| | Male | Female | Left | Right | Both |
| n | 15 | 33 | 15 | 14 | 19 |
| % | 31.25 | 68.75 | 31.25 | 29.17 | 39.58 |

ในรายที่มีฟันกรามแท้ซี่ที่สองล่างคุดแบบชน มีการวัดมุมการคุดแบบชนระหว่างฟันกรามแท้ซี่ที่สองล่างและฟันกรามแท้ซี่ที่หนึ่งล่าง (angle of inclination of the impaction) จากภาพรังสีแพโนรามา โดยในฟันกรามแท้ล่างแต่ละซี่ ให้ลากเส้นแนวแกนกึ่งกลางฟันตั้งฉากกับเส้นสัมผัสยอดปุ่มฟันทั้งสองยอด มุมที่เกิดขึ้นระหว่างเส้นแนวแกนกึ่งกลางฟันทั้งสองเส้นดังกล่าวคือมุมการคุดแบบชนระหว่างฟันกรามแท้ซี่ที่สองล่างและฟันกรามแท้ซี่ที่หนึ่งล่าง (รูปที่ 11)



รูปที่ 11 มุมการคุดแบบชนระหว่างฟันกรามแท้ซี่ที่สองล่างและฟันกรามแท้ซี่ที่หนึ่งล่าง

มุมการคุดแบบชนระหว่างฟันกรามแท้ซี่ที่สองล่างและฟันกรามแท้ซี่ที่หนึ่งล่างในการศึกษาครั้งนี้มีพิสัยตั้งแต่ 9 องศา ถึง 90 องศา ฟันกรามแท้ซี่ที่สองล่างที่คุดแบบชนทุกซี่เข้าชนในทิศใกล้กลางกับฟันกรามแท้ซี่ที่หนึ่งล่าง ค่าเฉลี่ยมุมที่ฟันกรามแท้ซี่ที่สองล่างคุดแบบชนกระทำกับฟันกรามแท้ซี่ที่หนึ่งล่างในจุดภาค (quadrant) ที่ 3 เท่ากับ 37.69 องศา (ส่วนเบี่ยงเบนมาตรฐาน 16.63) ในจุดภาคที่ 4 เท่ากับ 37.86 องศา (ส่วนเบี่ยงเบนมาตรฐาน 15.10) ส่วนค่าเฉลี่ยที่ฟันกรามแท้ซี่ที่สองล่างคุดแบบชนกระทำกับฟันกรามแท้ซี่ที่หนึ่งล่างรวมทุกซี่ที่พบได้ในประชากรกลุ่มนี้คือ 37.58 องศา (ส่วนเบี่ยงเบนมาตรฐาน 15.81) (ตารางที่ 3)

ตารางที่ 3 แสดงค่าเฉลี่ย ส่วนเบี่ยงเบนมาตรฐาน ของมุมการคุดแบบชนระหว่างฟันกรามแท้ซี่ที่สองล่างและฟันกรามแท้ซี่ที่หนึ่งล่างแยกตามด้าน

| The impaction of lower permanent second molar | Angle of inclination of the impaction between lower permanent second molar and lower permanent first molar (degree) | |
|---|---|-------|
| | Mean | SD |
| Left side | 37.69 | 16.63 |
| Right side | 37.86 | 15.10 |
| Both sides | 37.58 | 15.81 |

ความสัมพันธ์ระหว่างตัวแปรอิสระแต่ละตัวกับการมีฟันกรามแท้ซี่ที่สองล่างคุดแบบชนแสดงในตารางที่ 4 โดยตัวแปรอิสระที่มีความสัมพันธ์ต่อภาวะฟันกรามแท้ซี่ที่สองล่างคุดแบบชนอย่างมีนัยสำคัญทางสถิติ ได้แก่

1. ความยาวขากรรไกรล่างส่วนลำตัวที่ยาวกว่าค่าปกติ
2. ความยาวส่วนโค้งแนวฟันล่างเคลื่อนคลาดที่มีค่าเป็นบวก (มีช่องห่างระหว่างซี่ฟันในส่วนโค้งแนวฟัน)
3. ความกว้างส่วนหลังของส่วนโค้งแนวฟันล่างกว้างกว่าค่าปกติ

4. ขนาดโค้งสปีมากกว่าปกติ

การศึกษาความสัมพันธ์ของตัวแปรอิสระแต่ละตัวที่กล่าวมาข้างต้น กับภาวะพืกรวมแท้ที่ที่สองล่างคุดแบบชน มีรายละเอียดดังต่อไปนี้

ความยาวขากรรไกรล่างส่วนลำตัว มีความสัมพันธ์ต่อภาวะพืกรวมแท้ที่ที่สองล่างคุดแบบชนอย่างมีนัยสำคัญทางสถิติ กล่าวคือผู้ป่วยที่มีความยาวขากรรไกรล่างส่วนลำตัวยาวกว่าค่าปกติจะมีโอกาสมีพืกรวมแท้ที่ที่สองล่างคุดแบบชนเป็น 4.267 เท่าของโอกาสที่จะไม่มีพืกรวมแท้ที่ที่สองล่างคุดแบบชน เมื่อเทียบกับผู้ป่วยที่มี ความยาวขากรรไกรล่างส่วนลำตัวปกติ (crude odd ratio = 4.267, $p = 0.010$) นั่นคือ ผู้ป่วยที่มีความยาวขากรรไกรล่างส่วนลำตัวยาวกว่าค่าปกติจะมีโอกาสมีพืกรวมแท้ที่ที่สองล่างคุดแบบชนเพิ่มขึ้น เมื่อเทียบกับผู้ป่วยที่มีความยาวขากรรไกรล่างส่วนลำตัวปกติ

ความยาวส่วนโค้งแนวฟันล่างเคลื่อนคลาด มีความสัมพันธ์ต่อภาวะพืกรวมแท้ที่ที่สองล่างคุดแบบชนอย่างมีนัยสำคัญทางสถิติ กล่าวคือผู้ป่วยที่มีค่าความยาวส่วนโค้งแนวฟันล่างเคลื่อนคลาดที่มีค่าเป็นบวก (มีช่องห่างระหว่างซี่ฟันในส่วนโค้งแนวฟัน) จะมีโอกาสมีพืกรวมแท้ที่ที่สองล่างคุดแบบชนเป็น 0.093 เท่าของโอกาสที่จะไม่มีพืกรวมแท้ที่ที่สองล่างคุดแบบชน เมื่อเทียบกับผู้ป่วยที่มีฟันเรียงตัวปกติ (crude odd ratio = 0.093, $p = 0.039$) หรืออีกนัยหนึ่งคือจะมีโอกาสไม่มีพืกรวมแท้ที่ที่สองล่างคุดแบบชนเป็น 10.75 เท่าของโอกาสที่จะมีพืกรวมแท้ที่ที่สองล่างคุดแบบชน เมื่อเทียบกับผู้ป่วยที่มีฟันเรียงตัวปกติ (crude odd ratio = 10.75, $p = 0.039$) นั่นคือ ผู้ป่วยฟันห่างจะมีโอกาสมีพืกรวมแท้ที่ที่สองล่างคุดแบบชนลดลง เมื่อเทียบกับผู้ป่วยที่ฟันเรียงตัวเป็นปกติ

ความกว้างส่วนหลังของส่วนโค้งแนวฟันล่าง มีความสัมพันธ์ต่อภาวะพืกรวมแท้ที่ที่สองล่างคุดแบบชนอย่างมีนัยสำคัญทางสถิติ กล่าวคือผู้ป่วยที่มีความกว้างส่วนหลังของส่วนโค้งแนวฟันล่างกว้างกว่าค่าปกติจะมีโอกาสมีพืกรวมแท้ที่ที่สองล่างคุดแบบชนเป็น 2.969 เท่าของโอกาสที่จะไม่มีพืกรวมแท้ที่ที่สองล่างคุดแบบชน เมื่อเทียบกับผู้ป่วยที่มีความกว้างส่วนหลังของส่วนโค้งแนวฟันล่างปกติ (crude odd ratio = 2.969, $p = 0.031$) นั่นคือ ผู้ป่วยที่มีความกว้างส่วนหลังของส่วนโค้งแนวฟันล่างกว้างกว่าค่าปกติจะมีโอกาสมีพืกรวมแท้ที่ที่สองล่างคุดแบบชนเพิ่มขึ้น เมื่อเทียบกับผู้ป่วยที่มีความกว้างส่วนหลังของส่วนโค้งแนวฟันล่างปกติ

ขนาดโค้งสปี มีความสัมพันธ์ต่อภาวะฟันกรามแท้ซี่ที่สองล่างชุดแบบชนอย่างมีนัยสำคัญทางสถิติ กล่าวคือผู้ที่มีขนาดโค้งสปีมากกว่าปกติ (deep curve of Spee) จะมีโอกาสที่จะมีฟันกรามแท้ซี่ที่สองล่างชุดแบบชนเป็น 0.116 เท่าของโอกาสที่จะไม่มีฟันกรามแท้ซี่ที่สองล่างชุดแบบชน เมื่อเทียบกับผู้ป่วยที่มีขนาดโค้งสปีปกติ (crude odd ratio = 0.116, $p \leq 0.001$) หรืออีกนัยหนึ่งคือจะมีโอกาสที่จะไม่มีฟันกรามแท้ซี่ที่สองล่างชุดแบบชนเป็น 8.62 เท่าของโอกาสที่จะมีฟันกรามแท้ซี่ที่สองล่างชุดแบบชน เมื่อเทียบกับผู้ป่วยที่มีขนาดโค้งสปีปกติ (crude odd ratio = 8.62, $p \leq 0.001$) นั่นคือ ผู้ป่วยที่มีขนาดโค้งสปีมากกว่าปกติจะมีโอกาสมีฟันกรามแท้ซี่ที่สองล่างชุดแบบชนลดลง เมื่อเทียบกับผู้ป่วยที่มีขนาดโค้งสปีปกติ

ส่วนตัวแปรอิสระที่มีไม่มีความสัมพันธ์ต่อภาวะฟันกรามแท้ซี่ที่สองล่างชุดแบบชนอย่างมีนัยสำคัญทางสถิติ ได้แก่

1. ความยาวขากรรไกรล่าง
2. ความยาวคอรีปัส
3. ความสูงของขากรรไกรล่างส่วนท้ายฟันกราม
4. มุมแมนดิบิวลาร์อาร์ค
5. มุมโกเนียล
6. มุมโกเนียลส่วนบน
7. มุมโกเนียลส่วนล่าง

ศูนย์วิทยุทันตวิทยา
จุฬาลงกรณ์มหาวิทยาลัย

ตารางที่ 4 แสดงจำนวนเป็นร้อยละของตัวแปรอิสระทั้งหมดในการศึกษานี้ แยกตามลักษณะของกลุ่มตัวอย่าง และอัตราของความสัมพันธ์ระหว่างตัวแปรอิสระแต่ละตัวกับการมีฟันกรามแท้ซี่ที่สองล่างคู่แบบชน (L7 หมายถึงฟันกรามแท้ซี่ที่สองล่าง)

| Parameters | % of characteristics | | Relationship to the impaction of L7 | |
|--------------------------------------|----------------------|------|-------------------------------------|---------|
| | | | Crude odd ratio | p-value |
| Effective length of mandible (Co-Gn) | Normal | 58.9 | - | - |
| | Increased | 18.9 | 2.6 | 0.105 |
| | Decreased | 22.1 | 0.5 | 0.195 |
| Corpus length (Xi-Pm) | Normal | 71.6 | - | - |
| | Increased | 13.7 | 1.8 | 0.343 |
| | Decreased | 14.7 | 1.5 | 0.494 |
| Ramus height (Ar-Go) | Normal | 62.1 | - | - |
| | Increased | 24.2 | 1.722 | 0.277 |
| | Decreased | 13.7 | 0.949 | 0.932 |
| Mandibular body length (Go-Me) | Normal | 73.7 | - | - |
| | Increased | 22.1 | 4.267 | 0.010* |
| | Decreased | 4.2 | 1.333 | 0.780 |
| Mandibular arc | Mesofacial | 53.7 | - | - |
| | Dolichofacial | 30.5 | 0.750 | 0.630 |
| | Brachyfacial | 15.8 | 1.841 | 0.198 |
| Gonial angle (Ar-Go-Me) | Normal bite | 49.5 | - | - |
| | Open bite | 46.3 | 0.880 | 0.902 |
| | Deep bite | 4.2 | 0.083 | 0.603 |
| Upper gonial angle (Ar-Go-N) | Normal | 49.5 | - | - |
| | Increased | 11.6 | 2.579 | 0.172 |
| | Decreased | 38.9 | 2.161 | 0.085 |
| Lower gonial angle (N-Go-Me) | Normal | 45.3 | - | - |
| | Increased | 16.8 | 1.048 | 0.937 |
| | Decreased | 37.9 | 1.171 | 0.727 |
| Lower arch length discrepancy | Normal | 31.8 | - | - |
| | Spacing | 8.0 | 0.093 | 0.039* |
| | Crowding | 60.2 | 0.394 | 0.054 |
| Posterior arch width | Normal | 46.6 | - | - |
| | Increased | 33.0 | 2.969 | 0.031* |
| | Decreased | 20.5 | 0.781 | 0.678 |
| Curve of Spee | Normal | 61.4 | - | - |
| | Excessive | 38.6 | 0.116 | ≤0.001* |
| | Recessive | 0.0 | - | - |

*p<0.05

บทที่ 5

สรุปผลการวิจัย อภิปรายผล และข้อเสนอแนะ

สรุปผลการวิจัย

ความชุกของการมีฟันกรามแท้ซี่ที่สองล่างที่คุดแบบชนในกลุ่มผู้ป่วยที่มารับการ
รักษาทางทันตกรรมจัดฟันใน คณะทันตแพทยศาสตร์ จุฬาลงกรณ์มหาวิทยาลัย คิดเป็นร้อยละ
1.92

องค์ประกอบของขากรรไกรล่างที่มีความสัมพันธ์กับภาวะฟันกรามแท้ซี่ที่สองล่าง
คุดแบบชนอย่างมีนัยสำคัญทางสถิติที่ระดับนัยสำคัญ 0.05 ได้แก่

1. ความยาวขากรรไกรล่างส่วนลำตัวที่ยาวกว่าค่าปกติ
2. ความยาวส่วนโค้งแนวฟันล่างเคลื่อนคลาดที่มีค่าเป็นบวก (มีช่องห่างระหว่าง
ซี่ฟันในส่วนโค้งแนวฟัน)
3. ความกว้างส่วนหลังของส่วนโค้งแนวฟันล่างกว้างกว่าค่าปกติ
4. ขนาดโค้งสปีมากกว่าปกติ

อภิปรายผลการวิจัย

ความชุกของภาวะฟันกรามแท้ซี่ที่สองล่างคุดแบบชนในการศึกษานี้ คิดเป็นร้อยละ
1.92 ซึ่งใกล้เคียงกับงานวิจัยของ Cho และคณะ(12)ที่ศึกษาหาความชุกของภาวะฟันกราม
แท้ซี่ที่สองล่างคุดแบบชนในเด็กวัยเรียนเชื้อชาติจีน พบว่ามีความชุกร้อยละ 1 ในจำนวน 3053 ราย
ในขณะที่การสำรวจหาความชุกของฟันกรามแท้ซี่ที่สองล่างคุดแบบชนในทหารของกองทัพ
สหรัฐอเมริกาจำนวน 5000 ราย มีเพียงร้อยละ 0.06(35) และจากการการศึกษาอื่น ๆ มีข้อสรุปว่า
ความชุกของภาวะฟันกรามแท้ซี่ที่สองล่างคุดแบบชนมีตั้งแต่ร้อยละ 0 จนถึงร้อยละ 2.3(20, 36)
จากการศึกษาครั้งนี้พบผู้ป่วยที่มีฟันกรามแท้ซี่ที่สองล่างคุดแบบชน เป็นเพศหญิง ร้อยละ 68.75
และเพศชาย ร้อยละ 31.25 โดยไม่มีความแตกต่างกันอย่างมีนัยสำคัญทางสถิติ ซึ่งแตกต่างจาก
งานวิจัยของ Shapira และคณะ(18) ที่รายงานพบว่าพบภาวะฟันกรามแท้ซี่ที่สองล่างคุดแบบชนใน
เพศชายมากกว่าเพศหญิง อาจเนื่องมาจากผู้ป่วยเพศชายไทยที่มีฟันกรามแท้ซี่ที่สองล่างคุดแบบ
ชน ไม่สนใจที่จะเข้ารับการรักษาทางทันตกรรมจัดฟัน จึงทำให้สำรวจพบได้น้อยกว่าเพศหญิง

พบผู้ป่วยที่มีฟันกรามแท้ซี่ที่สองล่างคุดแบบขนชนิดเป็นข้างเดียว (unilateral impaction) ร้อยละ 60.42 (ข้างซ้ายร้อยละ 31.25 และข้างขวาร้อยละ 29.17) และชนิดเป็นทั้งสองข้าง (bilateral impaction) ร้อยละ 39.58 สอดคล้องกับที่ Shapira และคณะ(18) ได้รายงานว่าพบฟันกรามแท้ซี่ที่สองล่างคุดแบบขนชนิดข้างเดียวได้มากกว่าชนิดสองข้าง

ฟันกรามแท้ซี่ที่สองล่างคุดแบบขนของตัวอย่างทั้งหมดในการศึกษานี้เข้าชนกับฟันกรามแท้ซี่ที่หนึ่งล่างในแนวเฉียงทิศใกล้กลาง หรือแนวนอน โดยไม่มีการคุดแบบขนทิศใกล้กลางเลย ซึ่งสอดคล้องกับงานวิจัยของ Varpio และคณะ(4) ที่สันนิษฐานว่าหน่อฟันกรามแท้ซี่ที่สองล่างวางตัวอยู่ในแนวเฉียงทิศใกล้กลางอยู่แล้ว ในช่วงกำลังพัฒนาอยู่ในขากรรไกรล่าง

การศึกษาค้นคว้าครั้งนี้คณะผู้วิจัยสนใจศึกษาถึงองค์ประกอบของขากรรไกรล่างเท่านั้น ไม่ได้มุ่งสนใจถึงความสัมพันธ์ของขากรรไกรล่างและขากรรไกรบน โดยเมื่อวัดความยาวของขากรรไกรล่างตามเกณฑ์การวัดแบบต่าง ๆ ในกลุ่มตัวอย่างที่มีฟันกรามแท้ซี่ที่สองล่างคุดแบบขนพบว่า มีกลุ่มตัวอย่างที่มีขนาดของขากรรไกรล่างปกติเป็นจำนวนมากที่สุด (ตารางที่ 4) แต่หากพิจารณาความสัมพันธ์ของขากรรไกรบนและล่าง (มุม ANB ตามเกณฑ์การวัดของ Steiner) พบว่า กลุ่มตัวอย่างที่มีฟันกรามแท้ซี่ที่สองล่างคุดแบบขนในการศึกษานี้มีความสัมพันธ์ของขากรรไกรบนและขากรรไกรล่างประเภท II เป็นจำนวนมากที่สุด คือร้อยละ 43.75 ส่วนประเภท I ร้อยละ 37.5 และประเภท III ร้อยละ 18.75 สอดคล้องกับการศึกษาของ Vedtofte และคณะ(7) ที่รายงานว่าผู้ป่วยที่มีฟันกรามแท้ซี่ที่สองล่างคุดแบบขนมักมีความสัมพันธ์ของขากรรไกรบนและขากรรไกรล่างเป็นประเภท II อย่างไรก็ตาม ความสัมพันธ์ของขากรรไกรบนและขากรรไกรล่างประเภท II ไม่ได้บ่งบอกถึงรูปร่างและขนาดของขากรรไกรล่างโดยตรง เนื่องจากความสัมพันธ์ประเภท II อาจเกิดจากขากรรไกรล่างมีขนาดและ/หรือตำแหน่งปกติ แต่ขากรรไกรบนมีขนาดใหญ่กว่าปกติหรือมีตำแหน่งอยู่หน้ากว่าปกติ(37) แตกต่างจากการศึกษาของ Cho และคณะ(12) ที่พบว่ากลุ่มตัวอย่างที่เป็นเด็กวัยเรียนเชื้อชาติจีนที่มีฟันกรามแท้ซี่ที่สองล่างคุดแบบขนมีการสบฟันแบบแองเกิลประเภท III (Angle Class III) มากที่สุด อย่างไรก็ตาม Cho และคณะไม่ได้พิจารณาความสัมพันธ์ของขากรรไกรบนและล่างจากภาพรังสีวัดศีรษะด้านข้าง และลักษณะการสบฟันแบบแองเกิลประเภท III พบได้บ่อยในประชากรจีนมากกว่าประชากรคอเคเซียน

การพิจารณารูปร่างและขนาดของขากรรไกรล่างที่เกี่ยวข้องกับภาวะฟันกรามแท้ซี่ที่สองล่างคุดแบบขน ในการศึกษานี้พบว่า มุมโกเนียลไม่มีความสัมพันธ์อย่างมีนัยสำคัญทางสถิติกับภาวะฟันกรามแท้ซี่ที่สองล่างคุดแบบขน ส่วนการศึกษาของ Vedtofte และคณะ(7) ได้รายงานว่ารูปร่างของขากรรไกรล่างของผู้ป่วยที่มีฟันกรามแท้ซี่ที่สองล่างคุดแบบขนมีลักษณะของ

มุมโกเนี่ยลเล็กกว่ากลุ่มควบคุม ซึ่งแสดงลักษณะของผู้ที่มีใบหน้าสั้น และรูปแบบการเจริญเติบโต มีแนวโน้มเป็นภาวะการสบฟันลึก มีการสบฟันที่แน่นสนิท หรือมีการสบฟันขัด (locked occlusion) ระหว่างฟันล่างและฟันบน ทำให้ฟันในขากรรไกรล่างถูกตรึงอยู่กับที่ ในขณะที่ขากรรไกรล่างยังสามารถเจริญเติบโตต่อไปได้ ทำให้ความยาวของขากรรไกรล่างส่วนลำตัวไม่สัมพันธ์กับความยาวส่วนโค้งแนวฟันล่าง โดยเกิดการจำกัดเนื้อที่ของส่วนโค้งแนวฟันล่างในแนวหน้าหลัง และอาจส่งผลกระทบต่อเนื้อที่สำหรับการขึ้นของฟันกรามแท้ซี่ที่สองล่างซึ่งขึ้นในช่วงที่ผู้ป่วยกำลังมีการเจริญของขากรรไกรล่าง ซึ่งในการศึกษาคั้งนี้พบว่าผู้ป่วยที่มีความยาวขากรรไกรล่างส่วนลำตัว ยาวกว่าค่าปกติจะมีโอกาสมีฟันกรามแท้ซี่ที่สองล่างรูปแบบขนเพิ่มขึ้น เมื่อเทียบกับผู้ป่วยที่มีความยาวขากรรไกรล่างส่วนลำตัวปกติ

ฟันซ้อนเกเป็นสาเหตุสำคัญของการเกิดฟันกรามแท้ซี่ที่สองล่างรูปแบบขน(3-5) ซึ่งในการศึกษาของ Magnusson และคณะ(10) พบว่าตัวอย่างที่มีฟันกรามแท้ซี่ที่สองล่างรูปแบบขนที่มีฟันซ้อนเกร่วมด้วยร้อยละ 70 ของกลุ่มตัวอย่างทั้งหมด เช่นเดียวกับการศึกษาของ Cho และคณะ(12) ที่พบตัวอย่างลักษณะเดียวกันร้อยละ 63 ของกลุ่มตัวอย่างทั้งหมด ส่วนการศึกษาครั้งนี้ ซึ่งไม่ได้มุ่งเน้นหาสาเหตุของการเกิดฟันกรามแท้ซี่ที่สองล่างรูปแบบขน แต่มุ่งศึกษาความสัมพันธ์ของแต่ละองค์ประกอบของขากรรไกรล่างที่มีต่อภาวะฟันกรามแท้ซี่ที่สองล่างรูปแบบขน พบตัวอย่างที่มีฟันกรามแท้ซี่ที่สองล่างรูปแบบขนที่มีฟันซ้อนเกร่วมด้วยร้อยละ 53.6

Evans(3), Varpio และคณะ(4) รายงานว่าการมีฟันซ้อนเกทั่วไปในขากรรไกรล่าง และฟันซ้อนเกในบริเวณฟันกรามแท้ มีความสัมพันธ์กับภาวะฟันกรามแท้ซี่ที่สองล่างรูปแบบขน แต่ Shapira และคณะ(18) กล่าวว่า การขาดเนื้อที่ว่างในส่วนโค้งแนวฟันล่างไม่ใช่สาเหตุหลักของการเกิดฟันกรามแท้ซี่ที่สองล่างรูปแบบขนเสมอไป แต่มักเกี่ยวกับการมีช่องห่าง ระหว่างหน่อฟันกรามแท้ซี่ที่สองล่างที่กำลังเจริญและฟันกรามแท้ซี่ที่หนึ่งล่าง เนื่องจากส่วนตัวฟันของฟันกรามแท้ซี่ที่สองล่างต้องอาศัยรากฟันด้านไกลกลางของฟันกรามแท้ซี่ที่หนึ่งล่างเป็นแนวนำให้มันสามารถขึ้นมาได้อย่างถูกต้อง(18) ซึ่งแตกต่างจากการศึกษาของ Cho และคณะ(12) ที่พบว่าไม่มีตัวอย่างที่มีฟันกรามแท้ซี่ที่สองล่างรูปแบบขนปรากฏช่องห่างทั่วไปในส่วนโค้งแนวฟันล่าง รวมถึงช่องห่างระหว่างฟันกรามแท้ซี่ที่หนึ่งและสอง การศึกษาคั้งนี้มีผู้ป่วยที่มีฟันกรามแท้ซี่ที่สองล่างรูปแบบขนเพียงคนเดียวที่มีช่องห่างทั่วไปในส่วนโค้งแนวฟันล่าง และพบว่าผู้ป่วยฟันห่างจะมีโอกาสมีฟันกรามแท้ซี่ที่สองล่างรูปแบบขนลดลง เมื่อเทียบกับผู้ป่วยที่ฟันเรียงตัวเป็นปกติ

เมื่อฟันกรามแท้ซี่ที่สองล่างซึ่งโดยทั่วไปมักมีทิศทางการวางตัวในแนวเอียงเข้าสู่ด้านไกลกลางพยายามขึ้นสู่ช่องปาก อาจมีแรงดันของฟันกรามแท้ซี่ที่สองล่างกระทำต่อฟันกราม

แท่งซี่ที่หนึ่งล่าง หากฟันกรามแท่งซี่ที่หนึ่งล่างถูกแรงดันจากฟันกรามแท่งซี่ที่สองล่างแต่ไม่สามารถเคลื่อนต่อไปทางด้านหน้าของส่วนโค้งแนวฟันได้อีก ฟันกรามแท่งซี่ที่หนึ่งล่างอาจเคลื่อนตัวออกไปทางด้านข้างแทน จึงพบว่าการที่ผู้ป่วยมีความกว้างส่วนหลังของส่วนโค้งแนวฟันล่างกว้างกว่าค่าปกติ โอกาสมีฟันกรามแท่งซี่ที่สองล่างคุดแบบขนจะเพิ่มขึ้น เมื่อเทียบกับผู้ป่วยที่มีความกว้างส่วนหลังของส่วนโค้งแนวฟันล่างปกติ นอกจากนี้อาจเป็นเพราะส่วนโค้งแนวฟันล่างมีลักษณะเป็นรูปพาราโบลา ซึ่งส่วนหน้าของส่วนโค้งแนวฟันจะแคบกว่าส่วนหลัง หากส่วนหลังมีความกว้างมากขึ้น อาจส่งผลให้ส่วนหน้าสั้นลง ทำให้เนื้อที่ในแนวหน้าหลังของส่วนโค้งแนวฟันสั้นลง จนทำให้จำกัดพื้นที่การขึ้นสู่ช่องปากของฟันกรามแท่งซี่ที่สองล่างและนำไปสู่ภาวะคุดแบบขนของฟันซี่ดังกล่าวได้

ส่วนในกรณีที่ฟันกรามแท่งซี่ที่หนึ่งล่างถูกแรงดันจากการขึ้นของฟันกรามแท่งซี่ที่สองล่างผลัก และสามารถเคลื่อนตัวมาทางด้านหน้าในส่วนโค้งแนวฟันล่างได้ ฟันกรามแท่งซี่ที่สองล่างอาจขึ้นสู่ช่องปากได้สำเร็จ แต่ฟันหน้าล่างในส่วนโค้งแนวฟันที่มีเนื้อที่จำกัดจะยกตัวสูงขึ้นกว่าระนาบสบฟันปกติ ทำให้ขนาดโค้งสบเพิ่มมากขึ้น ผู้ป่วยที่มีขนาดโค้งสบมากกว่าปกติจึงมีโอกาสมีฟันกรามแท่งซี่ที่สองล่างคุดแบบขนลดลง เมื่อเทียบกับผู้ป่วยที่มีขนาดโค้งสบปกติ

ข้อเสนอแนะ

แนวคิดดั้งเดิมในการศึกษานี้ เป็นการหาความสัมพันธ์ระหว่างองค์ประกอบของขากรรไกรล่างทุกองค์ประกอบกับภาวะฟันกรามแท่งซี่ที่สองล่างคุดแบบขน ซึ่งอาจนำไปสู่การพยากรณ์โอกาสที่จะเกิดภาวะดังกล่าว โดยวิธีการวิเคราะห์ความถดถอยโลจิสติกเชิงพหุแบบสองกลุ่ม (binary multiple logistic regression analysis) ผลการวิเคราะห์ที่ได้จะออกมาในรูปแบบการพยากรณ์โอกาสที่แต่ละหน่วยจะอยู่กลุ่มใดกลุ่มหนึ่งของตัวแปรตาม (odd ratio)(38) หากจะให้สมการพยากรณ์โอกาสที่ได้จากการวิเคราะห์ทางสถิติดังกล่าวมีความเชื่อถือได้สูงสุด จำนวนตัวอย่างจะต้องมีจำนวนประมาณ 30 เท่าของตัวแปรอิสระ(39) ซึ่งในการศึกษานี้ตัวแปรอิสระคือองค์ประกอบต่าง ๆ ของขากรรไกรล่าง มีทั้งสิ้น 11 ตัวแปร ดังนั้นตัวอย่างทั้งหมดควรต้องมีอย่างน้อย 330 ตัวอย่าง ในจำนวนนี้ต้องมีตัวอย่างที่มีฟันกรามแท่งซี่ที่สองล่างคุดแบบขนอย่างน้อยครั้งหนึ่ง คือประมาณ 165 ตัวอย่าง การสำรวจในการศึกษานี้ทำในกลุ่มตัวอย่างจำนวน 2500 ราย พบตัวอย่างที่มีฟันกรามแท่งซี่ที่สองล่างคุดแบบขนเพียง 48 รายเท่านั้น จึงไม่เพียงพอที่จะใช้การวิเคราะห์ความถดถอยโลจิสติกเชิงพหุแบบสองกลุ่ม ด้วยข้อจำกัดของจำนวนตัวอย่างนี้ ผู้วิจัยจึงปรับเปลี่ยนวิธีการวิเคราะห์ใหม่เป็นการวิเคราะห์ความถดถอยอย่างง่ายแบบสองกลุ่ม ซึ่งจะแยก

วิเคราะห์ความสัมพันธ์ระหว่างภาวะฟันกรามแท้ที่ที่สองล่างคุดแบบชนกับองค์ประกอบของขากรรไกรล่างที่ลดค่า ทำให้ไม่จำเป็นต้องใช้จำนวนตัวอย่างมากเท่ากับการวิเคราะห์ความถดถอยโลจิสติกเชิงพหุแบบสองกลุ่ม แต่มีข้อด้อยคือ ไม่สามารถเปรียบเทียบระดับความสัมพันธ์ระหว่างตัวแปรอิสระแต่ละตัว(ในที่นี้คือแต่ละองค์ประกอบของขากรรไกรล่าง) ที่มีต่อตัวแปรตาม(ภาวะฟันกรามแท้ที่ที่สองล่างคุดแบบชน) และไม่สามารถบอกได้ว่าองค์ประกอบของขากรรไกรล่างตัวใดมีอิทธิพลมากกว่าหรือมีผลกระทบมากกว่าต่อภาวะฟันกรามแท้ที่ที่สองล่างคุดแบบชน ดังนั้นสมการที่ได้จากการวิเคราะห์นี้จะสามารถพยากรณ์ได้เพียงอัตราส่วนของโอกาสที่จะเกิดเหตุการณ์ที่สนใจต่อโอกาสที่จะไม่เกิดเหตุการณ์ที่สนใจแบบหยาบ (crude odds ratios) เท่านั้น หากสนใจศึกษาความสัมพันธ์ระหว่างแต่ละองค์ประกอบของขากรรไกรล่างที่มีต่อภาวะฟันกรามแท้ที่ที่สองล่างคุดแบบชน และต้องการค่าความน่าเชื่อถือมากที่สุดเท่าที่จะเป็นไปได้ในการพยากรณ์โอกาส โดยวิธีวิเคราะห์ความถดถอยโลจิสติกเชิงพหุแบบสองกลุ่ม จะต้องเพิ่มจำนวนตัวอย่างโดยอาจขอความร่วมมือจากคลินิกทันตกรรมจัดฟันในมหาวิทยาลัยหรือหน่วยงานที่เกี่ยวข้องต่าง ๆ ในโอกาสต่อไป



ศูนย์วิทยุทันตวิทยา
จุฬาลงกรณ์มหาวิทยาลัย

รายการอ้างอิง

- (1) Aitasalo, K., Lehtinen, R., and Oksala, E. An orthopantomographic study of prevalence of impacted teeth. Int J Oral Surg 1(3) (1972): 117-20.
- (2) Sawicka, M., Racka-Pilszak, B., and Rosnowska-Mazurkiewicz, A. Uprighting partially impacted permanent second molars. Angle Orthod 77(1) (Jan 2007): 148-54.
- (3) Evans, R. Incidence of lower second permanent molar impaction. Br J Orthod 15(3) (Aug 1988): 199-203.
- (4) Varpio, M., and Wellfelt, B. Disturbed eruption of the lower second molar: clinical appearance, prevalence, and etiology. ASDC J Dent Child 55(2) (Mar-Apr 1988): 114-8.
- (5) Buchner, H. J. Correction of impacted mandibular second molars. Angle Orthod 43(1) (Jan 1973): 30-3.
- (6) Ranta, R. Impacted maxillary second permanent molars. ASDC J Dent Child 52(1) (Jan-Feb 1985): 48-51.
- (7) Vedtofte, H., Andreasen, J. O., and Kjaer, I. Arrested eruption of the permanent lower second molar. Eur J Orthod 21(1) (Feb 1999): 31-40.
- (8) Andreasen, J. O., Textbook and Color Atlas of Tooth Impactions. Copenhagen: Munksgaard, 1997.
- (9) Raghoobar, G. M., Boering, G., Vissink, A., and Stegenga, B. Eruption disturbances of permanent molars: a review. J Oral Pathol Med 20(4) (Apr 1991): 159-66.
- (10) Magnusson, C., and Kjellberg, H. Impaction and retention of second molars: diagnosis, treatment and outcome. A retrospective follow-up study. Angle Orthod 79(3) (May 2009): 422-7.
- (11) Kavadia, S., Antoniadis, K., Kaklamanos, E., Antoniadis, V., Markovitsi, E., and Zafiriadis, L. Early extraction of the mandibular third molar in case of eruption disturbances of the second molar. J Dent Child (Chic) 70(1) (Jan-Apr 2003): 29-32.

- (12) Cho, S. Y., Ki, Y., Chu, V., and Chan, J. Impaction of permanent mandibular second molars in ethnic Chinese schoolchildren. J Can Dent Assoc 74(6) (Jul-Aug 2008): 521.
- (13) Avery, J. K., Oral Development and Histology. Third ed. Steele PF, editor. New York: Thieme Stuttgart, 2002.
- (14) Cate, A. R. T., Oral Histology Development, Structure, and Function. fifth ed. Nanci A, editor. Montreal, Quebec: Mosby, 1998.
- (15) Suri, L., Gagari, E., and Vastardis, H. Delayed tooth eruption: pathogenesis, diagnosis, and treatment. A literature review. Am J Orthod Dentofacial Orthop 126(4) (Oct 2004): 432-45.
- (16) Becktor, K. B., Nolting, D., Becktor, J. P., and Kjaer, I. Immunohistochemical localization of epithelial rests of Malassez in human periodontal membrane. Eur J Orthod 29(4) (Aug 2007): 350-3.
- (17) Fujiyama, K., Yamashiro, T., Fukunaga, T., Balam, T. A., Zheng, L., and Takano-Yamamoto, T. Denervation resulting in dento-alveolar ankylosis associated with decreased Malassez epithelium. J Dent Res 83(8) (Aug 2004): 625-9.
- (18) Shapira, Y., Borell, G., Nahlieli, O., and Kuftinec, M. M. Uprighting mesially impacted mandibular permanent second molars. Angle Orthod 68(2) (Apr 1998): 173-8.
- (19) Farman, A. G. Clinical Absence of the First and Second Permanent Molars. Br J Orthod 5 (1978): 93-7.
- (20) Bondemark, L., and Tsiopa, J. Prevalence of ectopic eruption, impaction, retention and agenesis of the permanent second molar. Angle Orthod 77(5) (Sep 2007): 773-8.
- (21) Enlow, D. H. A Study of the Postnatal Growth of the Human Mandible. Amer J Orthod 50 (1964): 25-50.
- (22) Graber, T. M., Orthodontics Principles and Practice. 3 ed. Philadelphia, London: W.B. Saunders, 1972.
- (23) Enlow, D. H. The "V" principle. Am J Orthod 85(1) (Jan 1984): 96.

- (24) Sicher, H., Oral Anatomy. London: Henry Kimpton, 1949.
- (25) Moss, M. L., and Rankow, R. M. The role of the functional matrix in mandibular growth. Angle Orthod 38(2) (Apr 1968): 95-103.
- (26) Bishara, S. E., Textbook of Orthodontics. Ngan P, editor. New York, Saint Louis: WB Saunders Company, 2001.
- (27) Bishara, S. E., Jakobsen, J. R., Treder, J., and Nowak, A. Arch width changes from 6 weeks to 45 years of age. Am J Orthod Dentofacial Orthop 111(4) (Apr 1997): 401-9.
- (28) Solow B, I. H., Biological Mechanisms of Tooth Movement and Craniofacial Adaptation. Davidovitch Z NL, editor. Boston: Harvard Society for Advancement of Orthodontics, 1996.
- (29) Bjork., A. The Use of Metallic Implants in the Study of Facial Growth in Children: Method and Application. Am J Phys Anthropol 29 (1968): 243-54.
- (30) Solow B, H. W. Mandibular Rotations: Concept and Terminology. Eur J Orthod 10 (1988): 177-9.
- (31) Bjork, A., and Skieller, V. Normal and abnormal growth of the mandible. A synthesis of longitudinal cephalometric implant studies over a period of 25 years. Eur J Orthod 5(1) (Feb 1983): 1-46.
- (32) Paitool Jindarochanakul. Ricketts analysis of cephalometric roentgenography in Thai children. Master's Thesis, Department of Orthodontics, Faculty of Dentistry, Chulalongkorn University, 1981.
- (33) Chantip Meesil. Prediction of arch width and arch height from sum of incisors. Master's Thesis, Department of Orthodontics, Faculty of Dentistry, Chulalongkorn University, 1980.
- (34) Passaraporn Suntharasaj. A cephalometric analysis of children in Bangkok age 8-16 years by McNamara analysis and Bjork-Jarabak analysis. Master's Thesis, Department of Orthodontics, Faculty of Dentistry, Chulalongkorn University, 1993.

- (35) Grover, P. S., and Lorton, L. The incidence of unerupted permanent teeth and related clinical cases. Oral Surg Oral Med Oral Pathol 59(4) (Apr 1985): 420-5.
- (36) Farman, A. G., Eloff, J., Nortje, C. J., and Joubert, J. J. Clinical absence of the first and second permanent molars. Br J Orthod 5(2) (Apr 1978): 93-7.
- (37) Narkdee, J., Chamnannidiadha, N., and Apivatanagul, P. Class II skeletal characteristics in a group of Thai orthodontic patients. Chulalongkorn University Dental Journal 32(1) (January-April 2009): 39-52.
- (38) กัลยา วานิชย์บัญชา., การวิเคราะห์ข้อมูลหลายตัวแปร. กรุงเทพมหานคร: ธรรมสาร, 2552.
- (39) กัลยา วานิชย์บัญชา., การวิเคราะห์สถิติขั้นสูงด้วย SPSS for Windows. กรุงเทพมหานคร: ธรรมสาร, 2546.



ศูนย์วิทยทรัพยากร
จุฬาลงกรณ์มหาวิทยาลัย



ภาคผนวก

ศูนย์วิทยทรัพยากร
จุฬาลงกรณ์มหาวิทยาลัย

ตารางที่ 5 แสดงผลการทดสอบความน่าเชื่อถือภายในตัวผู้วิจัย ด้วยการทดสอบสมมติฐานเกี่ยวกับผลต่างระหว่างค่าเฉลี่ยของสองประชากรแบบจับคู่ ค่าวัดที่ทดสอบได้แก่ มุมแมนดิบิวลาร์อาร์ค (ManArc) ความยาวคอร์ปัส (Corpus) ความยาวขากรรไกรล่าง (EffLen) มุมโกเนียล (Gonial) มุมโกเนียลส่วนบน (Up) มุมโกเนียลส่วนล่าง (Low) ความสูงขากรรไกรล่างส่วนท้ายพินแกรม (Ramus) ความยาวขากรรไกรล่างส่วนลำตัว (Body) ความยาวส่วนโค้งแนวฟันล่างเคลื่อนคลาด (ALD) ความกว้างส่วนหลังของส่วนโค้งแนวฟัน (PAW) และขนาดโค้งสปี (Spee)

Paired Samples Statistics

| | | Mean | N | Std. Deviation | Std. Error Mean |
|---------|---------|----------|----|----------------|--------------------|
| Pair 1 | ManArc1 | 34.5000 | 10 | 7.05927 | 2.23234 |
| | ManArc2 | 35.0500 | 10 | 5.89939 | 1.86555 |
| Pair 2 | Corpus1 | 66.3500 | 10 | 2.68794 | .85000 |
| | Corpus2 | 66.3000 | 10 | 4.35380 | 1.37679 |
| Pair 3 | EffLen1 | 113.1000 | 10 | 4.80046 | 1.51804 |
| | EffLen2 | 112.0000 | 10 | 5.54276 | 1.75278 |
| Pair 4 | Gonial1 | 120.3500 | 10 | 9.93884 | 3.14294 |
| | Gonial2 | 120.4000 | 10 | 9.70910 | 3.07029 |
| Pair 5 | Up1 | 48.5500 | 10 | 5.77567 | 1.82643 |
| | Up2 | 48.5000 | 10 | 5.06623 | 1.60208 |
| Pair 6 | Low1 | 71.7500 | 10 | 6.15201 | 1.94544 |
| | Low2 | 71.9500 | 10 | 5.84736 | 1.84910 |
| Pair 7 | Ramus1 | 44.0000 | 10 | 5.82142 | 1.84089 |
| | Ramus2 | 44.4000 | 10 | 4.59347 | 1.45258 |
| Pair 8 | Body1 | 74.1500 | 10 | 4.06919 | 1.28679 |
| | Body2 | 74.0500 | 10 | 4.27817 | 1.35288 |
| Pair 9 | ALD1 | -3.8000 | 10 | 5.51866 | 1.74515 |
| | ALD2 | -3.8500 | 10 | 5.81688 | 1.83946 |
| Pair 10 | PAW1 | 47.5500 | 10 | 3.41931 | 1.08128 |
| | PAW2 | 47.6000 | 10 | 3.23866 | 1.02415 |
| Pair 11 | Spee1 | 2.2000 | 10 | 1.00554 | .31798 |
| | Spee2 | 2.2000 | 10 | 1.05935 | .33500 |

ตารางที่ 5 แสดงผลการทดสอบความน่าเชื่อถือภายในตัวผู้วิจัย ด้วยการทดสอบสมมติฐานเกี่ยวกับผลต่างระหว่างค่าเฉลี่ยของสองประชากรแบบจับคู่ ค่าวัดที่ทดสอบได้แก่ มุมแมนดิบิวลาร์อาร์ค (ManArc) ความยาวคอร์ปัส (Corpus) ความยาวขากรรไกรล่าง (EffLen) มุมโกเนียล (Gonial) มุมโกเนียลส่วนบน (Up) มุมโกเนียลส่วนล่าง (Low) ความสูงขากรรไกรล่างส่วนท้ายฟันกราม (Ramus) ความยาวขากรรไกรล่างส่วนลำตัว (Body) ความยาวส่วนโค้งแนวฟันล่างเคลื่อนคลาด (ALD) ความกว้างส่วนหลังของส่วนโค้งแนวฟัน (PAW) และขนาดโค้งสปี (Spee)

Paired Samples Correlations

| | | N | Correlation | Sig. |
|---------|-------------------|----|-------------|------|
| Pair 1 | ManArc1 & ManArc2 | 10 | .925 | .000 |
| Pair 2 | Corpus1 & Corpus2 | 10 | .809 | .005 |
| Pair 3 | EffLen1 & EffLen2 | 10 | .801 | .005 |
| Pair 4 | Gonial1 & Gonial2 | 10 | .970 | .000 |
| Pair 5 | Up1 & Up2 | 10 | .901 | .000 |
| Pair 6 | Low1 & Low2 | 10 | .968 | .000 |
| Pair 7 | Ramus1 & Ramus2 | 10 | .914 | .000 |
| Pair 8 | Body1 & Body2 | 10 | .832 | .003 |
| Pair 9 | ALD1 & ALD2 | 10 | .998 | .000 |
| Pair 10 | PAW1 & PAW2 | 10 | .985 | .000 |
| Pair 11 | Spee1 & Spee2 | 10 | .949 | .000 |

ศูนย์วิทยทรัพยากร
จุฬาลงกรณ์มหาวิทยาลัย

ตารางที่ 5 แสดงผลการทดสอบความน่าเชื่อถือภายในตัวผู้วิจัย ด้วยการทดสอบสมมติฐานเกี่ยวกับผลต่างระหว่างค่าเฉลี่ยของสองประชากรแบบจับคู่ ค่าวัดที่ทดสอบได้แก่ มุมแมนดิบิวลาร์อาร์ค (ManArc) ความยาวคอร์ปัส (Corpus) ความยาวขากรรไกรล่าง (EffLen) มุมโกเนียล (Gonial) มุมโกเนียลส่วนบน (Up) มุมโกเนียลส่วนล่าง (Low) ความสูงขากรรไกรล่างส่วนท้ายพินแกรม (Ramus) ความยาวขากรรไกรล่างส่วนลำตัว (Body) ความยาวส่วนโค้งแนวฟันล่างเคลื่อนคลาด (ALD) ความกว้างส่วนหลังของส่วนโค้งแนวฟัน (PAW) และขนาดโค้งสปี (Spee)

Paired Samples Test

| | | Paired Differences | | | | | t | df | Sig. (2-tailed) |
|---------|-------------------|--------------------|----------------|------------|---|---------|-------|----|-----------------|
| | | Mean | Std. Deviation | Std. Error | 95% Confidence Interval of the Difference | | | | |
| | | | | | Lower | Upper | | | |
| Pair 1 | ManArc1 - ManArc2 | -.55000 | 2.75328 | .87066 | -2.51958 | 1.41958 | -.632 | 9 | .543 |
| Pair 2 | Corpus1 - Corpus2 | .05000 | 2.69207 | .85131 | -1.87579 | 1.97579 | .059 | 9 | .954 |
| Pair 3 | EffLen1 - EffLen2 | 1.10000 | 3.33999 | 1.05620 | -1.28929 | 3.48929 | 1.041 | 9 | .325 |
| Pair 4 | Gonial1 - Gonial2 | -.05000 | 2.43185 | .76902 | -1.78964 | 1.68964 | -.065 | 9 | .950 |
| Pair 5 | Up1 - Up2 | .05000 | 2.51053 | .79390 | -1.74593 | 1.84593 | .063 | 9 | .951 |
| Pair 6 | Low1 - Low2 | -.20000 | 1.54919 | .48990 | -1.30823 | .90823 | -.408 | 9 | .693 |
| Pair 7 | Ramus1 - Ramus2 | -.40000 | 2.46982 | .78102 | -2.16680 | 1.36680 | -.512 | 9 | .621 |
| Pair 8 | Body1 - Body2 | .10000 | 2.42441 | .76667 | -1.63432 | 1.83432 | .130 | 9 | .899 |
| Pair 9 | ALD1 - ALD2 | .05000 | .49721 | .15723 | -.30569 | .40569 | .318 | 9 | .758 |
| Pair 10 | PAW1 - PAW2 | -.05000 | .59861 | .18930 | -.47822 | .37822 | -.264 | 9 | .798 |
| Pair 11 | Spee1 - Spee2 | .00000 | .33333 | .10541 | -.23845 | .23845 | .000 | 9 | 1.000 |

ตารางที่ 6 แสดงการวิเคราะห์ความถดถอยโลจิสติคอย่างง่ายแบบสองกลุ่มของค่าความยาวคอร์ปัส ที่ระดับนัยสำคัญ 0.05

Case Processing Summary

| Unweighted Cases(a) | | N | Percent |
|---------------------|----------------------|----|---------|
| Selected Cases | Included in Analysis | 95 | 100.0 |
| | Missing Cases | 0 | .0 |
| | Total | 95 | 100.0 |
| Unselected Cases | | 0 | .0 |
| Total | | 95 | 100.0 |

a If weight is in effect, see classification table for the total number of cases.

Dependent Variable Encoding

| Original Value | Internal Value |
|----------------|----------------|
| control | 0 |
| impact | 1 |

Categorical Variables Codings

| | | Frequency | Parameter coding | |
|--------------|--------|-----------|------------------|-------|
| | | | (1) | (2) |
| CorpusLength | Normal | 68 | .000 | .000 |
| | Short | 14 | 1.000 | .000 |
| | Long | 13 | .000 | 1.000 |

ตารางที่ 6 แสดงการวิเคราะห์ความถดถอยโลจิสติกอย่างง่ายแบบสองกลุ่มของค่าความยาวคอร์ปัส ที่ระดับนัยสำคัญ 0.05

Block 0: Beginning Block

Classification Table^{a,b}

| Observed | | | Predicted | | Percentage Correct |
|--------------------|------|---------|-----------|--------|--------------------|
| | | | case | | |
| | | | control | impact | |
| Step 0 | case | control | 0 | 47 | .0 |
| | | impact | 0 | 48 | 100.0 |
| Overall Percentage | | | | | 50.5 |

a. Constant is included in the model.

b. The cut value is .500

Variables in the Equation

| | | B | S.E. | Wald | df | Sig. | Exp(B) |
|--------|----------|------|------|------|----|------|--------|
| Step 0 | Constant | .021 | .205 | .011 | 1 | .918 | 1.021 |

Variables not in the Equation

| | | | Score | df | Sig. |
|--------------------|-----------|-----------------|-------|----|------|
| Step 0 | Variables | CorpusLength | 1.203 | 2 | .548 |
| | | CorpusLength(1) | .288 | 1 | .592 |
| | | CorpusLength(2) | .731 | 1 | .393 |
| Overall Statistics | | | 1.203 | 2 | .548 |

ตารางที่ 6 แสดงการวิเคราะห์ความถดถอยโลจิสติคอย่างง่ายแบบสองกลุ่มของค่าความยาวคอร์ปัส ที่ระดับนัยสำคัญ 0.05

Block 1: Method = Enter

Omnibus Tests of Model Coefficients

| | Chi-square | df | Sig. |
|-------------|------------|----|------|
| Step 1 Step | 1.210 | 2 | .546 |
| Block | 1.210 | 2 | .546 |
| Model | 1.210 | 2 | .546 |

Model Summary

| Step | -2 Log likelihood | Cox & Snell R Square | Nagelkerke R Square |
|------|-------------------|----------------------|---------------------|
| 1 | 130.477(a) | .013 | .017 |

a Estimation terminated at iteration number 3 because parameter estimates changed by less than .001.

Classification Table^a

| Observed | Predicted | | | |
|--------------------|-----------|--------|--------------------|------|
| | case | | Percentage Correct | |
| | control | impact | | |
| Step 1 case | control | 36 | 11 | 76.6 |
| | impact | 32 | 16 | 33.3 |
| Overall Percentage | | | | 54.7 |

a. The cut value is .500

ตารางที่ 6 แสดงการวิเคราะห์ความถดถอยโลจิสติกอย่างง่ายแบบสองกลุ่มของค่าความยาวคอร์ปัส ที่ระดับนัยสำคัญ 0.05

Variables in the Equation

| | B | S.E. | Wald | df | Sig. | Exp(B) | 95.0% C.I. for EXP(B) | |
|-----------|-----------------|-------|-------|------|------|--------|-----------------------|------------|
| | | | | | | | Lower | Upper |
| Step a | | | 1.190 | 2 | .551 | | | |
| 1 | CorpusLength | | | | | | | |
| | CorpusLength(1) | .405 | .592 | .469 | 1 | .494 | 1.500 | .470 4.788 |
| | CorpusLength(2) | .588 | .620 | .900 | 1 | .343 | 1.800 | .534 6.064 |
| | Constant | -.118 | .243 | .235 | 1 | .628 | .889 | |

a. Variable(s) entered on step 1: CorpusLength.

ตารางที่ 7 แสดงการวิเคราะห์ความถดถอยโลจิสติกอย่างง่ายแบบสองกลุ่มของค่าความยาวขากรรไกรล่าง ที่ระดับนัยสำคัญ 0.05

Case Processing Summary

| Unweighted Cases ^a | | N | Percent |
|-------------------------------|----------------------|----|---------|
| Selected Cases | Included in Analysis | 95 | 100.0 |
| | Missing Cases | 0 | .0 |
| | Total | 95 | 100.0 |
| Unselected Cases | | 0 | .0 |
| Total | | 95 | 100.0 |

a. If weight is in effect, see classification table for the total number of cases.

Dependent Variable Encoding

| Original Value | Internal Value |
|----------------|----------------|
| control | 0 |
| impact | 1 |

ตารางที่ 7 แสดงการวิเคราะห์ความถดถอยโลจิสติคอย่างง่ายแบบสองกลุ่มของค่าความยาวขากรรไกรล่าง ที่ระดับนัยสำคัญ 0.05

Categorical Variables Codings

| | | Frequency | Parameter coding | |
|------|--------|-----------|------------------|-------|
| | | | (1) | (2) |
| CoGn | Normal | 56 | .000 | .000 |
| | Short | 21 | 1.000 | .000 |
| | Long | 18 | .000 | 1.000 |

Block 0: Beginning Block

Classification Table^{a,b}

| Observed | | | Predicted | | |
|--------------------|------|---------|-----------|--------|-----------------------|
| | | | case | | Percentage Correct |
| | | | control | impact | |
| Step 0 | case | control | 0 | 47 | .0 |
| | | impact | 0 | 48 | 100.0 |
| Overall Percentage | | | | | 50.5 |

a. Constant is included in the model.

b. The cut value is .500

Variables in the Equation

| | | B | S.E. | Wald | df | Sig. | Exp(B) |
|--------|----------|------|------|------|----|------|--------|
| Step 0 | Constant | .021 | .205 | .011 | 1 | .918 | 1.021 |

ตารางที่ 7 แสดงการวิเคราะห์ความถดถอยโลจิสติคอย่างง่ายแบบสองกลุ่มของค่าความยาว
ขากรรไกรล่าง ที่ระดับนัยสำคัญ 0.05

Variables not in the Equation

| | | | Score | df | Sig. |
|------|--------------------|---------|-------|----|------|
| Step | Variables | CoGn | 5.879 | 2 | .053 |
| 0 | | CoGn(1) | 3.188 | 1 | .074 |
| | | CoGn(2) | 4.182 | 1 | .041 |
| | Overall Statistics | | 5.879 | 2 | .053 |

Block 1: Method = Enter

Omnibus Tests of Model Coefficients

| | | Chi-square | df | Sig. |
|--------|-------|------------|----|------|
| Step 1 | Step | 6.051 | 2 | .049 |
| | Block | 6.051 | 2 | .049 |
| | Model | 6.051 | 2 | .049 |

Classification Table^a

| Observed | | | Predicted | | |
|----------|--------------------|---------|-----------|--------|-----------------------|
| | | | case | | Percentage Correct |
| | | | control | impact | |
| Step 1 | case | control | 14 | 33 | 29.8 |
| | | impact | 7 | 41 | 85.4 |
| | Overall Percentage | | | | 57.9 |

a. The cut value is .500

ตารางที่ 7 แสดงการวิเคราะห์ความถดถอยโลจิสติกอย่างง่ายแบบสองกลุ่มของค่าความยาว
ขากรรไกรล่าง ที่ระดับนัยสำคัญ 0.05

Variables in the Equation

| | B | S.E. | Wald | df | Sig. | Exp(B) | 95.0% C.I. for EXP(B) | |
|----------------|----------|-------|-------|-------|------|--------|-----------------------|------------|
| | | | | | | | Lower | Upper |
| Step a 1 | CoGn | | 5.537 | 2 | .063 | | | |
| | CoGn(1) | -.693 | .535 | 1.682 | 1 | .195 | .500 | .175 1.425 |
| | CoGn(2) | .956 | .590 | 2.621 | 1 | .105 | 2.600 | .818 8.267 |
| | Constant | .000 | .267 | .000 | 1 | 1.000 | 1.000 | |

a. Variable(s) entered on step 1: CoGn.

ตารางที่ 8 แสดงการวิเคราะห์ความถดถอยโลจิสติกอย่างง่ายแบบสองกลุ่มของค่าความสูง
ขากรรไกรล่างส่วนท้ายฟันกราม ที่ระดับนัยสำคัญ 0.05

Case Processing Summary

| Unweighted Cases(a) | | N | Percent |
|---------------------|----------------------|----|---------|
| Selected Cases | Included in Analysis | 95 | 100.0 |
| | Missing Cases | 0 | .0 |
| | Total | 95 | 100.0 |
| Unselected Cases | | 0 | .0 |
| Total | | 95 | 100.0 |

a. If weight is in effect, see classification table for the total number of cases.

ตารางที่ 8 แสดงการวิเคราะห์ความถดถอยโลจิสติกอย่างง่ายแบบสองกลุ่มของค่าความสูง
ขากรรไกรล่างส่วนท้ายพินแกรม ที่ระดับนัยสำคัญ 0.05

Dependent Variable Encoding

| Original Value | Internal Value |
|----------------|----------------|
| control | 0 |
| impact | 1 |

Categorical Variables Codings

| | | Frequency | Parameter coding | |
|--------|--------|-----------|------------------|-------|
| | | | (1) | (2) |
| RamusH | Normal | 59 | .000 | .000 |
| | Short | 13 | 1.000 | .000 |
| | Long | 23 | .000 | 1.000 |

Block 0: Beginning Block

Classification Table^{a,b}

| Observed | | | Predicted | | |
|--------------------|------|---------|-----------|--------|------------|
| | | | case | | Percentage |
| | | | control | impact | Correct |
| Step 0 | case | control | 0 | 47 | .0 |
| | | impact | 0 | 48 | 100.0 |
| Overall Percentage | | | | | 50.5 |

a. Constant is included in the model.

b. The cut value is .500

ตารางที่ 8 แสดงการวิเคราะห์ความถดถอยโลจิสติกอย่างง่ายแบบสองกลุ่มของค่าความสูง
ขากรรไกรล่างส่วนท้ายฟันกราม ที่ระดับนัยสำคัญ 0.05

Variables in the Equation

| | B | S.E. | Wald | df | Sig. | Exp(B) |
|-----------------|------|------|------|----|------|--------|
| Step 0 Constant | .021 | .205 | .011 | 1 | .918 | 1.021 |

Variables not in the Equation

| | Score | df | Sig. |
|--------------------|-------|----|------|
| Step 0 Variables | | | |
| RamusH | 1.306 | 2 | .520 |
| RamusH(1) | .115 | 1 | .734 |
| RamusH(2) | 1.299 | 1 | .254 |
| Overall Statistics | 1.306 | 2 | .520 |

Block 1: Method = Enter

Omnibus Tests of Model Coefficients

| | Chi-square | df | Sig. |
|-------------|------------|----|------|
| Step 1 Step | 1.315 | 2 | .518 |
| Block | 1.315 | 2 | .518 |
| Model | 1.315 | 2 | .518 |

ตารางที่ 8 แสดงการวิเคราะห์ความถดถอยโลจิสติคอย่างง่ายแบบสองกลุ่มของค่าความสูง
ขากรรไกรล่างส่วนท้ายฟันกราม ที่ระดับนัยสำคัญ 0.05

Model Summary

| Step | -2 Log likelihood | Cox & Snell R Square | Nagelkerke R Square |
|------|----------------------|----------------------|---------------------|
| 1 | 130.373 ^a | .014 | .018 |

a. Estimation terminated at iteration number 3 because parameter estimates changed by less than .001.

Classification Table^a

| Observed | | Predicted | | | |
|--------------------|------|-----------|--------|--------------------|------|
| | | case | | Percentage Correct | |
| | | control | impact | | |
| Step 1 | case | control | 38 | 9 | 80.9 |
| | | impact | 34 | 14 | 29.2 |
| Overall Percentage | | | | | 54.7 |

a. The cut value is .500

ตารางที่ 8 แสดงการวิเคราะห์ความถดถอยโลจิสติกอย่างง่ายแบบสองกลุ่มของค่าความสูง
ขากรรไกรล่างส่วนท้ายฟันกราม ที่ระดับนัยสำคัญ 0.05

| Variables in the Equation | | | | | | | 95.0% C.I. for EXP(B) | | |
|---------------------------|-----------|-------|-------|-------|------|--------|-----------------------|------------|--|
| | B | S.E. | Wald | df | Sig. | Exp(B) | Lower | Upper | |
| Step a | RamusH | | 1.291 | 2 | .524 | | | | |
| 1 | RamusH(1) | -.052 | .614 | .007 | 1 | .932 | .949 | .285 3.164 | |
| | RamusH(2) | .544 | .501 | 1.180 | 1 | .277 | 1.722 | .646 4.593 | |
| | Constant | -.102 | .261 | .152 | 1 | .696 | .903 | | |

a. Variable(s) entered on step 1: RamusH.

ตารางที่ 9 แสดงการวิเคราะห์ความถดถอยโลจิสติกอย่างง่ายแบบสองกลุ่มของค่าความยาว
ขากรรไกรล่างส่วนลำตัว ที่ระดับนัยสำคัญ 0.05

Case Processing Summary

| Unweighted Cases(a) | | N | Percent |
|---------------------|----------------------|----|---------|
| Selected Cases | Included in Analysis | 95 | 100.0 |
| | Missing Cases | 0 | .0 |
| | Total | 95 | 100.0 |
| Unselected Cases | | 0 | .0 |
| Total | | 95 | 100.0 |

a. If weight is in effect, see classification table for the total number of cases.

Dependent Variable Encoding

| Original Value | Internal Value |
|----------------|----------------|
| control | 0 |
| impact | 1 |

ตารางที่ 9 แสดงการวิเคราะห์ความถดถอยโลจิสติกอย่างง่ายแบบสองกลุ่มของค่าความยาวขากรรไกรล่างส่วนลำตัว ที่ระดับนัยสำคัญ 0.05

Categorical Variables Codings

| | | Frequency | Parameter coding | |
|-----------|--------|-----------|------------------|-------|
| | | | (1) | (2) |
| MandBodyL | Normal | 70 | .000 | .000 |
| | Short | 4 | 1.000 | .000 |
| | Long | 21 | .000 | 1.000 |

Block 0: Beginning Block

Classification Table^{a,b}

| Observed | | | Predicted | | |
|----------|--------------------|---------|-----------|--------|-----------------------|
| | | | case | | Percentage Correct |
| | | | control | impact | |
| Step 0 | case | control | 0 | 47 | .0 |
| | | impact | 0 | 48 | 100.0 |
| | Overall Percentage | | | | 50.5 |

a. Constant is included in the model.

b. The cut value is .500

Variables in the Equation

| | | B | S.E. | Wald | df | Sig. | Exp(B) |
|--------|----------|------|------|------|----|------|--------|
| Step 0 | Constant | .021 | .205 | .011 | 1 | .918 | 1.021 |

ตารางที่ 9 แสดงการวิเคราะห์ความถดถอยโลจิสติคอย่างง่ายแบบสองกลุ่มของค่าความยาว
ขากรรไกรล่างส่วนลำตัว ที่ระดับนัยสำคัญ 0.05

Variables not in the Equation

| | Score | df | Sig. |
|--------------------|-------|----|------|
| Step 0 Variables | | | |
| MandBodyL | 7.181 | 2 | .028 |
| MandBodyL(1) | .000 | 1 | .983 |
| MandBodyL(2) | 7.104 | 1 | .008 |
| Overall Statistics | 7.181 | 2 | .028 |

Block 1: Method = Enter

Omnibus Tests of Model Coefficients

| | Chi-square | df | Sig. |
|-------------|------------|----|------|
| Step 1 Step | 7.482 | 2 | .024 |
| Block | 7.482 | 2 | .024 |
| Model | 7.482 | 2 | .024 |

Model Summary

| Step | -2 Log likelihood | Cox & Snell R Square | Nagelkerke R Square |
|------|----------------------|----------------------|---------------------|
| 1 | 124.205 ^a | .076 | .101 |

a. Estimation terminated at iteration number 4 because
parameter estimates changed by less than .001.

ตารางที่ 9 แสดงการวิเคราะห์ความถดถอยโลจิสติกอย่างง่ายแบบสองกลุ่มของค่าความยาว
ขากรรไกรล่างส่วนลำตัว ที่ระดับนัยสำคัญ 0.05

Classification Table^a

| Observed | | | Predicted | | |
|--------------------|------|---------|-----------|--------|-----------------------|
| | | | case | | Percentage Correct |
| | | | control | impact | |
| Step 1 | case | control | 40 | 7 | 85.1 |
| | | impact | 30 | 18 | 37.5 |
| Overall Percentage | | | | | 61.1 |

a. The cut value is .500

Variables in the Equation

| | | B | S.E. | Wald | df | Sig. | Exp(B) | 95.0% C.I. for EXP(B) | |
|-----------|--------------|-------|-------|-------|----|------|--------|-----------------------|--------|
| | | | | | | | | Lower | Upper |
| Step a | MandBodyL | | | 6.561 | 2 | .038 | | | |
| 1 | MandBodyL(1) | .288 | 1.029 | .078 | 1 | .780 | 1.333 | .178 | 10.014 |
| | MandBodyL(2) | 1.451 | .566 | 6.561 | 1 | .010 | 4.267 | 1.406 | 12.949 |
| | Constant | -.288 | .242 | 1.419 | 1 | .234 | .750 | | |

a. Variable(s) entered on step 1: MandBodyL.

ตารางที่ 10 แสดงการวิเคราะห์ความถดถอยโลจิสติกอย่างง่ายแบบสองกลุ่มของค่ามมแมนติ
 บิวลาร์อาร์ค ที่ระดับนัยสำคัญ 0.05

Case Processing Summary

| Unweighted Cases(a) | | N | Percent |
|---------------------|----------------------|----|---------|
| Selected Cases | Included in Analysis | 95 | 100.0 |
| | Missing Cases | 0 | .0 |
| | Total | 95 | 100.0 |
| Unselected Cases | | 0 | .0 |
| Total | | 95 | 100.0 |

a If weight is in effect, see classification table for the total number of cases.

Dependent Variable Encoding

| Original Value | Internal Value |
|----------------|----------------|
| control | 0 |
| impact | 1 |

Categorical Variables Codings

| | | Frequency | Parameter coding | |
|----------|---------|-----------|------------------|-------|
| | | | (1) | (2) |
| MandArch | Meso | 51 | .000 | .000 |
| | Brachy | 29 | 1.000 | .000 |
| | Dolicho | 15 | .000 | 1.000 |

ตารางที่ 10 แสดงการวิเคราะห์ความถดถอยโลจิสติกอย่างง่ายแบบสองกลุ่มของค่ามูมแมนติ
บิวลาร์อาร์ค ที่ระดับนัยสำคัญ 0.05

Block 0: Beginning Block

Classification Table^{a,b}

| Observed | | | Predicted | | |
|--------------------|------|---------|-----------|--------|-----------------------|
| | | | case | | Percentage Correct |
| | | | control | impact | |
| Step 0 | case | control | 0 | 47 | .0 |
| | | impact | 0 | 48 | 100.0 |
| Overall Percentage | | | | | 50.5 |

a. Constant is included in the model.

b. The cut value is .500

Variables in the Equation

| | | B | S.E. | Wald | df | Sig. | Exp(B) |
|--------|----------|------|------|------|----|------|--------|
| Step 0 | Constant | .021 | .205 | .011 | 1 | .918 | 1.021 |

Variables not in the Equation

| | | | Score | df | Sig. |
|--------------------|-----------|-------------|-------|----|------|
| Step 0 | Variables | MandArch | 2.456 | 2 | .293 |
| | | MandArch(1) | 2.225 | 1 | .136 |
| | | MandArch(2) | .790 | 1 | .374 |
| Overall Statistics | | | 2.456 | 2 | .293 |

ตารางที่ 10 แสดงการวิเคราะห์ความถดถอยโลจิสติกอย่างง่ายแบบสองกลุ่มของค่ามมแมนติ
บิวลาร์อาร์ค ที่ระดับนัยสำคัญ 0.05

Block 1: Method = Enter

Omnibus Tests of Model Coefficients

| | Chi-square | df | Sig. |
|-------------|------------|----|------|
| Step 1 Step | 2.477 | 2 | .290 |
| Block | 2.477 | 2 | .290 |
| Model | 2.477 | 2 | .290 |

Model Summary

| Step | -2 Log likelihood | Cox & Snell R Square | Nagelkerke R Square |
|------|----------------------|-------------------------|------------------------|
| 1 | 129.211 ^a | .026 | .034 |

a. Estimation terminated at iteration number 3 because
parameter estimates changed by less than .001.

Classification Table^a

| Observed | | Predicted | | |
|--------------------|---------|-----------|--------|------------|
| | | case | | Percentage |
| | | control | impact | Correct |
| Step 1 case | control | 36 | 11 | 76.6 |
| | impact | 30 | 18 | 37.5 |
| Overall Percentage | | | | 56.8 |

a. The cut value is .500

ตารางที่ 10 แสดงการวิเคราะห์ความถดถอยโลจิสติกอย่างง่ายแบบสองกลุ่มของค่ามมแมนติ บิวลาร์อาร์ค ที่ระดับนัยสำคัญ 0.05

| Variables in the Equation | | | | | | | 95.0% C.I. for EXP(B) | |
|---------------------------|-------------|-------|-------|-------|------|--------|-----------------------|------------|
| | B | S.E. | Wald | df | Sig. | Exp(B) | Lower | Upper |
| Step a 1 | MandArch | | 2.417 | 2 | .299 | | | |
| | MandArch(1) | .610 | .475 | 1.654 | 1 | .198 | 1.841 | .726 4.666 |
| | MandArch(2) | -.288 | .597 | .232 | 1 | .630 | .750 | .233 2.417 |
| | Constant | -.118 | .281 | .176 | 1 | .675 | .889 | |

a. Variable(s) entered on step 1: MandArch.

ตารางที่ 11 แสดงการวิเคราะห์ความถดถอยโลจิสติกอย่างง่ายแบบสองกลุ่มของค่ามมโกเนียด ที่ระดับนัยสำคัญ 0.05

Case Processing Summary

| Unweighted Cases(a) | | N | Percent |
|---------------------|----------------------|----|---------|
| Selected Cases | Included in Analysis | 95 | 100.0 |
| | Missing Cases | 0 | .0 |
| | Total | 95 | 100.0 |
| Unselected Cases | | 0 | .0 |
| Total | | 95 | 100.0 |

a If weight is in effect, see classification table for the total number of cases.

Dependent Variable Encoding

| Original Value | Internal Value |
|----------------|----------------|
| control | 0 |
| impact | 1 |

ตารางที่ 11 แสดงการวิเคราะห์ความถดถอยโลจิสติกอย่างง่ายแบบสองกลุ่มของค่ามุมโกเนียล ที่ระดับนัยสำคัญ 0.05

Categorical Variables Codings

| | | Frequency | Parameter coding | |
|-------------|------------|-----------|------------------|-------|
| | | | (1) | (2) |
| GonialAngle | NormalBite | 47 | .000 | .000 |
| | DeepBite | 44 | 1.000 | .000 |
| | OpenBite | 4 | .000 | 1.000 |

Block 0: Beginning Block

Classification Table^{a,b}

| Observed | | | Predicted | | |
|--------------------|------|---------|-----------|--------|-----------------------|
| | | | case | | Percentage Correct |
| | | | control | impact | |
| Step 0 | case | control | 0 | 47 | .0 |
| | | impact | 0 | 48 | 100.0 |
| Overall Percentage | | | | | 50.5 |

a. Constant is included in the model.

b. The cut value is .500

Variables in the Equation

| | | B | S.E. | Wald | df | Sig. | Exp(B) |
|--------|----------|------|------|------|----|------|--------|
| Step 0 | Constant | .021 | .205 | .011 | 1 | .918 | 1.021 |

ตารางที่ 11 แสดงการวิเคราะห์ความถดถอยโลจิสติกอย่างง่ายแบบสองกลุ่มของค่ามุมโกเนียด ที่ระดับนัยสำคัญ 0.05

Variables not in the Equation

| | | | Score | df | Sig. |
|--------------------|-----------|----------------|-------|----|------|
| Step 0 | Variables | GonialAngle | .272 | 2 | .873 |
| | | GonialAngle(1) | .257 | 1 | .612 |
| | | GonialAngle(2) | .000 | 1 | .983 |
| Overall Statistics | | | .272 | 2 | .873 |

Block 1: Method = Enter

Omnibus Tests of Model Coefficients

| | | Chi-square | df | Sig. |
|--------|-------|------------|----|------|
| Step 1 | Step | .272 | 2 | .873 |
| | Block | .272 | 2 | .873 |
| | Model | .272 | 2 | .873 |

Model Summary

| Step | -2 Log likelihood | Cox & Snell R Square | Nagelkerke R Square |
|------|----------------------|----------------------|---------------------|
| 1 | 131.415 ^a | .003 | .004 |

a. Estimation terminated at iteration number 2 because parameter estimates changed by less than .001.

ตารางที่ 12 แสดงการวิเคราะห์ความถดถอยโลจิสติกอย่างง่ายแบบสองกลุ่มของค่ามุมโกเนียด ส่วนบน ที่ระดับนัยสำคัญ 0.05

Block 0: Beginning Block

Classification Table^{a,b}

| Observed | | | Predicted | | |
|--------------------|------|---------|-----------|--------|-----------------------|
| | | | case | | Percentage Correct |
| | | | control | impact | |
| Step 0 | case | control | 0 | 47 | .0 |
| | | impact | 0 | 48 | 100.0 |
| Overall Percentage | | | | | 50.5 |

a. Constant is included in the model.

b. The cut value is .500

Variables in the Equation

| | | B | S.E. | Wald | df | Sig. | Exp(B) |
|--------|----------|------|------|------|----|------|--------|
| Step 0 | Constant | .021 | .205 | .011 | 1 | .918 | 1.021 |

Variables not in the Equation

| | | | Score | df | Sig. |
|--------------------|-----------|-------------|-------|----|------|
| Step 0 | Variables | UpGonial | 3.856 | 2 | .145 |
| | | UpGonial(1) | 1.935 | 1 | .164 |
| | | UpGonial(2) | .855 | 1 | .355 |
| Overall Statistics | | | 3.856 | 2 | .145 |

ตารางที่ 12 แสดงการวิเคราะห์ความถดถอยโลจิสติกอย่างง่ายแบบสองกลุ่มของค่ามุมโกเนียด ส่วนบน ที่ระดับนัยสำคัญ 0.05

Block 1: Method = Enter

Omnibus Tests of Model Coefficients

| | | Chi-square | df | Sig. |
|--------|-------|------------|----|------|
| Step 1 | Step | 3.885 | 2 | .143 |
| | Block | 3.885 | 2 | .143 |
| | Model | 3.885 | 2 | .143 |

Model Summary

| Step | -2 Log likelihood | Cox & Snell R Square | Nagelkerke R Square |
|------|----------------------|----------------------|---------------------|
| 1 | 127.803 ^a | .040 | .053 |

a. Estimation terminated at iteration number 3 because parameter estimates changed by less than .001.

Classification Table^a

| Observed | | Predicted | | | |
|--------------------|------|-----------|--------|--------------------|------|
| | | case | | Percentage Correct | |
| | | control | impact | | |
| Step 1 | case | control | 28 | 19 | 59.6 |
| | | impact | 19 | 29 | 60.4 |
| Overall Percentage | | | | | 60.0 |

a. The cut value is .500

ตารางที่ 12 แสดงการวิเคราะห์ความถดถอยโลจิสติกอย่างง่ายแบบสองกลุ่มของค่ามุมโกเนียด ส่วนบน ที่ระดับนัยสำคัญ 0.05

| | B | S.E. | Wald | df | Sig. | Exp(B) | 95.0% C.I. for EXP(B) | |
|----------------|-------------|-------|-------|-------|------|--------|-----------------------|-------------|
| | | | | | | | Lower | Upper |
| Step a 1 | UpGonial | | 3.798 | 2 | .150 | | | |
| | UpGonial(1) | .771 | .448 | 2.963 | 1 | .085 | 2.161 | .899 5.198 |
| | UpGonial(2) | .947 | .694 | 1.865 | 1 | .172 | 2.579 | .662 10.044 |
| | Constant | -.388 | .297 | 1.702 | 1 | .192 | .679 | |

a. Variable(s) entered on step 1: UpGonial.

ตารางที่ 13 แสดงการวิเคราะห์ความถดถอยโลจิสติกอย่างง่ายแบบสองกลุ่มของค่ามุมโกเนียด ส่วนล่าง ที่ระดับนัยสำคัญ 0.05

Case Processing Summary

| Unweighted Cases(a) | | N | Percent |
|---------------------|----------------------|----|---------|
| Selected Cases | Included in Analysis | 95 | 100.0 |
| | Missing Cases | 0 | .0 |
| | Total | 95 | 100.0 |
| Unselected Cases | | 0 | .0 |
| Total | | 95 | 100.0 |

a. If weight is in effect, see classification table for the total number of cases.

ตารางที่ 13 แสดงการวิเคราะห์ความถดถอยโลจิสติกอย่างง่ายแบบสองกลุ่มของค่ามุมโกเนียงล ส่วนล่าง ที่ระดับนัยสำคัญ 0.05

Dependent Variable Encoding

| Original Value | Internal Value |
|----------------|----------------|
| control | 0 |
| impact | 1 |

Categorical Variables Codings

| | | Frequency | Parameter coding | |
|-----------|--------|-----------|------------------|-------|
| | | | (1) | (2) |
| LowGonial | Normal | 43 | .000 | .000 |
| | Small | 36 | 1.000 | .000 |
| | Large | 16 | .000 | 1.000 |

Block 0: Beginning Block

Classification Table^{a,b}

| Observed | | | Predicted | | |
|--------------------|------|---------|-----------|--------|--------------------|
| | | | case | | Percentage Correct |
| | | | control | impact | |
| Step 0 | case | control | 0 | 47 | .0 |
| | | impact | 0 | 48 | 100.0 |
| Overall Percentage | | | | | 50.5 |

a. Constant is included in the model.

b. The cut value is .500

ตารางที่ 13 แสดงการวิเคราะห์ความถดถอยโลจิสติกอย่างง่ายแบบสองกลุ่มของค่ามุมโกเนียด
ส่วนล่าง ที่ระดับนัยสำคัญ 0.05

Variables in the Equation

| | B | S.E. | Wald | df | Sig. | Exp(B) |
|-----------------|------|------|------|----|------|--------|
| Step 0 Constant | .021 | .205 | .011 | 1 | .918 | 1.021 |

Variables not in the Equation

| | Score | df | Sig. |
|--------------------|-------|----|------|
| Step 0 Variables | | | |
| LowGonial | .124 | 2 | .940 |
| LowGonial(1) | .118 | 1 | .732 |
| LowGonial(2) | .002 | 1 | .963 |
| Overall Statistics | .124 | 2 | .940 |

Block 1: Method = Enter

Omnibus Tests of Model Coefficients

| | Chi-square | df | Sig. |
|-------------|------------|----|------|
| Step 1 Step | .124 | 2 | .940 |
| Block | .124 | 2 | .940 |
| Model | .124 | 2 | .940 |

ตารางที่ 13 แสดงการวิเคราะห์ความถดถอยโลจิสติกอย่างง่ายแบบสองกลุ่มของค่ามุมโกเนียด ส่วนล่าง ที่ระดับนัยสำคัญ 0.05

Model Summary

| Step | -2 Log likelihood | Cox & Snell R Square | Nagelkerke R Square |
|------|----------------------|----------------------|---------------------|
| 1 | 131.564 ^a | .001 | .002 |

a. Estimation terminated at iteration number 2 because parameter estimates changed by less than .001.

Classification Table^a

| Observed | Predicted | | | |
|--------------------|-----------|--------|--------------------|------|
| | case | | Percentage Correct | |
| | control | impact | | |
| Step 1 case | control | 22 | 25 | 46.8 |
| | impact | 21 | 27 | 56.3 |
| Overall Percentage | | | | 51.6 |

a. The cut value is .500

Variables in the Equation

| | B | S.E. | Wald | df | Sig. | Exp(B) | 95.0% C.I. for EXP(B) | |
|-------------------|--------------|-------|------|------|------|--------|-----------------------|-------|
| | | | | | | | Lower | Upper |
| Step ^a | | | .124 | 2 | .940 | | | |
| 1 | LowGonial | | .122 | 1 | .727 | 1.171 | .483 | 2.841 |
| | LowGonial(1) | .158 | .452 | .006 | 1 | .937 | 1.048 | 3.302 |
| | LowGonial(2) | .047 | .586 | .023 | 1 | .879 | .955 | |
| | Constant | -.047 | .305 | | | | | |

a. Variable(s) entered on step 1: LowGonial.

ตารางที่ 14 แสดงการวิเคราะห์ความถดถอยโลจิสติกอย่างง่ายแบบสองกลุ่มของค่าความยาวส่วนโค้งแนวพื้นล่างเคลื่อนคลาด ที่ระดับนัยสำคัญ 0.05

Case Processing Summary

| Unweighted Cases(a) | | N | Percent |
|---------------------|----------------------|----|---------|
| Selected Cases | Included in Analysis | 88 | 92.6 |
| | Missing Cases | 7 | 7.4 |
| | Total | 95 | 100.0 |
| Unselected Cases | | 0 | .0 |
| Total | | 95 | 100.0 |

a. If weight is in effect, see classification table for the total number of cases.

Dependent Variable Encoding

| Original Value | Internal Value |
|----------------|----------------|
| control | 0 |
| impact | 1 |

Categorical Variables Codings

| | Frequency | Parameter coding | |
|------------------|-----------|------------------|-------|
| | | (1) | (2) |
| ALDsimple normal | 28 | .000 | .000 |
| crowding | 53 | 1.000 | .000 |
| spacing | 7 | .000 | 1.000 |

ตารางที่ 14 แสดงการวิเคราะห์ความถดถอยโลจิสติคอย่างง่ายแบบสองกลุ่มของค่าความยาวส่วนโค้งแนวพื้นล่างเคลื่อนคลาด ที่ระดับนัยสำคัญ 0.05

Block 0: Beginning Block

Classification Table^{a,b}

| Observed | | | Predicted | | |
|--------------------|------|---------|-----------|--------|--------------------|
| | | | case | | Percentage Correct |
| | | | control | impact | |
| Step 0 | case | control | 47 | 0 | 100.0 |
| | | impact | 41 | 0 | .0 |
| Overall Percentage | | | | | 53.4 |

a. Constant is included in the model.

b. The cut value is .500

Variables in the Equation

| | | B | S.E. | Wald | df | Sig. | Exp(B) |
|--------|----------|-------|------|------|----|------|--------|
| Step 0 | Constant | -.137 | .214 | .408 | 1 | .523 | .872 |

จุฬาลงกรณ์มหาวิทยาลัย

ตารางที่ 14 แสดงการวิเคราะห์ความถดถอยโลจิสติกอย่างง่ายแบบสองกลุ่มของค่าความยาวส่วนโค้งแนวพื้นล่างเคลื่อนคลาด ที่ระดับนัยสำคัญ 0.05

Variables not in the Equation

| | Score | df | Sig. |
|--------------------|-------|----|------|
| Step 0 Variables | | | |
| ALDsimple | 7.009 | 2 | .030 |
| ALDsimple(1) | 1.383 | 1 | .240 |
| ALDsimple(2) | 3.190 | 1 | .074 |
| Overall Statistics | 7.009 | 2 | .030 |

Block 1: Method = Enter

Omnibus Tests of Model Coefficients

| | Chi-square | df | Sig. |
|-------------|------------|----|------|
| Step 1 Step | 7.407 | 2 | .025 |
| Block | 7.407 | 2 | .025 |
| Model | 7.407 | 2 | .025 |

Model Summary

| Step | -2 Log likelihood | Cox & Snell R Square | Nagelkerke R Square |
|------|----------------------|----------------------|---------------------|
| 1 | 114.178 ^a | .081 | .108 |

a. Estimation terminated at iteration number 4 because parameter estimates changed by less than .001.

ตารางที่ 14 แสดงการวิเคราะห์ความถดถอยโลจิสติคอย่างง่ายแบบสองกลุ่มของค่าความยาวส่วนโค้งแนวพื้นล่างเคลื่อนคลาด ที่ระดับนัยสำคัญ 0.05

Classification Table^a

| Observed | | | Predicted | | |
|--------------------|------|---------|-----------|--------|-----------------------|
| | | | case | | Percentage Correct |
| | | | control | impact | |
| Step 1 | case | control | 37 | 10 | 78.7 |
| | | impact | 23 | 18 | 43.9 |
| Overall Percentage | | | | | 62.5 |

a. The cut value is .500

Variables in the Equation

| | | B | S.E. | Wald | df | Sig. | Exp(B) | 95.0% C.I. for EXP(B) | |
|------|--------------|--------|-------|-------|----|------|--------|-----------------------|-------|
| | | | | | | | | Lower | Upper |
| Step | ALDsimple | | | 6.253 | 2 | .044 | | | |
| a | ALDsimple(1) | -.931 | .483 | 3.714 | 1 | .054 | .394 | .153 | 1.016 |
| 1 | ALDsimple(2) | -2.380 | 1.150 | 4.282 | 1 | .039 | .093 | .010 | .882 |
| | Constant | .588 | .394 | 2.221 | 1 | .136 | 1.800 | | |

a. Variable(s) entered on step 1: ALDsimple.

ศูนย์วิทยทรัพยากร
จุฬาลงกรณ์มหาวิทยาลัย

ตารางที่ 15 แสดงการวิเคราะห์ความถดถอยโลจิสติกอย่างง่ายแบบสองกลุ่มของค่าความกว้าง
ส่วนหลังของส่วนโค้งแนวพื้นล่าง ที่ระดับนัยสำคัญ 0.05

Case Processing Summary

| Unweighted Cases(a) | | N | Percent |
|---------------------|----------------------|----|---------|
| Selected Cases | Included in Analysis | 88 | 92.6 |
| | Missing Cases | 7 | 7.4 |
| | Total | 95 | 100.0 |
| Unselected Cases | | 0 | .0 |
| Total | | 95 | 100.0 |

a If weight is in effect, see classification table for the total number of cases.

Dependent Variable Encoding

| Original Value | Internal Value |
|----------------|----------------|
| control | 0 |
| impact | 1 |

Categorical Variables Codings

| | | Frequency | Parameter coding | |
|-----|--------|-----------|------------------|-------|
| | | | (1) | (2) |
| PAW | Normal | 41 | .000 | .000 |
| | Small | 18 | 1.000 | .000 |
| | Large | 29 | .000 | 1.000 |

ตารางที่ 15 แสดงการวิเคราะห์ความถดถอยโลจิสติกอย่างง่ายแบบสองกลุ่มของค่าความกว้าง ส่วนหลังของส่วนโค้งแนวพีนล่าง ที่ระดับนัยสำคัญ 0.05

Block 0: Beginning Block

Classification Table^{a,b}

| Observed | | | Predicted | | |
|--------------------|------|---------|-----------|--------|--------------------|
| | | | case | | Percentage Correct |
| | | | control | impact | |
| Step 0 | case | control | 47 | 0 | 100.0 |
| | | impact | 41 | 0 | .0 |
| Overall Percentage | | | | | 53.4 |

a. Constant is included in the model.

b. The cut value is .500

Variables in the Equation

| | | B | S.E. | Wald | df | Sig. | Exp(B) |
|--------|----------|-------|------|------|----|------|--------|
| Step 0 | Constant | -.137 | .214 | .408 | 1 | .523 | .872 |

Variables not in the Equation

| | | | Score | df | Sig. |
|--------------------|-----------|--------|-------|----|------|
| Step 0 | Variables | PAW | 6.389 | 2 | .041 |
| | | PAW(1) | 1.598 | 1 | .206 |
| | | PAW(2) | 6.227 | 1 | .013 |
| Overall Statistics | | | 6.389 | 2 | .041 |

ตารางที่ 15 แสดงการวิเคราะห์ความถดถอยโลจิสติกอย่างง่ายแบบสองกลุ่มของค่าความกว้าง ส่วนหลังของส่วนโค้งแนวพื้นล่าง ที่ระดับนัยสำคัญ 0.05

Block 1: Method = Enter

Omnibus Tests of Model Coefficients

| | Chi-square | df | Sig. |
|-------------|------------|----|------|
| Step 1 Step | 6.461 | 2 | .040 |
| Block | 6.461 | 2 | .040 |
| Model | 6.461 | 2 | .040 |

Model Summary

| Step | -2 Log likelihood | Cox & Snell R Square | Nagelkerke R Square |
|------|----------------------|----------------------|---------------------|
| 1 | 115.124 ^a | .071 | .095 |

a. Estimation terminated at iteration number 3 because parameter estimates changed by less than .001.

Classification Table^a

| Observed | | | Predicted | | |
|--------------------|---------|----|-----------|--------|--------------------|
| | | | case | | Percentage Correct |
| | | | control | impact | |
| Step 1 case | control | 37 | 10 | 78.7 | |
| | impact | 22 | 19 | 46.3 | |
| Overall Percentage | | | | 63.6 | |

a. The cut value is .500

ตารางที่ 15 แสดงการวิเคราะห์ความถดถอยโลจิสติกอย่างง่ายแบบสองกลุ่มของค่าความกว้าง ส่วนหลังของส่วนโค้งแนวพื้นล่าง ที่ระดับนัยสำคัญ 0.05

| Variables in the Equation | | | | | | | 95.0% C.I. for EXP(B) | | |
|---------------------------|----------|-------|------|-------|----|------|-----------------------|-------|-------|
| | | B | S.E. | Wald | df | Sig. | Exp(B) | Lower | Upper |
| Step a 1 | PAW | | | 6.144 | 2 | .046 | | | |
| | PAW(1) | -.247 | .594 | .173 | 1 | .678 | .781 | .244 | 2.501 |
| | PAW(2) | 1.088 | .505 | 4.641 | 1 | .031 | 2.969 | 1.103 | 7.990 |
| | Constant | -.446 | .320 | 1.943 | 1 | .163 | .640 | | |

a. Variable(s) entered on step 1: PAW.

ตารางที่ 16 แสดงการวิเคราะห์ความถดถอยโลจิสติกอย่างง่ายแบบสองกลุ่มของค่าขนาดโค้งสปี ที่ระดับนัยสำคัญ 0.05

Case Processing Summary

| Unweighted Cases(a) | | N | Percent |
|---------------------|----------------------|----|---------|
| Selected Cases | Included in Analysis | 88 | 92.6 |
| | Missing Cases | 7 | 7.4 |
| | Total | 95 | 100.0 |
| Unselected Cases | | 0 | .0 |
| Total | | 95 | 100.0 |

a. If weight is in effect, see classification table for the total number of cases.

Dependent Variable Encoding

| Original Value | Internal Value |
|----------------|----------------|
| control | 0 |
| impact | 1 |

ตารางที่ 16 แสดงการวิเคราะห์ความถดถอยโลจิสติกอย่างง่ายแบบสองกลุ่มของค่าขนาดโค้งสปี
ที่ระดับนัยสำคัญ 0.05

Categorical Variables Codings

| | | Frequency | Paramete |
|------|--------|-----------|----------|
| | | | (1) |
| Spee | Normal | 54 | .000 |
| | Deep | 34 | 1.000 |

Block 0: Beginning Block

Classification Table^{a,b}

| Observed | | | Predicted | | |
|--------------------|------|---------|-----------|--------|-----------------------|
| | | | case | | Percentage Correct |
| | | | control | impact | |
| Step 0 | case | control | 47 | 0 | 100.0 |
| | | impact | 41 | 0 | .0 |
| Overall Percentage | | | | | 53.4 |

a. Constant is included in the model.

b. The cut value is .500

Variables in the Equation

| | | B | S.E. | Wald | df | Sig. | Exp(B) |
|--------|----------|-------|------|------|----|------|--------|
| Step 0 | Constant | -.137 | .214 | .408 | 1 | .523 | .872 |

ตารางที่ 16 แสดงการวิเคราะห์ความถดถอยโลจิสติกอย่างง่ายแบบสองกลุ่มของค่าขนาดโค้งสปี
ที่ระดับนัยสำคัญ 0.05

Variables not in the Equation

| | Score | df | Sig. |
|--------------------------|--------|----|------|
| Step 0 Variables Spee(1) | 18.654 | 1 | .000 |
| Overall Statistics | 18.654 | 1 | .000 |

Block 1: Method = Enter

Omnibus Tests of Model Coefficients

| | Chi-square | df | Sig. |
|-------------|------------|----|------|
| Step 1 Step | 19.849 | 1 | .000 |
| Block | 19.849 | 1 | .000 |
| Model | 19.849 | 1 | .000 |

Model Summary

| Step | -2 Log likelihood | Cox & Snell R Square | Nagelkerke R Square |
|------|----------------------|----------------------|---------------------|
| 1 | 101.735 ^a | .202 | .270 |

a. Estimation terminated at iteration number 4 because parameter estimates changed by less than .001.

ตารางที่ 16 แสดงการวิเคราะห์ความถดถอยโลจิสติกอย่างง่ายแบบสองกลุ่มของค่าขนาดโค้งสปี
ที่ระดับนัยสำคัญ 0.05

Classification Table^a

| Observed | | | Predicted | | |
|----------|--------------------|---------|-----------|--------|-----------------------|
| | | | case | | Percentage Correct |
| | | | control | impact | |
| Step 1 | case | control | 28 | 19 | 59.6 |
| | | impact | 6 | 35 | 85.4 |
| | Overall Percentage | | | | 71.6 |

a. The cut value is .500

Variables in the Equation

| | | B | S.E. | Wald | df | Sig. | Exp(B) | 95.0% C.I. for EXP(B) | |
|-------------------|----------|--------|------|--------|----|------|--------|-----------------------|-------|
| | | | | | | | | Lower | Upper |
| Step ^a | Spee(1) | -2.151 | .533 | 16.321 | 1 | .000 | .116 | .041 | .330 |
| 1 | Constant | .611 | .285 | 4.596 | 1 | .032 | 1.842 | | |

a. Variable(s) entered on step 1: Spee.

ศูนย์วิทยทรัพยากร
จุฬาลงกรณ์มหาวิทยาลัย

ตารางที่ 17 แสดงข้อมูลที่ได้จากภาพรังสีก่อนการรักษาของตัวอย่างจำนวน 95 คนที่ใช้ในการวิเคราะห์ความถดถอยโลจิสติคอย่างง่ายแบบสองกลุ่ม

| Number | Sex | Case | Age | Gonial angle | Upper gonial angle | Lower gonial angle | Effective length of mandible | Mandibular arc | Ramus height | Corpus length | Mandibular length |
|--------|--------|----------|-----|--------------|--------------------|--------------------|------------------------------|----------------|--------------|---------------|-------------------|
| 1 | Male | impacted | 11 | Deep bite | Normal | Increased | Decreased | Brachyfacial | Increased | Normal | Normal |
| 2 | Male | impacted | 11 | Open bite | Increased | Normal | Increased | Mesofacial | Normal | Increased | Increased |
| 3 | Male | impacted | 11 | Deep bite | Decreased | Decreased | Increased | Brachyfacial | Increased | Normal | Increased |
| 4 | Female | impacted | 11 | Normal bite | Increased | Decreased | Increased | Mesofacial | Increased | Normal | Increased |
| 5 | Female | impacted | 13 | Deep bite | Normal | Decreased | Normal | Brachyfacial | Normal | Increased | Increased |
| 6 | Female | impacted | 10 | Normal bite | Normal | Normal | Normal | Mesofacial | Normal | Normal | Normal |
| 7 | Female | impacted | 12 | Normal bite | Increased | Decreased | Normal | Mesofacial | Increased | Normal | Normal |
| 8 | Male | impacted | 11 | Normal bite | Increased | Decreased | Increased | Mesofacial | Normal | Normal | Normal |
| 9 | Female | impacted | 10 | Deep bite | Decreased | Normal | Normal | Mesofacial | Increased | Decreased | Decreased |
| 10 | Male | impacted | 20 | Normal bite | Normal | Normal | Normal | Mesofacial | Decreased | Normal | Increased |
| 11 | Male | impacted | 19 | Deep bite | Decreased | Decreased | Decreased | Brachyfacial | Normal | Decreased | Normal |
| 12 | Female | impacted | 28 | Normal bite | Normal | Normal | Increased | Brachyfacial | Increased | Increased | Increased |
| 13 | Female | impacted | 17 | Deep bite | Decreased | Decreased | Decreased | Brachyfacial | Normal | Decreased | Normal |
| 14 | Female | impacted | 19 | Normal bite | Decreased | Normal | Increased | Mesofacial | Normal | Normal | Normal |

ศูนย์วิทยุทันตกรรม
จุฬาลงกรณ์มหาวิทยาลัย

ตารางที่ 17 แสดงข้อมูลที่ได้จากภาพรังสีก่อนการรักษาของตัวอย่างจำนวน 95 คนที่ใช้ในการวิเคราะห์ความถดถอยโลจิสติคอย่างง่ายแบบสองกลุ่ม

| Number | Sex | Case | Age | Gonial angle | Upper gonial angle | Lower gonial angle | Effective length of mandible | Mandibular arc | Ramus height | Corpus length | Mandibular length |
|--------|--------|----------|-----|--------------|--------------------|--------------------|------------------------------|----------------|--------------|---------------|-------------------|
| 15 | Female | impacted | 19 | Normal bite | Decreased | Normal | Increased | Mesofacial | Normal | Normal | Normal |
| 16 | Female | impacted | 18 | Normal bite | Normal | Increased | Normal | Mesofacial | Normal | Normal | Normal |
| 17 | Female | impacted | 18 | Deep bite | Normal | Decreased | Normal | Brachyfacial | Normal | Normal | Normal |
| 18 | Male | impacted | 12 | Deep bite | Decreased | Decreased | Normal | Brachyfacial | Increased | Normal | Normal |
| 19 | Female | impacted | 12 | Deep bite | Decreased | Decreased | Normal | Brachyfacial | Increased | Normal | Increased |
| 20 | Female | impacted | 14 | Deep bite | Normal | Normal | Normal | Mesofacial | Increased | Normal | Normal |
| 21 | Female | impacted | 11 | Normal bite | Decreased | Normal | Normal | Dolichofacial | Normal | Normal | Normal |
| 22 | Female | impacted | 12 | Normal bite | Decreased | Increased | Normal | Dolichofacial | Normal | Decreased | Normal |
| 23 | Female | impacted | 11 | Deep bite | Decreased | Decreased | Normal | Brachyfacial | Normal | Normal | Increased |
| 24 | Female | impacted | 11 | Deep bite | Increased | Normal | Increased | Brachyfacial | Increased | Increased | Increased |
| 25 | Female | impacted | 11 | Deep bite | Increased | Increased | Decreased | Mesofacial | Normal | Decreased | Decreased |
| 26 | Female | impacted | 11 | Normal bite | Increased | Increased | Normal | Mesofacial | Decreased | Normal | Increased |
| 27 | Male | impacted | 13 | Deep bite | Decreased | Decreased | Increased | Brachyfacial | Increased | Normal | Increased |
| 28 | Male | impacted | 11 | Normal bite | Decreased | Increased | Normal | Mesofacial | Normal | Normal | Normal |

ศูนย์วิทยทรัพยากร
จุฬาลงกรณ์มหาวิทยาลัย

ตารางที่ 17 แสดงข้อมูลที่ได้จากภาพรังสีก่อนการรักษาของตัวอย่างจำนวน 95 คนที่ใช้ในการวิเคราะห์ความถดถอยโลจิสติคอย่างง่ายแบบสองกลุ่ม

| Number | Sex | Case | Age | Gonial angle | Upper gonial angle | Lower gonial angle | Effective length of mandible | Mandibular arc | Ramus height | Corpus length | Mandibular length |
|--------|--------|----------|-----|--------------|--------------------|--------------------|------------------------------|----------------|--------------|---------------|-------------------|
| 29 | Female | impacted | 14 | Normal bite | Decreased | Normal | Decreased | Mesofacial | Decreased | Normal | Normal |
| 30 | Female | impacted | 11 | Normal bite | Normal | Normal | Increased | Dolichofacial | Normal | Normal | Increased |
| 31 | Female | impacted | 12 | Deep bite | Normal | Decreased | Normal | Brachyfacial | Increased | Normal | Normal |
| 32 | Female | impacted | 11 | Deep bite | Normal | Decreased | Normal | Brachyfacial | Normal | Normal | Normal |
| 33 | Male | impacted | 14 | Deep bite | Decreased | Decreased | Normal | Brachyfacial | Increased | Normal | Normal |
| 34 | Female | impacted | 13 | Deep bite | Normal | Decreased | Decreased | Mesofacial | Decreased | Decreased | Normal |
| 35 | Female | impacted | 12 | Open bite | Normal | Normal | Decreased | Dolichofacial | Normal | Decreased | Normal |
| 36 | Female | impacted | 13 | Normal bite | Decreased | Normal | Normal | Mesofacial | Normal | Decreased | Normal |
| 37 | Female | impacted | 12 | Deep bite | Normal | Decreased | Normal | Mesofacial | Normal | Increased | Increased |
| 38 | Female | impacted | 10 | Normal bite | Decreased | Increased | Normal | Brachyfacial | Normal | Normal | Normal |
| 39 | Male | impacted | 16 | Deep bite | Decreased | Decreased | Normal | Brachyfacial | Normal | Normal | Normal |
| 40 | Male | impacted | 19 | Deep bite | Decreased | Normal | Normal | Dolichofacial | Normal | Normal | Normal |
| 41 | Male | impacted | 13 | Normal bite | Normal | Normal | Normal | Mesofacial | Normal | Normal | Normal |
| 42 | Male | impacted | 10 | Normal bite | Normal | Normal | Increased | Dolichofacial | Decreased | Increased | Increased |

ศูนย์วิจัยทันตวิทยา
จุฬาลงกรณ์มหาวิทยาลัย

ตารางที่ 17 แสดงข้อมูลที่ได้จากภาพรังสีก่อนการรักษาของตัวอย่างจำนวน 95 คนที่ใช้ในการวิเคราะห์ความถดถอยโลจิสติคอย่างง่ายแบบสองกลุ่ม

| Number | Sex | Case | Age | Gonial angle | Upper gonial angle | Lower gonial angle | Effective length of mandible | Mandibular arc | Ramus height | Corpus length | Mandibular length |
|--------|--------|----------|-----|--------------|--------------------|--------------------|------------------------------|----------------|--------------|---------------|-------------------|
| 43 | Female | impacted | 14 | Normal bite | Normal | Normal | Normal | Mesofacial | Normal | Normal | Normal |
| 44 | Female | impacted | 13 | Normal bite | Normal | Normal | Increased | Mesofacial | Normal | Increased | Increased |
| 45 | Female | control | 13 | Deep bite | Normal | Normal | Decreased | Mesofacial | Normal | Normal | Normal |
| 46 | Female | control | 13 | Deep bite | Normal | Normal | Normal | Mesofacial | Increased | Normal | Normal |
| 47 | Female | control | 20 | Deep bite | Decreased | Normal | Normal | Brachyfacial | Normal | Normal | Normal |
| 48 | Male | control | 13 | Deep bite | Normal | Decreased | Normal | Brachyfacial | Normal | Normal | Normal |
| 49 | Male | control | 14 | Normal bite | Normal | Increased | Normal | Mesofacial | Normal | Normal | Normal |
| 50 | Male | control | 11 | Deep bite | Decreased | Decreased | Normal | Brachyfacial | Increased | Normal | Normal |
| 51 | Female | control | 12 | Normal bite | Normal | Normal | Normal | Dolichofacial | Normal | Normal | Normal |
| 52 | Female | control | 11 | Normal bite | Normal | Normal | Normal | Mesofacial | Normal | Normal | Normal |
| 53 | Female | control | 11 | Normal bite | Normal | Increased | Decreased | Mesofacial | Normal | Decreased | Decreased |
| 54 | Female | control | 11 | Normal bite | Normal | Normal | Normal | Dolichofacial | Normal | Increased | Increased |
| 55 | Male | control | 13 | Deep bite | Normal | Decreased | Normal | Brachyfacial | Normal | Normal | Normal |
| 56 | Female | control | 12 | Normal bite | Normal | Decreased | Decreased | Brachyfacial | Normal | Normal | Normal |

ศูนย์วิจัยทันตวิทยา
จุฬาลงกรณ์มหาวิทยาลัย

ตารางที่ 17 แสดงข้อมูลที่ได้จากภาพรังสีก่อนการรักษาของตัวอย่างจำนวน 95 คนที่ใช้ในการวิเคราะห์ความถดถอยโลจิสติคอย่างง่ายแบบสองกลุ่ม

| Number | Sex | Case | Age | Gonial angle | Upper gonial angle | Lower gonial angle | Effective length of mandible | Mandibular arc | Ramus height | Corpus length | Mandibular length |
|--------|--------|---------|-----|--------------|--------------------|--------------------|------------------------------|----------------|--------------|---------------|-------------------|
| 57 | Male | control | 11 | Normal bite | Normal | Increased | Increased | Dolichofacial | Normal | Normal | Normal |
| 58 | Female | control | 14 | Normal bite | Decreased | Normal | Normal | Mesofacial | Increased | Normal | Normal |
| 59 | Female | control | 14 | Normal bite | Normal | Increased | Normal | Mesofacial | Normal | Decreased | Normal |
| 60 | Female | control | 13 | Deep bite | Normal | Decreased | Normal | Mesofacial | Normal | Normal | Normal |
| 61 | Male | control | 11 | Deep bite | Decreased | Decreased | Increased | Mesofacial | Increased | Increased | Increased |
| 62 | Female | control | 14 | Normal bite | Normal | Decreased | Decreased | Mesofacial | Decreased | Decreased | Normal |
| 63 | Female | control | 11 | Deep bite | Decreased | Normal | Normal | Mesofacial | Normal | Normal | Increased |
| 64 | Female | control | 14 | Deep bite | Normal | Normal | Normal | Mesofacial | Increased | Normal | Normal |
| 65 | Male | control | 13 | Open bite | Normal | Increased | Normal | Mesofacial | Normal | Normal | Normal |
| 66 | Male | control | 14 | Normal bite | Normal | Normal | Normal | Brachyfacial | Normal | Normal | Normal |
| 67 | Female | control | 13 | Normal bite | Increased | Normal | Normal | Mesofacial | Normal | Increased | Normal |
| 68 | Male | control | 12 | Deep bite | Decreased | Normal | Decreased | Mesofacial | Normal | Decreased | Normal |
| 69 | Male | control | 11 | Normal bite | Normal | Normal | Decreased | Dolichofacial | Decreased | Normal | Normal |
| 70 | Female | control | 11 | Deep bite | Normal | Decreased | Decreased | Mesofacial | Normal | Normal | Normal |

ศูนย์วิจัยทันตวิทยา
จุฬาลงกรณ์มหาวิทยาลัย

ตารางที่ 17 แสดงข้อมูลที่ได้จากภาพรังสีก่อนการรักษาของตัวอย่างจำนวน 95 คนที่ใช้ในการวิเคราะห์ความถดถอยโลจิสติคอย่างง่ายแบบสองกลุ่ม

| Number | Sex | Case | Age | Gonial angle | Upper gonial angle | Lower gonial angle | Effective length of mandible | Mandibular arc | Ramus height | Corpus length | Mandibular length |
|--------|--------|---------|-----|--------------|--------------------|--------------------|------------------------------|----------------|--------------|---------------|-------------------|
| 71 | Female | control | 11 | Deep bite | Decreased | Decreased | Decreased | Mesofacial | Normal | Decreased | Normal |
| 72 | Female | control | 11 | Normal bite | Increased | Decreased | Decreased | Mesofacial | Decreased | Normal | Normal |
| 73 | Male | control | 11 | Deep bite | Normal | Increased | Normal | Dolichofacial | Decreased | Normal | Increased |
| 74 | Male | control | 11 | Deep bite | Normal | Decreased | Decreased | Mesofacial | Normal | Normal | Normal |
| 75 | Female | control | 11 | Open bite | Increased | Normal | Normal | Dolichofacial | Decreased | Normal | Normal |
| 76 | Female | control | 12 | Deep bite | Decreased | Normal | Decreased | Dolichofacial | Normal | Decreased | Decreased |
| 77 | Female | control | 11 | Normal bite | Decreased | Increased | Normal | Mesofacial | Normal | Normal | Normal |
| 78 | Female | control | 11 | Normal bite | Normal | Increased | Decreased | Dolichofacial | Normal | Normal | Normal |
| 79 | Male | control | 11 | Deep bite | Decreased | Normal | Increased | Mesofacial | Increased | Increased | Increased |
| 80 | Male | control | 12 | Normal bite | Normal | Normal | Normal | Mesofacial | Increased | Normal | Normal |
| 81 | Female | control | 14 | Deep bite | Normal | Decreased | Decreased | Brachyfacial | Normal | Normal | Normal |
| 82 | Male | control | 14 | Normal bite | Normal | Normal | Normal | Dolichofacial | Decreased | Normal | Normal |
| 83 | Male | control | 12 | Deep bite | Normal | Decreased | Normal | Brachyfacial | Normal | Normal | Normal |
| 84 | Male | control | 13 | Deep bite | Decreased | Normal | Increased | Mesofacial | Increased | Normal | Normal |

ตารางที่ 17 แสดงข้อมูลที่ได้จากภาพรังสีก่อนการรักษาของตัวอย่างจำนวน 95 คนที่ใช้ในการวิเคราะห์ความถดถอยโลจิสติคอย่างง่ายแบบสองกลุ่ม

| Number | Sex | Case | Age | Gonial angle | Upper gonial angle | Lower gonial angle | Effective length of mandible | Mandibular arc | Ramus height | Corpus length | Mandibular length |
|--------|--------|----------|-----|--------------|--------------------|--------------------|------------------------------|----------------|--------------|---------------|-------------------|
| 85 | Male | control | 13 | Deep bite | Normal | Decreased | Normal | Mesofacial | Normal | Normal | Normal |
| 86 | Female | control | 10 | Normal bite | Normal | Decreased | Normal | Mesofacial | Decreased | Normal | Normal |
| 87 | Female | control | 19 | Normal bite | Decreased | Normal | Normal | Mesofacial | Normal | Normal | Normal |
| 88 | Male | control | 28 | Deep bite | Decreased | Decreased | Normal | Brachyfacial | Normal | Normal | Normal |
| 89 | Female | control | 18 | Normal bite | Decreased | Normal | Normal | Mesofacial | Normal | Normal | Normal |
| 90 | Male | control | 17 | Deep bite | Decreased | Decreased | Decreased | Brachyfacial | Increased | Normal | Normal |
| 91 | Female | control | 20 | Normal bite | Increased | Normal | Increased | Brachyfacial | Normal | Increased | Normal |
| 92 | Female | impacted | 12 | Normal bite | Decreased | Decreased | Increased | Brachyfacial | Increased | Increased | Increased |
| 93 | Male | impacted | 12 | Normal bite | Normal | Increased | Normal | Mesofacial | Normal | Normal | Normal |
| 94 | Female | impacted | 12 | Normal bite | Decreased | Normal | Normal | Mesofacial | Decreased | Normal | Normal |
| 95 | Female | impacted | 19 | Normal bite | Decreased | Normal | Normal | Mesofacial | Normal | Normal | Normal |

ศูนย์วิทยุทันตวิทยา
จุฬาลงกรณ์มหาวิทยาลัย

ตารางที่ 18 แสดงข้อมูลที่ได้จากแบบจำลองฟันก่อนการรักษาทันของตัวอย่างจำนวน 95 คนที่ใช้ในการวิเคราะห์ความถดถอยโลจิสติกอย่างง่ายแบบสองกลุ่ม

| Number | Sex | Case | Age | Lower ALD | PAW | Curve of Spee |
|--------|--------|----------|-----|-----------|-----------|---------------|
| 1 | Male | impacted | 11 | Normal | Increased | Excessive |
| 2 | Male | impacted | 11 | Normal | Normal | Normal |
| 3 | Male | impacted | 11 | . | . | . |
| 4 | Female | impacted | 11 | . | . | . |
| 5 | Female | impacted | 13 | Normal | Increased | Normal |
| 6 | Female | impacted | 10 | Normal | Normal | Normal |
| 7 | Female | impacted | 12 | . | . | . |
| 8 | Male | impacted | 11 | Crowding | Decreased | Normal |
| 9 | Female | impacted | 10 | Crowding | Decreased | Excessive |
| 10 | Male | impacted | 20 | Normal | Normal | Normal |
| 11 | Male | impacted | 19 | Normal | Increased | Normal |
| 12 | Female | impacted | 28 | Normal | Increased | Normal |

ตารางที่ 18 แสดงข้อมูลที่ได้จากแบบจำลองฟันก่อนการรักษาของตัวอย่างจำนวน 95 คนที่ใช้ในการวิเคราะห์ความถดถอยโลจิสติคอย่างง่ายแบบสองกลุ่ม

| Number | Sex | Case | Age | Lower ALD | PAW | Curve of Spee |
|--------|--------|----------|-----|-----------|-----------|---------------|
| 13 | Female | impacted | 17 | Crowding | Increased | Normal |
| 14 | Female | impacted | 19 | Crowding | Normal | Normal |
| 15 | Female | impacted | 19 | Spacing | Increased | Normal |
| 16 | Female | impacted | 18 | Crowding | Normal | Normal |
| 17 | Female | impacted | 18 | . | . | . |
| 18 | Male | impacted | 12 | Crowding | Increased | Normal |
| 19 | Female | impacted | 12 | Normal | Increased | Normal |
| 20 | Female | impacted | 14 | Crowding | Increased | Normal |
| 21 | Female | impacted | 11 | . | . | . |
| 22 | Female | impacted | 12 | Normal | Normal | Normal |
| 23 | Female | impacted | 11 | Normal | Normal | Normal |
| 24 | Female | impacted | 11 | Normal | Increased | Normal |
| 25 | Female | impacted | 11 | Crowding | Decreased | Excessive |
| 26 | Female | impacted | 11 | Crowding | Normal | Normal |

ตารางที่ 18 แสดงข้อมูลที่ได้จากแบบจำลองฟันก่อนการรักษาของตัวอย่างจำนวน 95 คนที่ใช้ในการวิเคราะห์ความถดถอยโลจิสติคอย่างง่ายแบบสองกลุ่ม

| Number | Sex | Case | Age | Lower ALD | PAW | Curve of Spee |
|--------|--------|----------|-----|-----------|-----------|---------------|
| 27 | Male | impacted | 13 | Normal | Normal | Normal |
| 28 | Male | impacted | 11 | . | . | . |
| 29 | Female | impacted | 14 | Crowding | Normal | Normal |
| 30 | Female | impacted | 11 | . | . | . |
| 31 | Female | impacted | 12 | Normal | Normal | Normal |
| 32 | Female | impacted | 11 | Crowding | Normal | Normal |
| 33 | Male | impacted | 14 | Crowding | Decreased | Normal |
| 34 | Female | impacted | 13 | Crowding | Increased | Normal |
| 35 | Female | impacted | 12 | Normal | Decreased | Excessive |
| 36 | Female | impacted | 13 | Crowding | Normal | Normal |
| 37 | Female | impacted | 12 | Normal | Decreased | Normal |
| 38 | Female | impacted | 10 | Crowding | Normal | Normal |
| 39 | Male | impacted | 16 | Crowding | Increased | Normal |
| 40 | Male | impacted | 19 | Crowding | Increased | Normal |

ตารางที่ 18 แสดงข้อมูลที่ได้จากแบบจำลองฟันก่อนการรักษาของตัวอย่างจำนวน 95 คนที่ใช้ในการวิเคราะห์ความถดถอยโลจิสติคอย่างง่ายแบบสองกลุ่ม

| Number | Sex | Case | Age | Lower ALD | PAW | Curve of Spee |
|--------|--------|----------|-----|-----------|-----------|---------------|
| 41 | Male | impacted | 13 | Crowding | Increased | Excessive |
| 42 | Male | impacted | 10 | Normal | Normal | Normal |
| 43 | Female | impacted | 14 | Crowding | Increased | Normal |
| 44 | Female | impacted | 13 | Crowding | Increased | Normal |
| 45 | Female | control | 13 | Crowding | Normal | Excessive |
| 46 | Female | control | 13 | Spacing | Normal | Normal |
| 47 | Female | control | 20 | Crowding | Normal | Excessive |
| 48 | Male | control | 13 | Normal | Increased | Excessive |
| 49 | Male | control | 14 | Crowding | Increased | Excessive |
| 50 | Male | control | 11 | Crowding | Decreased | Normal |
| 51 | Female | control | 12 | Crowding | Decreased | Excessive |
| 52 | Female | control | 11 | Normal | Normal | Normal |
| 53 | Female | control | 11 | Normal | Decreased | Normal |
| 54 | Female | control | 11 | Normal | Increased | Excessive |

ตารางที่ 18 แสดงข้อมูลที่ได้จากแบบจำลองฟันก่อนการรักษาของตัวอย่างจำนวน 95 คนที่ใช้ในการวิเคราะห์ความถดถอยโลจิสติคอย่างง่ายแบบสองกลุ่ม

| Number | Sex | Case | Age | Lower ALD | PAW | Curve of Spee |
|--------|--------|---------|-----|-----------|-----------|---------------|
| 55 | Male | control | 13 | Crowding | Decreased | Excessive |
| 56 | Female | control | 12 | Spacing | Normal | Excessive |
| 57 | Male | control | 11 | Crowding | Normal | Excessive |
| 58 | Female | control | 14 | Normal | Normal | Excessive |
| 59 | Female | control | 14 | Crowding | Normal | Normal |
| 60 | Female | control | 13 | Crowding | Decreased | Excessive |
| 61 | Male | control | 11 | Crowding | Increased | Normal |
| 62 | Female | control | 14 | Crowding | Normal | Excessive |
| 63 | Female | control | 11 | Crowding | Decreased | Normal |
| 64 | Female | control | 14 | Crowding | Increased | Normal |
| 65 | Male | control | 13 | Spacing | Increased | Excessive |
| 66 | Male | control | 14 | Crowding | Decreased | Excessive |
| 67 | Female | control | 13 | Crowding | Normal | Excessive |
| 68 | Male | control | 12 | Crowding | Normal | Excessive |

ตารางที่ 18 แสดงข้อมูลที่ได้จากแบบจำลองฟันก่อนการรักษาของตัวอย่างจำนวน 95 คนที่ใช้ในการวิเคราะห์ความถดถอยโลจิสติคอย่างง่ายแบบสองกลุ่ม

| Number | Sex | Case | Age | Lower ALD | PAW | Curve of Spee |
|--------|--------|---------|-----|-----------|-----------|---------------|
| 69 | Male | control | 11 | Normal | Normal | Excessive |
| 70 | Female | control | 11 | Crowding | Normal | Excessive |
| 71 | Female | control | 11 | Crowding | Normal | Excessive |
| 72 | Female | control | 11 | Spacing | Normal | Excessive |
| 73 | Male | control | 11 | Crowding | Normal | Excessive |
| 74 | Male | control | 11 | Crowding | Increased | Excessive |
| 75 | Female | control | 11 | Normal | Increased | Normal |
| 76 | Female | control | 12 | Crowding | Normal | Excessive |
| 77 | Female | control | 11 | Crowding | Normal | Normal |
| 78 | Female | control | 11 | Crowding | Normal | Normal |
| 79 | Male | control | 11 | Crowding | Decreased | Excessive |
| 80 | Male | control | 12 | Normal | Increased | Normal |
| 81 | Female | control | 14 | Normal | Normal | Normal |
| 82 | Male | control | 14 | Normal | Decreased | Excessive |

ตารางที่ 18 แสดงข้อมูลที่ได้จากแบบจำลองฟันก่อนการรักษาของตัวอย่างจำนวน 95 คนที่ใช้ในการวิเคราะห์ความถดถอยโลจิสติคอย่างง่ายแบบสองกลุ่ม

| Number | Sex | Case | Age | Lower ALD | PAW | Curve of Spee |
|--------|--------|----------|-----|-----------|-----------|---------------|
| 83 | Male | control | 12 | Spacing | Normal | Excessive |
| 84 | Male | control | 13 | Crowding | Increased | Normal |
| 85 | Male | control | 13 | Crowding | Decreased | Normal |
| 86 | Female | control | 10 | Spacing | Normal | Normal |
| 87 | Female | control | 19 | Crowding | Normal | Normal |
| 88 | Male | control | 28 | Crowding | Normal | Normal |
| 89 | Female | control | 18 | Crowding | Normal | Normal |
| 90 | Male | control | 17 | Crowding | Decreased | Excessive |
| 91 | Female | control | 20 | Crowding | Decreased | Excessive |
| 92 | Female | impacted | 12 | Normal | Normal | Excessive |
| 93 | Male | impacted | 12 | Normal | Increased | Normal |
| 94 | Female | impacted | 12 | Crowding | Increased | Normal |
| 95 | Female | impacted | 19 | Crowding | Increased | Normal |

จุฬาลงกรณ์มหาวิทยาลัย

ประวัติผู้เขียนวิทยานิพนธ์

นาย วุฒิพงษ์ เหล่าอมต เกิดวันที่ 4 ตุลาคม พ.ศ. 2522 ที่จังหวัดกรุงเทพมหานคร สำเร็จการศึกษาทันตแพทยศาสตรบัณฑิต จากคณะทันตแพทยศาสตร์ จุฬาลงกรณ์มหาวิทยาลัย ในปีการศึกษา 2546 จากนั้นรับราชการในสังกัดกระทรวงสาธารณสุข ตำแหน่งหัวหน้าฝ่ายทันตสาธารณสุข ที่โรงพยาบาลปทุมราชวงศา จังหวัดอำนาจเจริญ เป็นเวลา 1 ปี และลาออกเพื่อปฏิบัติงานเป็นทันตแพทย์ทั่วไปในคลินิกเอกชน หลังจากนั้นในปีการศึกษา 2551 ได้เข้าศึกษาต่อในหลักสูตรวิทยาศาสตรมหาบัณฑิต สาขาทันตกรรมจัดฟัน ที่ภาควิชาทันตกรรมจัดฟัน คณะทันตแพทยศาสตร์ จุฬาลงกรณ์มหาวิทยาลัย



ศูนย์วิทยุทรัพยากร
จุฬาลงกรณ์มหาวิทยาลัย